

UNIVERSIDADE ESTADUAL DE CAMPINAS
INSTITUTO DE FÍSICA GLEB WATAGHIN

ESTUDO DAS VARIACÕES SIDERAIS DA RADIAÇÃO CÓSMICA

Edmilson José Tonelli Manganote

Orientador : Prof. Dr. Armando Turtelli Jr.

Tese submetida ao Instituto de Física
Gleb Wataghin como parte dos requisitos
para obtenção do grau de Doutor em
Ciências.

Campinas, Março de 1991

Edmilson Tonelli Manganote

I/UNICAMP/D
M313e



UNIDADE
N.º CHAMADA

IF
T/UNICAMP/D
M3132

V.

TOMBO B. 14468

PROC. 308191

C [] X

PRECO EX-\$ 3.000000

DATA 13-9-91

N.º CPD

m

CM00015732-3

I. FISICA - UNICAMP

n.º classif. _____

n.º estor. _____

ex. _____

05101992 TD1842 ✓

Este exemplar corresponde à redação final da tese : Estudo das Variações Siderais da Radiação Cósmica defendida pelo Sr. Edmilson José Tonelli Manganote em 14 de março de 1991, sendo aprovada com distinção pela comissão examinadora composta pelos seguintes Professores Doutores : Armando Turtelli Jr. (orientador do candidato), do Instituto de Física Gleb Wataghin da Universidade Estadual de Campinas; José Augusto Chinellato, do Instituto de Física Gleb Wataghin da Universidade Estadual de Campinas; José Bellandi Filho, do Instituto de Física Gleb Wataghin da Universidade Estadual de Campinas; Carlos Ourivro Escobar, do Instituto de Física da Universidade de São Paulo; Adriano Natale, do Instituto de Física Teórica da UNESP.

Cidade Universitária Zeferino Vaz
09 de maio de 1991



Prof. Dr. Armando Turtelli Jr.

Agradecimentos

Ao prof. Armando Turtelli Jr. pela orientação e apoio dispensados a mim durante estes anos.

Ao prof. José Augusto Chinellato pelas constantes discussões e pelo inestimável auxílio prestado durante todo este trabalho.

Aos colegas da Colaboração Torino-Chacaltaya-Campinas, em especial aos profs. Gianni Navarra e Piero Vallania que acompanharam e auxiliaram este trabalho desde o seu início.

Novamente ao prof. Piero Vallania, sem o qual a segunda parte deste trabalho não poderia ter sido terminada.

Às autoridades Brasileiras e Bolivianas pelo auxílio dispensado quanto ao recebimento de dados provenientes de Chacaltaya.

Ao CNPq e a FAPESP pela concessão de bolsas durante este trabalho.

Ao membros do Depto. de Raios Cósmicos e Cronologia do Instituto de Física Gleb Wataghin, pelo apoio recebido durante todos estes anos.

Resumo

Os principais objetivos deste trabalho são o estudo das variações siderais da radiação cósmica e a procura de fontes gama de energia acima de 100TeV. A primeira parte foi feita utilizando-se dados coletados pelo detector de Chacaltaya entre agosto de 1982 e julho de 1984 e a segunda parte com dados do mesmo detector entre agosto de 1987 e agosto de 1988. Os resultados obtidos na primeira parte deste trabalho reforçam a existência de uma anisotropia sideral na faixa de energia de 10^{12} a 10^{14} eV. Para a procura de fontes gama, , nenhum sinal estatisticamente significativo foi observado.

Abstract

The major aims of this work are the study of the sidereal variations of cosmic radiation and search for gamma ray sources of ultra high energy in the south hemisphere. The first part was made using data recorded by the Chacaltaya detector between august/1982 and july/1984. The second one used recorded data by the same experiment, but in the period between august/1987 and august/1988. The obtained results on the first part reinforced the existence of a cosmic ray anisotropy in the energy interval of 10^{12} - 10^{14} eV. In the search of , gamma sources no statistically significant signal was found.

Estudo das variações siderais da radiação cósmica

Índice

Capítulo 1 - Anisotropia da radiação cósmica

1.1 Introdução.....	1
1.2 Aspectos astrofísicos	
1.2.1 Origem.....	3
1.2.2 Campos magnéticos.....	4
1.2.3 Vento interestelar.....	5
1.3 Propagação e anisotropias esperadas.....	6
1.4 Aspectos observacionais.....	9
1.5 Situação experimental	
1.5.1 Intervalo de 10^{11} a 10^{12} eV.....	10
1.5.2 Intervalo de 10^{12} a 10^{14} eV.....	10
1.5.3 Acima de 10^{15} eV.....	13
1.6 Influências locais sobre a radiação cósmica.....	14
1.7 Aspectos estatísticos e métodos de análise.....	18
1.8 Referências.....	20

Capítulo 2 - O experimento de Chacaltaya

2.1 Introdução.....	21
2.2 Descrição do detector.....	22
2.3 Medidas das variações rápidas.....	25
2.4 Medidas em tempos longos (de 3 em 3 minutos).....	26
2.5 A segunda fase do experimento (1987-1988).....	28
2.5.1 Reconstrução das direções de chegada....	28
2.5.2 Fluxo observável.....	32
2.6 Referências.....	36

Capítulo 3 - Análise dos dados da primeira fase

3.1 Correção e formatação dos dados.....	37
3.2 Correção pelos parâmetros atmosféricos.....	40
3.3 Análise sideral e discussão dos resultados.....	43
3.4 Comentários.....	45
3.5 Referências.....	48

Capítulo 4 - Astronomia gama de altas energias

4.1 Um breve histórico.....	49
4.2 Astronomia gama acima de 100TeV.....	52
4.3 Algumas fontes de interesse.....	54
4.3.1 A supernova SN1987A.....	54
4.3.2 A rádio-galáxia Centaurus A.....	59
4.3.3 O plano galáctico.....	59
4.3.4 O pulsar de Vela (PSR0833-45).....	60
4.3.5 Binárias de raios-X.....	61
4.4 Comentários.....	63
4.5 Referências.....	65

Capítulo 5 - Métodos de análise em astronomia gama

5.1 Introdução.....	66
5.2 Amostragem aleatória.....	67
5.3 Análise de dados DC (fontes contínuas).....	68
5.3.1 O teste Gini.....	69
5.3.2 O teste de Dowthwaite.....	70
5.4 Procura de fontes pulsadas.....	73
5.5 Referências.....	77

Capítulo 6 - Análise dos dados com direção de chegada

6.1 Introdução.....	78
6.2 Procura de fontes gama no hemisfério Sul.....	79
6.2.1 A supernova SN1987A.....	79
6.2.2 LMC X-4.....	82
6.2.3 Centro Galáctico.....	82
6.2.4 Vela SNR (PSR0833-45).....	84
6.2.5 Centaurus A.....	84
6.2.6 Vela X-1.....	87
6.2.7 Scorpio X-1.....	87
6.2.8 SS433.....	91
6.3 Comentários.....	93

Capítulo 7 - Conclusões..... 95

Apêndice I - Programas de análise utilizados na primeira fase do experimento.....	99
---	----

Apêndice II - Programas de análise utilizados na segunda fase do experimento.....	112
---	-----

Anisotropia da radiação cósmica

1.1 Introdução

A origem da radiação cósmica é uma questão que ainda permanece em aberto. Existem argumentos tanto para uma origem galáctica como extragaláctica. Para energias menores que 10GeV , a deteção de γ 's produzidos por interações de partículas carregadas com o meio interestelar tem sido utilizada para mostrar que existe um gradiente de raios cósmicos na galáxia^[1,2], reforçando a hipótese da origem galáctica. Para energias acima de 10^{12}eV , onde possíveis modulações oriundas de variações no campo magnético da cavidade solar podem ser desprezadas, a procura de um gradiente de radiação é feita através da busca de anisotropias nas direções de chegada. Se a amplitude da anisotropia observada for consistente com um estado de repouso do gás de raios cósmicos dentro da galáxia, então a origem das partículas pode ser considerada extragaláctica. Por outro lado, a presença de uma anisotropia significativa, indicaria uma origem galáctica da maior parte das partículas. De qualquer forma, isto é discutível pois uma direção bem definida para fora da galáxia também poderia indicar uma origem extragaláctica (salvo se houvesse a identificação de uma fonte).

A primeira evidência experimental de existência de uma anisotropia fora da região de influência do sol apareceu nos trabalhos da colaboração Budapeste-Sofia^[3] e do grupo de Nagoya^[4]. Os resultados de ambos estão em boa concordância e são reforçados por testes cuidadosos para eliminar efeitos espúrios. A energia dos chuveiros detectados nestes experimentos está entre 10^{13} e 10^{14}eV , ou seja, num intervalo onde modulações originárias dos campos magnéticos interplanetários podem ser desprezadas. Para energias no intervalo de 10^{14} a 10^{20}eV as principais evidências provém dos grupos de Haverah Park^[5], Akeno^[6], Yakutsk^[7] e

Sidney^[8]. No intervalo entre 10^{13} e 10^{20} eV parecem existir, hoje, evidências em favor da presença de anisotropias na radiação cósmica. Entretanto, sua existência está bem estabelecida apenas no intervalo entre 10^{13} e 10^{14} eV.

1.2 Aspectos Astrofísicos

1.2.1 Origem

A distribuição angular das partículas carregadas da radiação cósmica que chegam à vizinhança do sistema solar depende da distribuição espaço-temporal de suas fontes e da estrutura dos campos magnéticos interestelares. Como esses parâmetros são pouco conhecidos, pouco se pode dizer sobre a anisotropia esperada.

A origem da radiação cósmica é um dos temas centrais da astrofísica dos raios cósmicos. Outras questões também continuam sem solução : *Como os raios cósmicos se propagam desde as suas fontes até a Terra ? Que transformações na sua composição química elementar podem ocorrer durante este caminho ? Qual a importância dos efeitos magnetohidrodinâmicos na propagação ? Quais os processos de aceleração envolvidos ?*

Modelos para uma origem solar da radiação cósmica foram muito discutidos. Tais modelos foram rejeitados nos anos 50 após a obtenção de dados radioastronômicos sobre os raios cósmicos longe da Terra. As partículas podem ser aceleradas na vizinhança do Sol até uma energia máxima de aproximadamente 100GeV, apresentando em geral uma intensidade pequena. Para energias acima de alguns MeV, a radiação de origem solar contribue muito pouco para a intensidade média observada.

Nos modelos metagaláticos, os raios cósmicos observados na Terra seriam produzidos no espaço intergaláctico, passando através de toda a galaxia antes de atingirem o sistema solar. Os raios cósmicos extragaláticos, ou produzidos no espaço intergaláctico, ou mesmo produzidos no supercluster local devem ter as mesmas características dos raios cósmicos dentro da galaxia. Mais especificamente, a densidade de energia deveria ser a mesma, que está em torno de 10^{-12} erg/cm³. Como tal densidade é alta, fica difícil preencher todo o espaço intergaláctico com radiação cósmica para termos tal densidade^[9,10]. No caso da componente eletrônica, devido à existência da radiação de 3K, as perdas por efeito Compton inverso seriam tão grandes, que nem elétrons com

energias de 10^{10} eV produzidos em Centaurus A (a radiogalaxia mais próxima) chegariam à Terra.

Nos modelos galácticos, as fontes de radiação cósmica estão localizadas dentro da galáxia. Explosões de supernovas continuam sendo as grandes candidatas a fontes. Contudo, os mecanismos de aceleração não estão bem definidos, podendo ser um processo explosivo, ou na envoltória, ou por ondas de choque, etc. A região de maior densidade seria próxima ao plano galáctico, em direção às regiões centrais onde a densidade é maior. A idéia de halo vem do fato de que os raios cósmicos poderiam deixar esta trapping region, criando uma espécie de envoltória, cuja extensão seria determinada pelos campos magnéticos galácticos^[11]. Os modelos galácticos podem explicar a origem dos raios cósmicos até energias da ordem de 10^{17} eV. Para energias acima de 10^{18} eV uma origem extragalática tem sido sugerida . Observações de anisotropia, para esta faixa de energia, sugerem excessos vindos do supercluster local. Não há, contudo, um consenso sobre as possíveis fontes^[12].

1.2.2 Campos magnéticos

A existência de campos magnéticos na nossa galáxia já está estabelecida, embora ainda existam muitas incertezas quanto à sua descrição em detalhe. A existência de campos na galáxia é indicada basicamente por três tipos de medidas : i) polarização da luz estelar, ii) rotação de Faraday das ondas de rádio que chegam de pulsares e de fontes de rádio extragalácticas e iii) medidas de radiação sincrotron (emissão de rádio contínua). Os primeiros dois métodos fornecem informações sobre as componentes dos campos até umas poucas centenas de pc, principalmente nas vizinhanças do plano galáctico. A principal conclusão é a existência de campos regulares de 2 a 3 μ G junto a campos irregulares de magnitude similar.

Já os dados de radiação de sincrotron podem ser usados para se obter uma visão mais global da variação espacial da densidade de energia dos campos magnéticos no disco galáctico. A emissão

sinocotron depende tanto dos campos magnéticos quanto das densidades de elétrons relativísticos envolvidas. Bons resultados acerca das observações de radiação sinocotron tem sido obtidos levando-se em conta a posição do sistema solar na galáxia e que os campos magnéticos nos braços da espiral galáctica são um pouco mais fortes ($10\mu G$) do que os observados localmente.

1.2.3 Vento interestelar

O movimento do meio interestelar local é importante para estudos de anisotropia da radiação cósmica por três razões principais :

i) O campo magnético interestelar está, provavelmente, congelado dentro deste gás de radiação cósmica, parcialmente ionizado. Desta forma, uma distribuição axialmente simétrica dos raios cósmicos é a mais provável no sistema que se move com o gás. Quando transladada para o sistema solar, a primeira harmônica muda enquanto as harmônicas de ordem superior permanecem inalteradas.

ii) Indicações da constância da velocidade do vento interestelar dentro de uma região de até uns poucos pc reforçam a hipótese de que o campo magnético poderia ser mais ou menos constante na mesma região^[14].

iii) A cavidade solar, que pode introduzir modulações na radiação cósmica, pode ser deformada pelo vento, consequentemente, essas modulações poderiam depender da direção do vento interestelar^[15].

Há indicações de a velocidade do vento interestelar é constante localmente. Isso, entretanto, não significa que o comportamento em outras regiões da galáxia seja semelhante.

1.3 Propagação e anisotropias esperadas

Os raios cósmicos chegam até nós depois de atravessarem os campos magnéticos interestelares. Os efeitos de propagação são, portanto, de grande importância na maior parte das energias consideradas, juntamente com as características da distribuição de fontes.

A propagação está fundamentalmente relacionada com a estrutura dos campos magnéticos galácticos. Esses campos tem magnitudes da ordem de $3\mu G$. O raio de Larmor de um próton em campos de tais magnitudes é dado por

$$r_l(\text{pc}) \approx E/3 \times 10^5 \text{ eV}$$

assim, para energias no intervalo de 10^{11} a 10^{20} eV , r_l variará de $3 \times 10^{-5} \text{ pc}$ até 30 kpc .

Para um observador em movimento, a anisotropia é influenciada pelo vetor de Compton-Getting^[16],

$$n_{co} = (\gamma + 2)(v/c)$$

cuja direção coincide com a da velocidade do observador; aqui $\gamma \approx 2.6$ é o expoente do espectro energético diferencial da radiação cósmica. Como $n = n_{REP} + n_{co}$, ele pode ser corrigido se conhecermos o movimento em relação ao gás interestelar. A dependência da propagação com a energia para energias abaixo de 10^{14} eV depende, de maneira crítica, das flutuações em pequena escala do campo magnético galáctico^[17].

No caso de uma origem galáctica, o módulo típico do vetor anisotropia pode ser estimada através do tempo de escape direto T_{ED} , que é o tempo necessário para uma partícula neutra escapar da região de confinamento, e o tempo de confinamento T_{CON} , definido como o tempo necessário para que uma partícula carregada escape da região de confinamento.

$$n \approx T_{ED} / T_{CON}$$

A anisotropia variará para diferentes localizações na galáxia, dependendo da distribuição de fontes e dos campos magnéticos intergalácticos. Para o intervalo de energia de 10^{11} a 10^{14} eV as anisotropias esperadas estão na faixa de 10^{-4} a 10^{-3} (10^{-2} a 10^{-1} %)^[18]. Para uma origem extragaláctica são esperados valores menores ainda; para o mesmo intervalo teríamos uma redução de um fator 10. O principal fator responsável por esta diminuição seria o espalhamento devido aos campos magnéticos intergalácticos. As direções mais esperadas para a anisotropia, de origem galáctica ou extragaláctica, são mostradas na figura 1.1 .

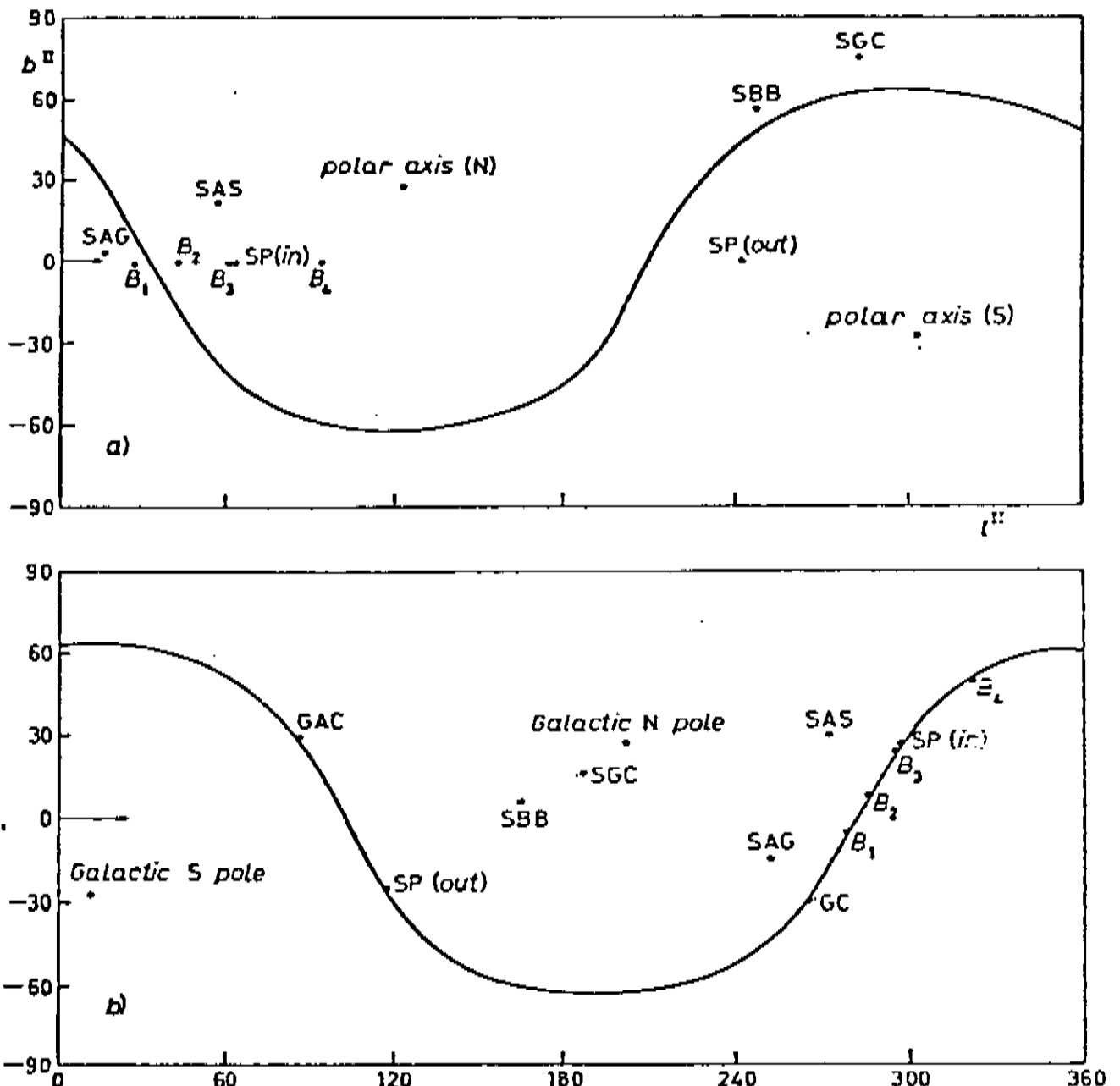


Figura 1.1 : Direções importantes na Galáxia

a) Coordenadas galácticas

b) Coordenadas equatoriais

SP(out) : Braço espiral para fora

SP(in) : Braço espiral para dentro

GC : Centro galáctico

GAC : Anticentro galáctico

SGC : Super centro galáctico

1.4 Aspectos observacionais

O estudo das direções de chegada da radiação cósmica deveria ser feito, idealmente falando, fora da região de influência da Terra e preferencialmente do Sol. Infelizmente, os detetores instalados em satélites possuem dimensões muito reduzidas para que medidas na faixa de energia acima de 10^{11} eV, onde o fluxo é muito pequeno, possam ser significativas. O fundo devido às partículas de energias mais baixas é praticamente impossível de ser retirado.

Assim, experimentos baseados na Terra fornecem informações muito mais interessantes. Na região ao redor de 10^{12} eV são utilizados detetores subterrâneos de muons. Na faixa entre 10^{12} e 10^{14} eV detetores colocados em montanhas, altitudes superiores a 2500m, são os mais indicados; na faixa acima de 10^{14} eV estão os grandes aparelhos para deteção de chuveiros atmosféricos extensos. Como os desvios da isotropia são muito pequenos é necessário que o desempenho e a estabilidade destes experimentos sejam muito altos.

1.5 Situação experimental

1.5.1 Intervalo de 10^{11} a 10^{12} eV

Este intervalo é o que desperta maior controvérsia. Os telescópios subterrâneos de muons são suficientes para a deteção de variações da ordem de 0.01%. A influência porém dos campos magnéticos interplanetários é muito forte, o que ocasiona dificuldades na interpretação dos resultados. A influência solar pode ser importante sob dois aspectos : a) os campos interplanetários podem mudar a direção e reduzir a amplitude da anisotropia com relação àquela no espaço interestelar. As direções assintóticas fora da cavidade solar só poderiam ser determinadas com certeza se o campo magnético interplanetário fosse conhecido; b) partículas de origem galáctica poderiam ganhar ou perder energia no campo elétrico associado ao vento solar em expansão, o que poderia ocasionar variações na intensidade observada.

Para este intervalo, as medidas realizadas pelo grupo de Hobart (Tasmania)^[19] ao longo de 20 anos apresentam uma variação sideral em primeira harmônica da ordem de 0.02% com fase em torno de 5 horas. As medidas realizadas por grupos no hemisfério norte divergem tanto em amplitude como em fase, o que coloca dúvidas quanto aos resultados do hemisfério sul. A hipótese mais provável é que esta região esteja sujeita a fortes modulações produzidas pela cavidade solar.

1.5.2 Intervalo de 10^{12} a 10^{14} eV

Tendo em vista o consenso existente entre os resultados obtidos por vários grupos^[19-22], pode-se dizer que é nesse intervalo de energia que está melhor estabelecida a existência de uma anisotropia galáctica. Um sumário destes resultados pode ser visto na tabela 1.

A explicação mais plausível é que esta anisotropia seja causada pelo campo magnético local e por um efeito tipo Compton-Getting^[20] devido ao movimento do sistema solar em

Análise Harmônica	Poatina 42° S	Norikura 36° N	Musala 42° N	Baksan 43° N
En. média	10^{12} eV	2.10^{13} eV	6.10^{13} eV	10^{13} eV
Primeira Harmônica	$(0.05 \pm 0.02)\%$ (1.3 ± 1.9) h	$(0.051 \pm 0.004)\%$ (1.0 ± 0.3) h	$(0.07 \pm 0.02)\%$ (1.7 ± 1.1) h	$(0.057 \pm 0.004)\%$ (1.4 ± 0.3) h
Segunda Harmônica	----	$(0.026 \pm 0.004)\%$ (5.5 ± 0.3) h	$(0.06 \pm 0.02)\%$ (5.0 ± 0.7) h	$(0.019 \pm 0.004)\%$ (6.2 ± 0.4) h

Tabela 1.1 : Comparação dos resultados obtidos por vários grupos para o intervalo de 10^{12} a 10^{14} eV

relação à matéria interestelar local. Note-se, contudo, que não se consegue uma concordância de fase entre a primeira e a segunda harmônica através de uma correção que leve em conta a direção do vento interestelar ($\delta=49^\circ$, $\alpha=68^\circ$, $v=25\text{km s}^{-1}$)^[17], sugerindo que outros fatores, podem não estar sendo considerados.

A aparente constância, tanto em amplitude como em fase, da primeira harmônica indica que os mecanismos de produção, aceleração e propagação devem ser os mesmos por todo o intervalo de 10^{11} a 10^{14}eV . O que, tendo em vista a influência esperada do campo magnético galáctico, reforça hipótese de origem galáctica neste intervalo de energias.

1.5.3 Acima de 10^{15}eV

Na figura 1.2 pode se ver a correlação entre os valores da 1a. harmônica (fase e amplitude) e a energia primária. Há uma aparente constância da 1a. harmônica no intervalo de energia abaixo de 10^{14}eV . Acima de 10^{15}eV a amplitude cresce com a energia, aproximadamente como $E^{0.5}$.

Para o intervalo de 10^{15} a 10^{16}eV , Linsley e Watson^[24] mostraram, utilizando dados coletados ao longo de 20 anos pelos experimentos de Volcano Ranch e Haverah Park, que existe um rápido aumento da amplitude da 1a. harmônica com a energia e uma marcante mudança de fase. Resultados mais recentes do grupo de Haverah Park mostraram uma amplitude de 0.55% para chuveiros com energia média de $3 \times 10^{15}\text{eV}$ e 1.2% para os com energia média de $2 \times 10^{16}\text{eV}$. Resultados interessantes também são fornecidos pelo grupo de Adelaide (Buckland Park)^[25], que obteve uma amplitude da 1a. harmônica de $0.84 \pm 0.39\%$ com fase próxima de 8 horas. O grupo de Akeno^[6], analisando cerca de 30000 chuveiros, identificou uma anisotropia relacionada com a razão N_μ/N_e (muons/elétrons) dos chuveiros, que está diretamente ligada com a composição primária.

Consideremos, agora, o intervalo de 5×10^{16} a $5 \times 10^{17}\text{eV}$. O grupo de Haverah Park, analisando eventos com energia perto de 10^{17}eV concluiu que existe um sinal genuíno entre 0.63 e $1.25 \times$

10^{17} eV. Outro sinal com mesma fase e amplitude foi observado no intervalo entre $1.25 \times 2.5 \times 10^{17}$ eV.

Para energias acima de 10^{18} eV, foram detectados menos de uma centena de eventos, sendo sua maioria proveniente de experimentos localizados no hemisfério norte (Volcano Ranch, Haverah Park e Yakutsk). Uma pequena quantidade de eventos com energia superior a 10^{19} eV também foi observada nos experimentos de Chacaltaya e do grupo de Sidney. A análise desses eventos indica a existência de excessos na direção do pólo sul galáctico, direção que coincide com o supercluster local (Virgem) o que pode indicar uma origem extragalática da radiação cósmica nessa região de energia^[27].

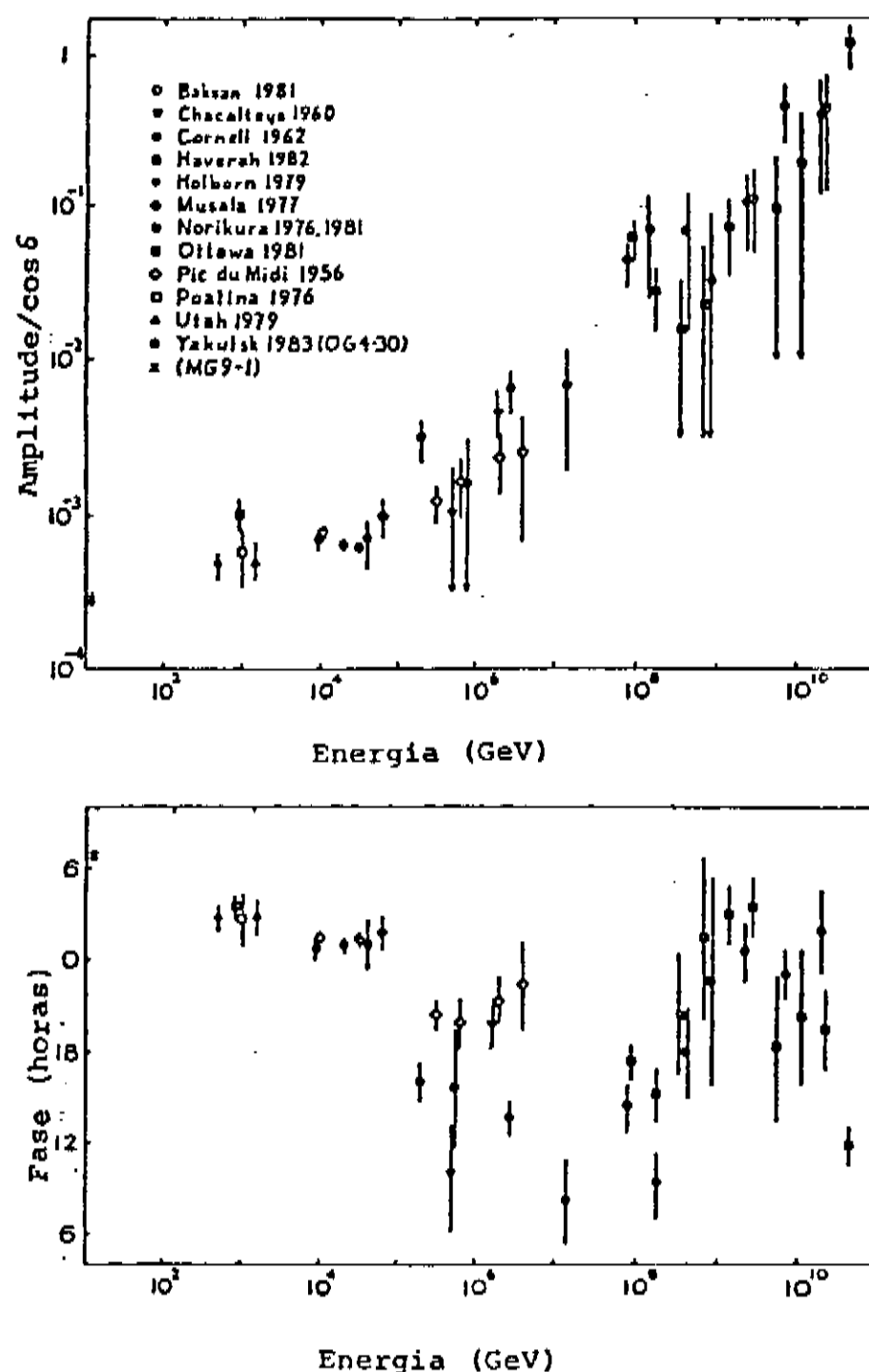


Figura 1.2 : Amplitudes e fases obtidas em 1a. Harmônica por vários grupos no intervalo de 10^{12} a 10^{20} eV

1.6 Influências locais sobre a intensidade da radiação cósmica

Vários efeitos podem simular o aparecimento de harmônicas, mesmo quando da análise em tempo sideral. A variação diária da pressão atmosférica e da temperatura do ar afetam as contagens podendo, posteriormente, introduzir harmônicas siderais não genuinas. A figura 1.3 mostra o comportamento diário, da pressão e da temperatura, em Chacaltaya (5220m). Esses são os chamados efeitos de 1a. ordem; mas, ao comportamento visto na figura 1.3 adiciona-se uma modulação anual^[28]. Esta também pode causar efeitos espúrios na análise harmônica (efeitos de 2a. ordem). A influência desse último efeito na análise dos dados é ainda pouco discutida.

O efeito Compton-Getting^[16] pode introduzir uma anisotropia sideral devida a : i) o movimento orbital da Terra ao redor do Sol e ii) o movimento do sistema solar dentro da Galáxia. A amplitude prevista do vetor de Compton-Getting é :

$$[n_{ca}] = (\gamma + 2) [v/c]$$

onde v é a velocidade do observador e $\gamma = 2.6$ é o expoente do espectro diferencial de energia. O efeito devido ao movimento da Terra em torno do Sol foi medido em Norikura e Baksan, apresentando boa concordância com a previsão teórica de 0.046% e máximo em 6h solares, para aquela latitude. Para o movimento do sistema solar tem-se um efeito da ordem de 0.03% na direção de $\alpha = 18h$ e $\delta = 30^\circ$.

A pressão atmosférica apresenta um período de 12 horas com o máximo principal em torno de 10 horas e o secundário em 22 horas, os mínimos ocorrem em 4 e 16 horas. Essas ondas de pressão estão relacionadas com as marés lunares e com a diferença de radiação térmica recebida do Sol entre dia e noite. A pressão e a temperatura não são independentes, a posição dos máximos, bem como a diferença nos períodos, é explicada quando juntamos os dois efeitos citados acima.

A variação da pressão atmosférica com a altura aparece na

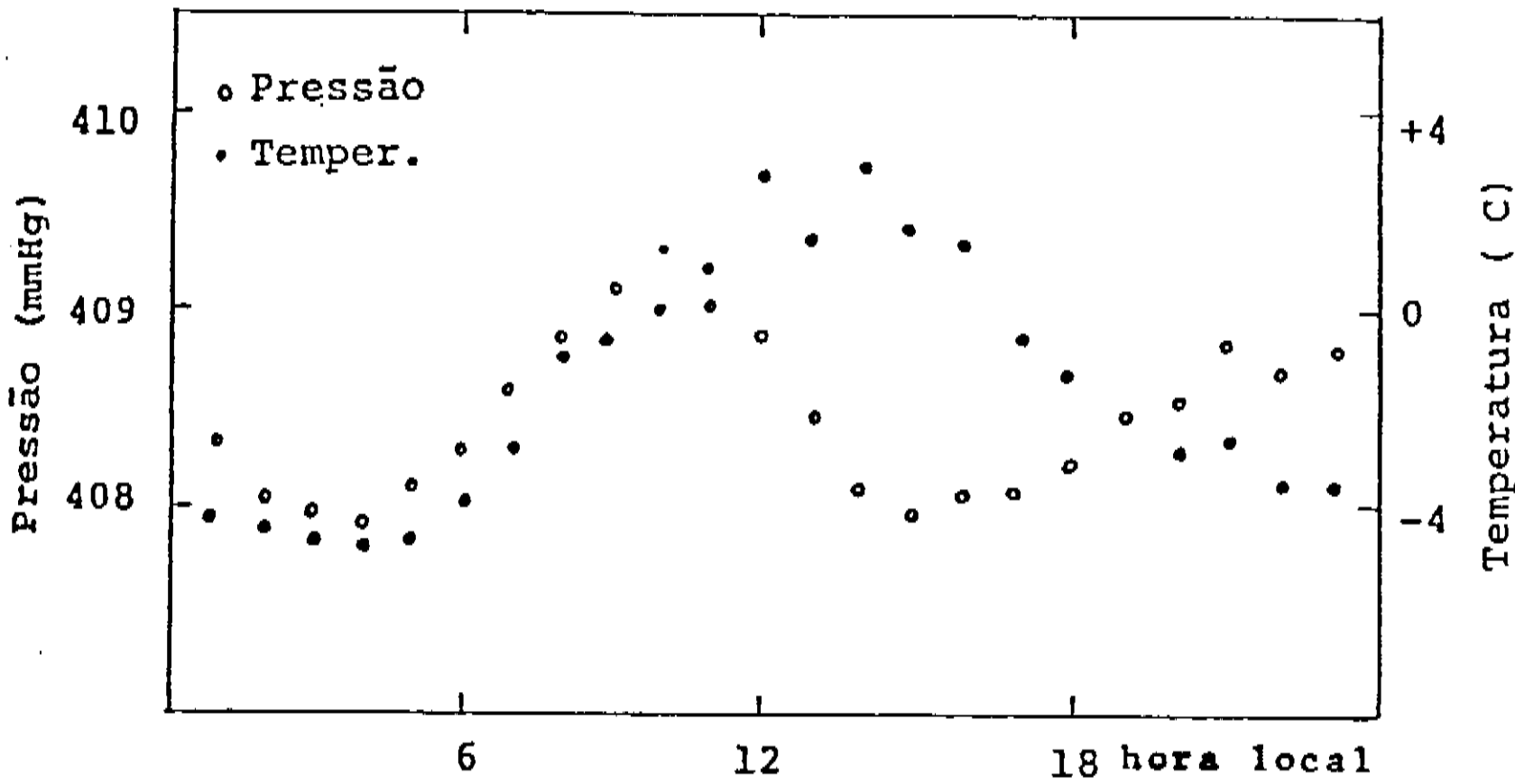


Figura 1.3 : Comportamento diário da pressão atmosférica e da temperatura do ar em Chacaltaya

forma :

$$P = P_0 \exp [-Mgh/RT]$$

onde M é a massa de 1 mol de ar e T a temperatura a uma altura h . É bem estabelecida a presença de uma variação na amplitude e na fase com a latitude. Isto também se deve a efeitos gravitacionais e à diferença de quantidade de radiação térmica recebida do Sol agora em relação à latitude (figura 1.4). A quantidade de matéria na atmosfera cai exponencialmente com a altura (figura 1.5); ou seja, processos de transmissão e convecção válidos na baixa atmosfera (até 3.5 Km) podem ter sua importância alterada nas camadas mais altas . É difícil estabelecer de forma muito precisa o comportamento esperado das ondas de pressão e temperatura quando variamos a altura.

O desenvolvimento do chuveiro até sua deteção depende da quantidade de matéria que ele atravessa. As variações na pressão atmosférica nos dão uma medida das variações na camada de ar acima do detector. Por outro lado, pressão e temperatura não são parâmetros independentes, dificultando a correção dos dados em relação a esses dois parâmetros. Optamos, como será melhor descrito posteriormente, por trata-los independentemente (regressão linear simples) que é o tratamento utilizado normalmente por outros grupos , apesar de ser apenas uma aproximação de 1a. ordem.

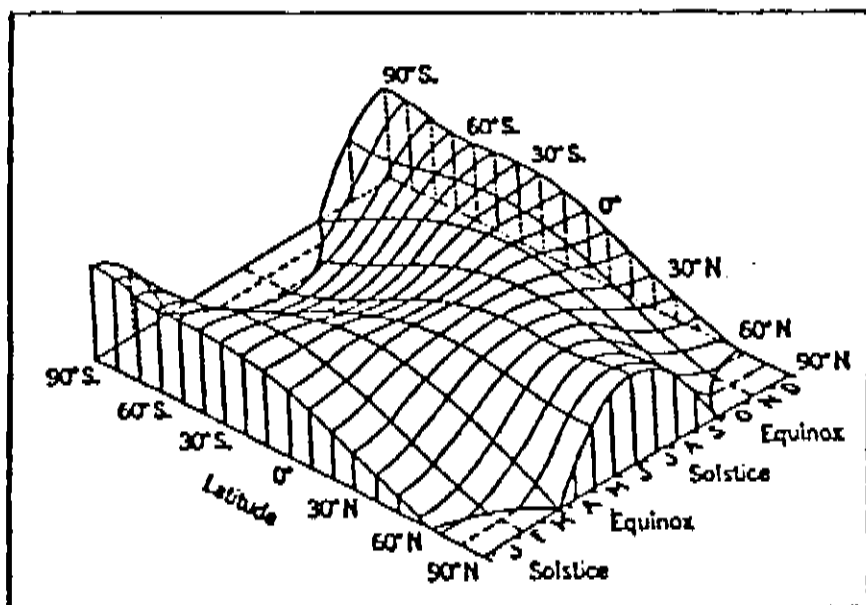


Figura 1.4 : Variação da radiação térmica recebida em função da latitude

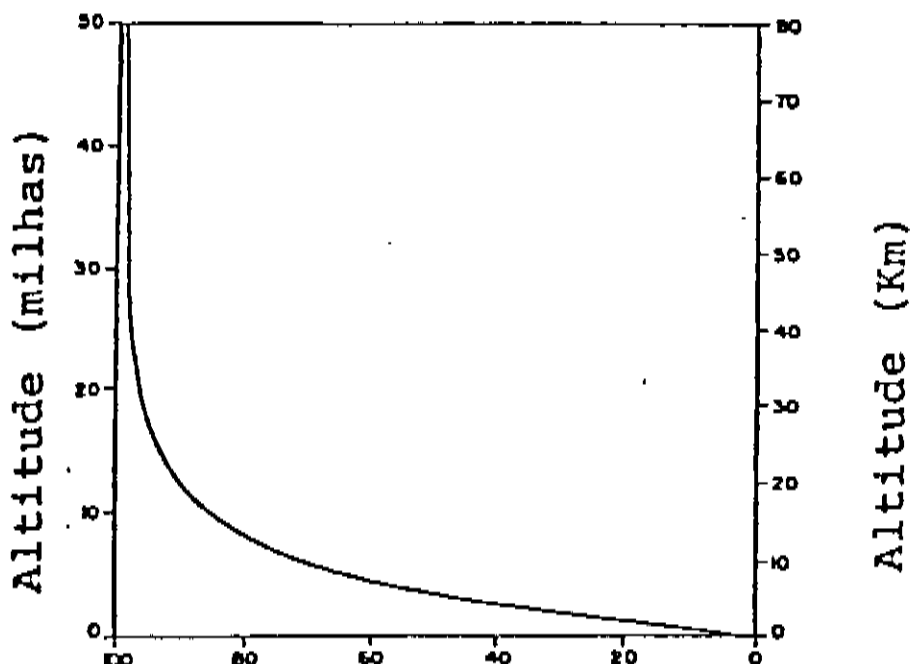


Figura 1.5 : Percentagem da massa total da atmosfera abaixo de uma dada altitude

1.7 Aspectos estatísticos e métodos de análise

A anisotropia que se quer medir é muito pequena, exigindo detectores de grande estabilidade. Detectores estacionários em relação a Terra podem cumprir tal requisito. Suas direções de visão mudam com o movimento da Terra, varrendo um cone de declinação constante. É difícil intercalibrar detectores com precisão suficiente para que intensidades absolutas em diferentes declinações possam ser comparadas. Desta forma, somente as componentes equatoriais da anisotropia podem ser estabelecidas a partir da variação sideral da intensidade.

O método de análise que continua sendo mais utilizado é o da análise harmônica. Este tipo de análise possui certas limitações^[27] além de não ser uma técnica apropriada para a procura de fontes pontuais, cuja abertura angular seja da ordem do erro experimental. Seu manuseio do ponto de vista estatístico é simples e fornece informações suficientes para o atual estágio das pesquisas nessa área. A distribuição de radiação é expressa em termos de uma função $f(\alpha)$:

$$f(\alpha) = A_0 + \sum_{n=1}^{\infty} [a_n \cos(n\alpha) + b_n \sin(n\alpha)]$$

sendo os coeficientes a_n e b_n dados por

$$a_n = (2/n) \sum_{i=1}^N y_i \cos(n\alpha_i)$$

$$b_n = (2/n) \sum_{i=1}^N y_i \sin(n\alpha_i)$$

onde y_i e α_i são, respectivamente, a contagem e a ascensão reta do i -ésimo dado. A fase da n -ésima harmônica é dada por

$$\phi_n = \arctg(b_n/a_n)$$

Como a aceitação angular dos detectores atualmente em

funcionamento é razoavelmente grande, há uma redução considerável das amplitudes medidas. Isso faz com que harmônicas de ordem superior à primeira sejam, praticamente, imperceptíveis. Pois a baixa resolução angular juntamente com os efeitos produzidos pela atmosfera impedem que o comportamento espacial da anisotropia possa ser observado.

1.8 Referencias

- [1] D. Doops et al., Mont. Not. Roy. Astr. Soc., 171, 569 (1975)
- [2] A. W. Strong et al., Mont. Not. Roy. Astr. Soc., 182, 751 (1976)
- [3] T. Gombosi et al., Nature, 255, 687 (1975)
- [4] K. Nagashima et al., Proc. XV ICRC, 2, 154, Plovdiv (1977)
- [5] D. M. Edge et al., J. Phys. G, 4, 113 (1978)
- [6] T. Hara et al., Proc. XVII ICRC, 9, 179, Paris (1981)
- [7] D. D. Krasilnikov, Proc VII Eur. Cosm. Ray Simp., 374 (1980)
- [8] A. D. Bray et al., Proc. XVII ICRC, 2, 168, Paris (1981)
- [9] V. L. Ginzburg e S. I. Syrovatskii, *The Origin of Cosmic Rays*, New York : McMillan, 246 (1964)
- [10] V. L. Ginzburg, Phil. Trans. Roy. Soc., A277, 463 (1975)
- [11] S. B. Pikel'ner, Sov. Phys. Doklady, 88, 229 (1953)
- [12] P. Kiraly et al., Rev. Nuov. Cim., 1, 1 (1979)
- [13] R. S. Ellis e D. J. Axon, Astrop. Spac. Sci., 54, 425 (1978)
- [14] T. F. Adams e P. C. Frisch, Astrophys. J., 121, 300 (1978)
- [15] W. McClintock et al., Astrophys. J., 225, 465 (1978)
- [16] A. H. Compton e I. A. Getting, Phys. Rev., 47, 817 (1935)
- [17] K. Nagashima et al., Proc. XV ICRC, 2, 154, Plovdiv (1977)
- [18] V. L. Ginzburg e V. S. Ptuskin, Sov. Sci. Rev. ASt. Spac. Phys., 4, 161 (1985)
- [19] A. G. Fenton et al., Proc. XV ICRC, Late Papers, Plovdiv (1977)
- [20] K. Nagashima e S. Mori, Proc. Int. Cosm. Ray Simp., 326 (1976)
- [21] T. Gombosi et al., Proc. XIV ICRC, 2, 586, Munique (1975)
- [22] V. V. Alexeenko et al., Proc. XVII ICRC, 2, 146, Paris (1981)
- [23] J. Linsley e A. A. Watson, Proc. XV ICRC, 12, 203, Plovdiv (1977)
- [24] A. D. Bray et al., Proc. XVII ICRC, 2, 168, Paris (1981)
- [25] J. Lloyd-Evans e A. A. Watson, VIII Europ. Cosm. Ray Simp. (1985)
- [26] J. T. Houghton, *The Physics of Atmospheres*, Cambridge University Press (1986)
- [27] J. Linsley, Proc. XIV ICRC, 592, Munique (1975)

O experimento de Chacaltaya

2.1 Introdução

Chuveiros atmosféricos iniciados por partículas com energias inferiores a 10^{11} eV são completamente absorvidos na parte superior da atmosfera. Ao nível do mar, detetam-se apenas chuveiros iniciados por partículas com energias acima de 10^{15} eV, com um considerável aumento do erro estatístico devido à diminuição do fluxo primário.

Os experimentos que trabalham na faixa de energia de 10^{12} a 10^{14} eV estão a altitudes de no máximo 3000 m.a.n.m., como é o caso de Musala^[1] e Plateau Rosà^[2]. Quando passamos para a altitude de Chacaltaya temos um aumento da ordem de 3 vezes nas taxas de contagem^[3], o que significa uma melhora sensível na estatística.

A escolha de Chacaltaya para instalação do experimento se deve a 3 pontos básicos :

i) Posição Geográfica - 18S - o que possibilita a observação do Centro Galáctico.

ii) Altitude - o que possibilita um aumento sensível na estatística de chuveiros com energias $\geq 10^{13}$ eV e

iii) O fácil acesso ao laboratório.

Este detector faz parte da colaboração entre o Instituto de Investigaciones Físicas (La Paz, Bolívia), o Istituto di Cosmogeofisica di Torino (Torino, Itália) e o Instituto de Física Gleb Wataghin (Campinas, Brasil). Tendo sido projetado e construído por C. Morello, G. Navarra e A. Turtelli Jr. no Istituto di Cosmogeofisica em 1980/1981. O experimento iniciou seu funcionamento em agosto de 1982.

2.2 Descrição do detector

O detector é constituído por 4 grupos de 3 cintiladores (cada cintilador com $1m^2$ de área), sendo cada grupo colocado num dos vértices de um retângulo, cobrindo uma área de aproximadamente $60m^2$, como podemos ver na figura 2.1. O cálculo da energia dos primários observados foi feito utilizando-se o formalismo de Greisen para o desenvolvimento de cascatas eletromagnéticas na atmosfera.

O diagrama de blocos da eletrônica utilizada pode ser visto na figura 2.2. Pode-se ver que no multiplexador de controle entram informações referentes às contagens de cada uma das 12 fotomultiplicadoras, com dois limiares de discriminação diferentes e as informações provenientes de 7 sondas que monitoram as temperaturas em cada grupo de cintiladores, a temperatura do ar, a temperatura da sala de eletrônica e a pressão atmosférica. Os dados coletados na primeira fase da experiência eram perfurados em fitas de papel. O sistema é controlado por um microprocessador INTEL 8086 (System Design Kit).

O detector foi projetado para coletar dois tipos de dados : variações rápidas (1, 10 e 100ms) e variações siderais da radiação cósmica.

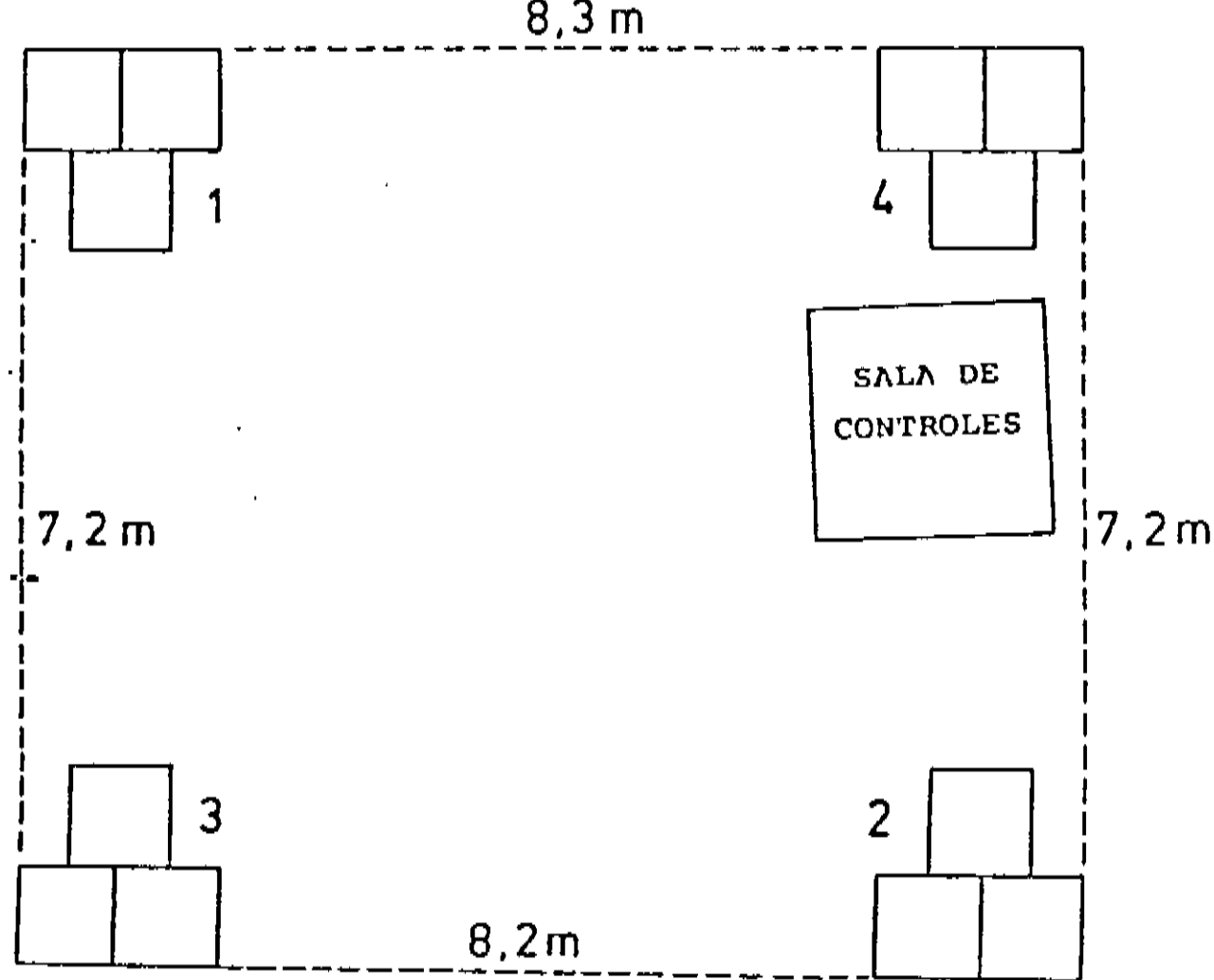


Figura 2.1 : O experimento de Chacaltaya, disposição dos cintiladores

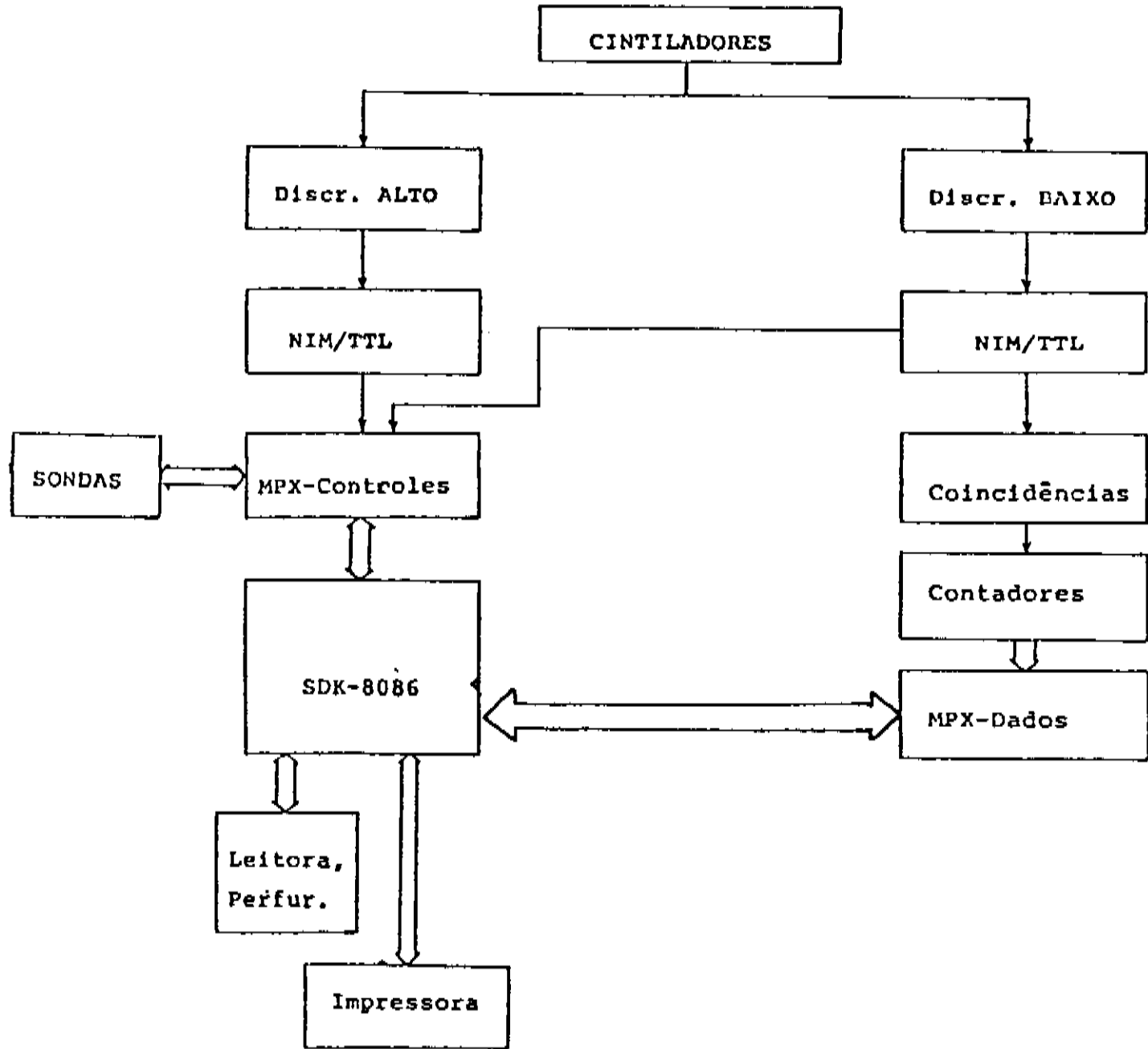


Figura 2.2 : Diagrama de blocos da eletrônica

2.3 Variações rápidas

Estas medidas têm como objetivo identificar uma possível componente de alta energia dos chamados *bursts- γ* ^[6], que são transientes breves e intensos de raios gama que chegam à Terra de maneira imprevisível. Até o momento esses transientes foram observados por satélites a energias variando de MeV até uns poucos GeV. Desta forma, é interessante um estudo da possível existência destes *bursts* a energias mais altas.

2.4 Variações siderais

Os dados que utilizaremos para o nosso trabalho de análise são coletados, impressos e perfurados, a cada 3 minutos. Cada linha de "tempo longo" contém os seguintes dados :

- i) **DADO A** : dados de coincidências quadruplas; ou seja, coincidência dos 4 grupos, com pelo menos um registro em cada grupo de 3 cintiladores.
- ii) **DADO B** : dados de coincidências triplas. Temos pelo menos um sinal em cada grupo de 3 cintiladores, em 3 grupos.
- iii) **DADO C** : dados de coincidências duplas, no mínimo um sinal em cada grupo de 3, em 2 grupos.
- iv) **DADO D** : dados das contagens individuais de cada fotomultiplicadora, em limiar alto e baixo.
- v) **DADO E** : dados relativos aos controles ambientais.

A figura 2.3 apresenta o formato de uma arquivo típico, com a identificação de cada parâmetro ambiental registrado.

O primeiro tempo longo (TL) de um arquivo não registra nada, sendo esse primeiro intervalo de 3 minutos usado para a sincronização das sondas de controle dos parâmetros ambientais e também das contagens. A partir daí, são registrados os parâmetros ambientais e as contagens das fotomultiplicadoras individuais, em limiares alto e baixo, começando pelo limiar alto da fotomultiplicadora 1, seguindo para o limiar baixo da mesma e assim por diante.

Os arquivos utilizados estão em fitas de papel. Estas eram lidas, transferindo-se os arquivos para fita magnética. As leitoras e perfuradoras que utilizam sistema de agulhas podem, devido a problemas mecânicos, originar dados incorretos. Estes problemas eram detetados e corrigidos antes de os dados sofrerem qualquer análise; para tanto foi desenvolvido um software de correção, o qual já foi detalhado em outro trabalho^[4].

	→ Data e horario do inicio das medidas
	→ Nº da fita
0305831436 068 3	→ Intervalo entre cada TL
TL0001 00000000000000000000000000000000	----→ Não registra
TL0002 04F5000E5203789Λ00401E01C3	----→ Pressão
TCA 0006003300190011000E000C0001006C000C000C000D000C0007	
TCB 00060033001E00670069005D006000EC00550054006500670062	
TCA 0008002E00F6000Λ000D0008000B0020000B00080009000E0011	
TL0003 072600120D024071004336229F	----→ Temp. grupo 1
TL0004 052D000E6802Cal90040880282	----→ Temp. grupo 2
TL0005 0507000E2901C74100406C0271	----→ Temp. grupo 3
TL0006 04E0000E8600000C00410D02AC	----→ Tensão-referencia
TL0007 0550000ECC0000000040F60212	----→ Temp. do ar
TL0008 050E000E93034BΛΛ00412692FA	----→ Temp. do lab.
TL0009 0560000EΛ502389E004168026F	----→ Reinicia a sequência
TL000A	

Figura 2.3 : Formato de um arquivo típico da primeira fase. O primeiro TL nunca registra nada. Estão indicados os controles ambientais a que cada dado se refere. Note-se um erro típico, o aparecimento de uma linha em branco (TL000A). TCA, TCB e TCC se referem a dados de "tempo curto", não utilizados neste trabalho. Todos os valores estão em hexadecimal.

Com o advento da supernova SN1987A, o experimento de Chacaltaya foi modificado de forma a poder registrar as direções de chegada dos eventos individuais. O diagrama de blocos da eletrônica é mostrado na figura 2.4. A principal informação registrada é o atraso medido entre as diagonais. O formato de um arquivo típico pode ser visto na figura 2.5. O item seguinte descreve como é feita a reconstrução da direção de chegada a partir dos atrasos medidos nas diagonais.

2.5.1 Reconstrução das direções de chegada

Dos atrasos medidos ao longo das duas diagonais podemos obter os ângulos θ e ϕ , que determinam as direções de chegada dos chuveiros.

Consideremos, primeiramente, a situação em que temos um chuveiro horizontal ($\theta = 90^\circ$) e a direção Norte-Sul coincidindo com a diagonal 2-3 (segundo o esquema mostrado na figura 2.6). Seja, então, A_1 o ângulo azimutal medido segundo este esquema, s_{14} e s_{32} as distâncias que a frente do chuveiro percorre no intervalo de tempo entre os disparos do primeiro cintilador e do segundo, ao longo das duas diagonais. Assim,

$$s_{14} = D \cos(90^\circ + A_1) = -D \sin(A_1)$$

$$s_{32} = D \cos(-A_1) = D \cos(A_1)$$

Considerando c , velocidade da luz, como a velocidade de propagação, obtém-se

$$R_1 = -(D \sin(A_1))/c$$

$$R_2 = (D \cos(A_1))/c$$

Para uma direção Z qualquer, as distâncias sobre o plano

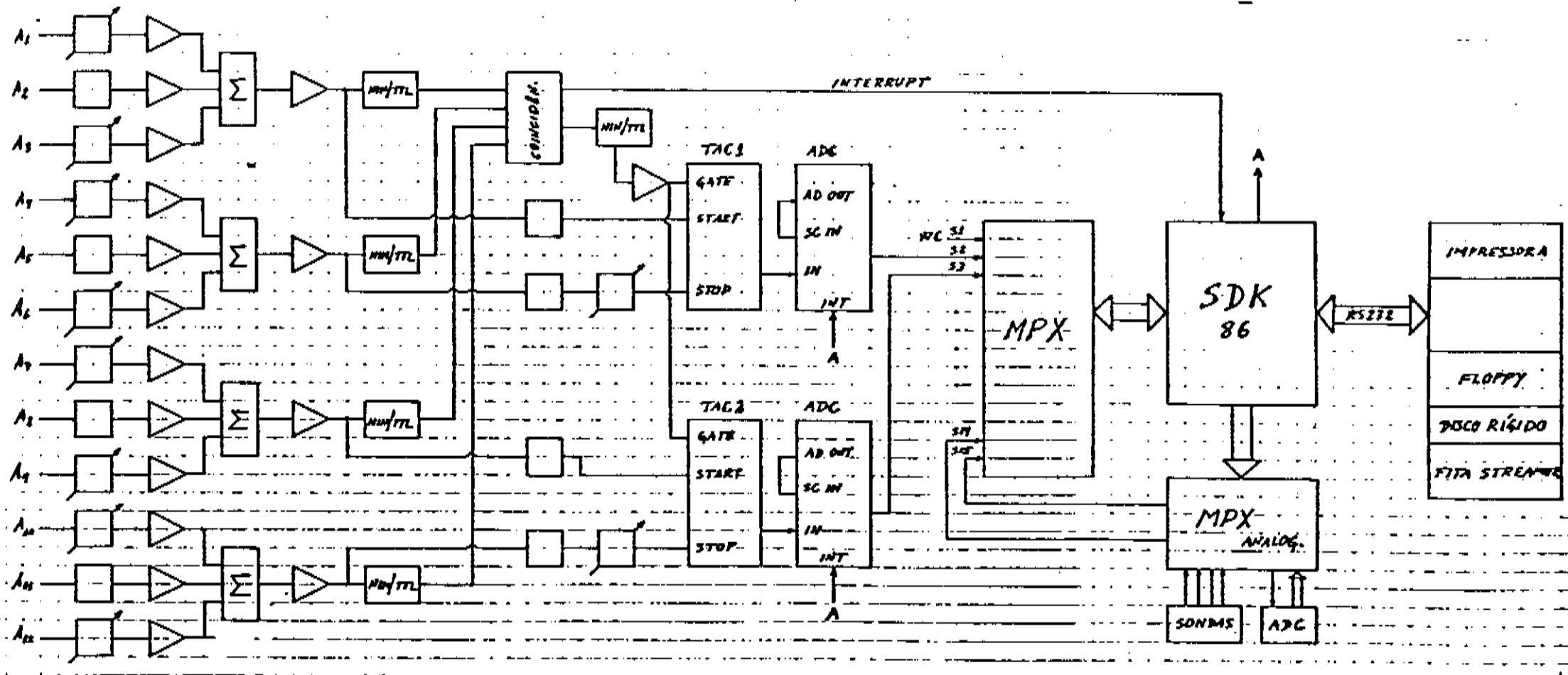


Figura 2.4 : Diagrama de blocos da eletrônica utilizada na segunda fase

Figura 2.5 : Formato de um arquivo da segunda fase do experimento

55 - Separa dois conjuntos de dados

T_1 , T_2 e T_3 - Horário de ocorrência do evento (HH:MM:SS)

R_1 e R_2 - Atrasos nas diagonais

Valores em hexadecimal

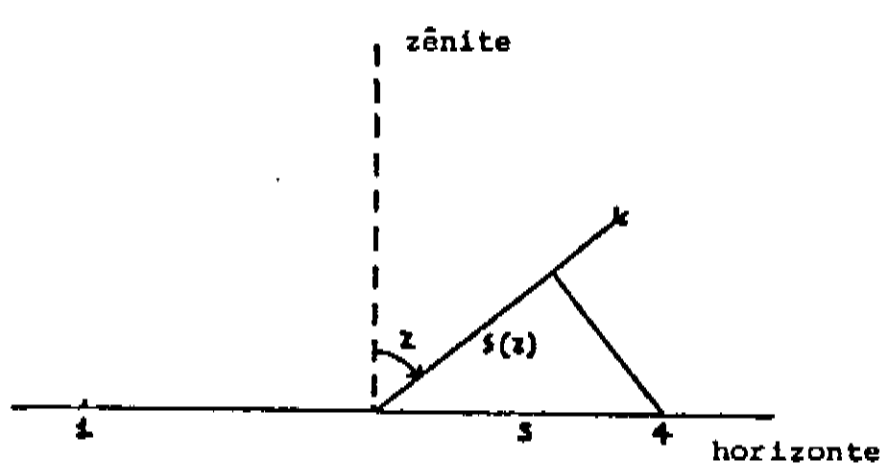
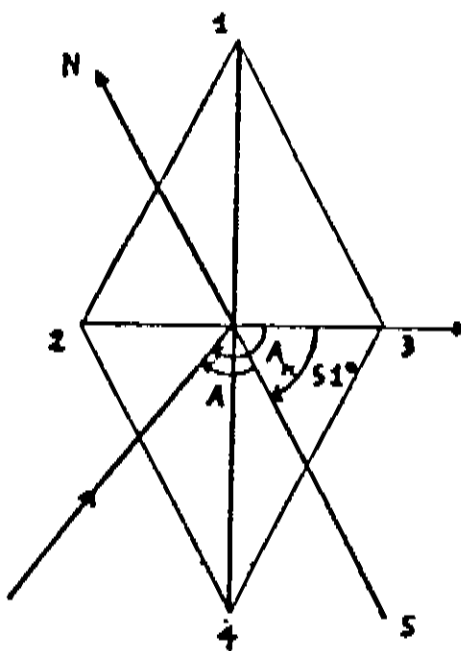
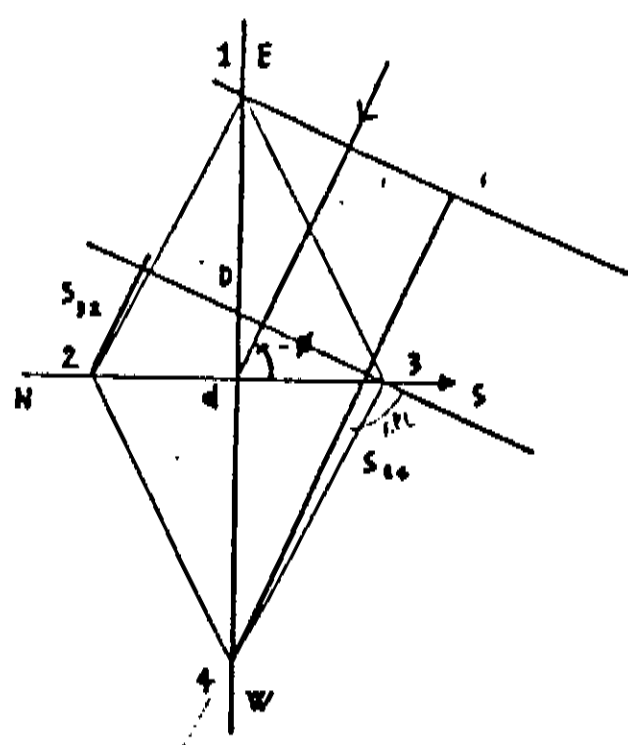


Figura 2.6 : Esquema para determinação das direções de chegada

horizontal, como mostrado na figura 2.6, serão

$$s(z) = s \sin(z)$$

De onde, portanto, teremos

$$R_1 = -(D \sin(z) \sin(A_1)) / c$$

e

$$R_2 = (D \sin(z) \cos(A_1)) / c$$

Invertendo-se as relações precedentes, obtemos

$$\tan(A_1) = -R_1 / R_2 \quad (2.2)$$

$$\sin(z) = c \sqrt{R_1^2 / D^2 + R_2^2 / D^2} \quad (2.3)$$

$$\cos(A_1) = (R_2 / c) / (D \sin(z)) \quad (2.4)$$

A terceira relação define um valor único para a primeira. Na verdade a direção norte-sul forma um ângulo diferente de zero com a diagonal 2-3, de forma que o ângulo azimutal será

$$A = A_1 - A_{ns}$$

em Chacaltaya $A_{ns} = 51^\circ$.

2.5.2 Fluxo observável

O espectro de energia dos raios cósmicos é representado por

$$dS/dE = AE^{-\gamma} \quad (2.5)$$

onde $A \approx 2.25$ e $\gamma = 2.75$. De forma análoga, para os gamas teremos

$$dS_\gamma/dE = BE^{-\gamma} \quad (2.6)$$

assumindo-se que o expoente do espectro, γ , seja igual àquele da

radiação cósmica e que a fonte seja puntiforme.

O número total de eventos da radiação cósmica observáveis em uma área eficaz A_{eff} , dentro de um ângulo sólido Ω , durante um intervalo de tempo T é :

$$N_{\text{cr}} = \int AE^{-\gamma} A_{\text{eff}}(E) \Omega T dE \quad (2.7)$$

N_{cr} será o fundo, enquanto que o sinal que se quer medir é o

$$N_{\gamma} = \epsilon \int BE^{-\gamma} A_{\text{eff}}(E) \Omega T dE \quad (2.8)$$

onde ϵ é a eficiência do detector. O experimento deteta uma fonte gama através de uma abertura angular α , a qual deve maximizar a razão sinal/ruído, que é escrita na forma,

$$N_{\gamma} = \frac{n_0 \int e^{-1/2(\theta/\delta\theta)^2} 2\pi \sin\theta d\theta}{n_1 \left(\int 2\pi \sin\theta d\theta \right)^{1/2}} \quad (2.9)$$

O valor que se obtém, maximizando (2.9), é $\alpha = 1.586\theta$, onde $\delta\theta$ é a resolução angular do experimento. O ângulo sólido Ω pode ser expresso na forma,

$$\Omega = 2\pi(1 - \cos\alpha) = \pi\alpha^2 = \pi(1.586\theta)^2$$

Pode-se afirmar que uma determinada fonte foi observada, quando o número de gamas observados for maior que k vezes a flutuação dos raios cósmicos, ou seja,

$$N_{\gamma} > k \sqrt{N_{\text{cr}}} \quad (2.10)$$

substituindo (2.8) em (2.10), obtém-se

$$\epsilon \int BE^{-\gamma} A_{\text{eff}}(E) dE T > k \sqrt{N_{\text{cr}}} \quad (2.11)$$

da expressão de N_{cr} pode-se obter :

$$\int E^{-\gamma} A_{\text{eff}}(E) dE = \frac{N_{\text{cr}}}{A\Omega T} \quad (2.12)$$

Substituindo (2.12) em (2.11) obtemos :

$$\frac{\epsilon BN_{\text{cr}}}{A\Omega} > k \sqrt{N_{\text{cr}}} \quad (2.13)$$

de onde se tem que

$$B_{\min} = \frac{kA\Omega}{\epsilon\sqrt{N_{\text{cr}}}} \quad (2.13)$$

Como o fluxo de gamas é

$$\phi(E) = \frac{B}{\gamma - 1} E^{-\gamma+1} \quad (2.14)$$

pode-se obter o mínimo fluxo detetável, substituindo-se (2.13) em (2.14), de forma que

$$\phi_{\min}(E) = \frac{kA\Omega}{(\gamma-1)\epsilon\sqrt{N_{\text{cr}}}} E^{-\gamma+1} \quad (2.15)$$

pode-se fazer uma outra substituição, tendo em conta que

$$N_{\text{cr}} = f_{\text{cr}} \frac{\Omega}{\Omega_{\text{tot}}} T \quad (2.16)$$

onde f_{cr} é a frequência de chegada dos raios cósmicos e Ω_{tot} é o angulo sólido total. Assim,

$$\phi_{\min}(E) = \frac{kA\gamma N_{\text{cr}} E^{-\gamma+1} \Omega}{(\gamma-1)\epsilon f_{\text{cr}} \Omega/\Omega_{\text{tot}} T} \quad (2.17)$$

Mas $f_{\text{cr}} = \phi A_{\text{eff}}$, onde ϕ é o fluxo total (RC) na faixa de energia de interesse. Substituindo essa expressão em (2.17) e tendo em conta a expressão análoga a (2.14) para raios cósmicos, a expressão (2.17) ficará

$$\phi_{\min}(>E) = \frac{\Omega_{\text{tot}} k \sqrt{N_{\text{cr}}}}{\epsilon A_{\text{eff}} T} \quad (2.18)$$

sendo $\Omega_{\text{tot}} = 0.38 \text{sr}$ e $k=4$ teremos que,

$$\phi_{\min}(>E) = \frac{1.52 \sqrt{N_{\text{cr}}}}{\epsilon A_{\text{eff}} T} \quad (2.19)$$

para a direção de SN1987A. Note-se que $A_{\text{eff}} = A_{\text{eff}}(E_\gamma)$, ou seja, a área efetiva depende da faixa de energia considerada e $\sqrt{N_{\text{cr}}}$ é o desvio padrão do fundo de radiação cósmica (que segue uma distribuição Poissoniana).

2.6 Referências do capítulo 2

- [1] T. Gombosi et al., Proc. XIV ICRC, 2, 886, Munique (1975)
- [2] P. Vallania, Tesi di Laurea, Università degli Studi di Torino, Torino (1982)
- [3] M. Sella, Tesi di Laurea, Università degli Studi di Torino, Torino (1981)
- [4] E. J. T. Manganote, Tese de Mestrado, UNICAMP (1987)

Análise dos dados da primeira fase do detector de Chacaltaya

3.1 Correção e formatação dos dados

Problemas na transmissão dos dados originados por interferências diversas ou problemas na perfuração das fitas de papel causam frequentes erros nos arquivos. Por isso, foi desenvolvido um software^[1] para corrigir os erros que aparecem mais frequentemente.

Após a correção dos erros mais grosseiros ainda existe a possibilidade de que alguns dados incorretos permaneçam nos arquivos. Para resolver este problema, introduziu-se um critério de limpeza dos dados, que rejeita as contagens fora do intervalo de 3σ :

$$\langle y \rangle - 3\sigma_y < y_i < \langle y \rangle + 3\sigma_y$$

Os dados referentes ao período (1982/84) podem ser vistos na figura 3.1. Na figura 3.2 temos a contagem média dos arquivos ao longo do tempo. Efeitos instrumentais variados fazem surgir esses degraus, tornando-se necessária uma normalização. Escolheu-se arbitrariamente o valor 1100 para essa normalização. Com essas limpezas e a normalização feitas, os dados estão prontos para serem analisados.

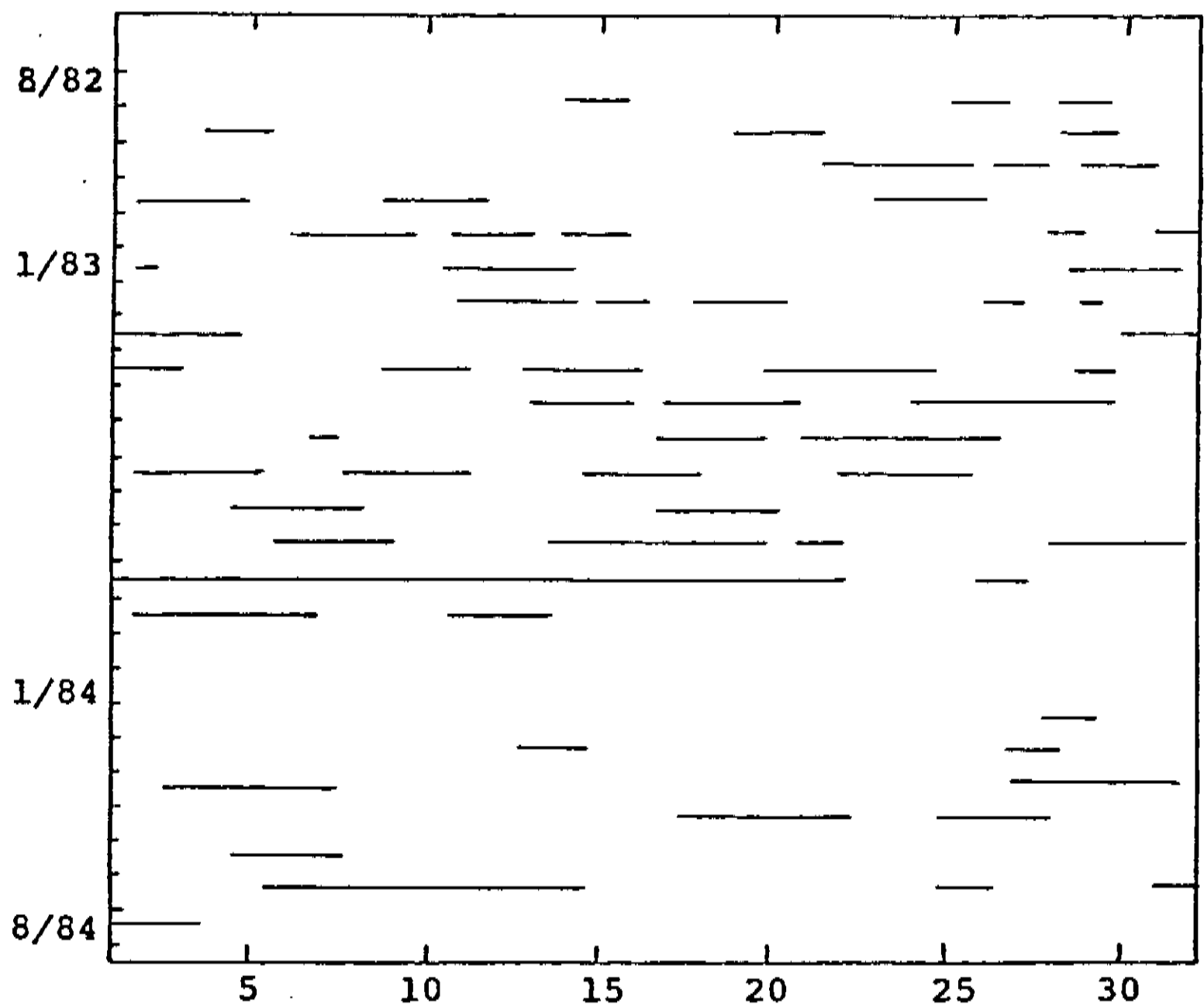


Figura 3.1 : Eficiência do detetor

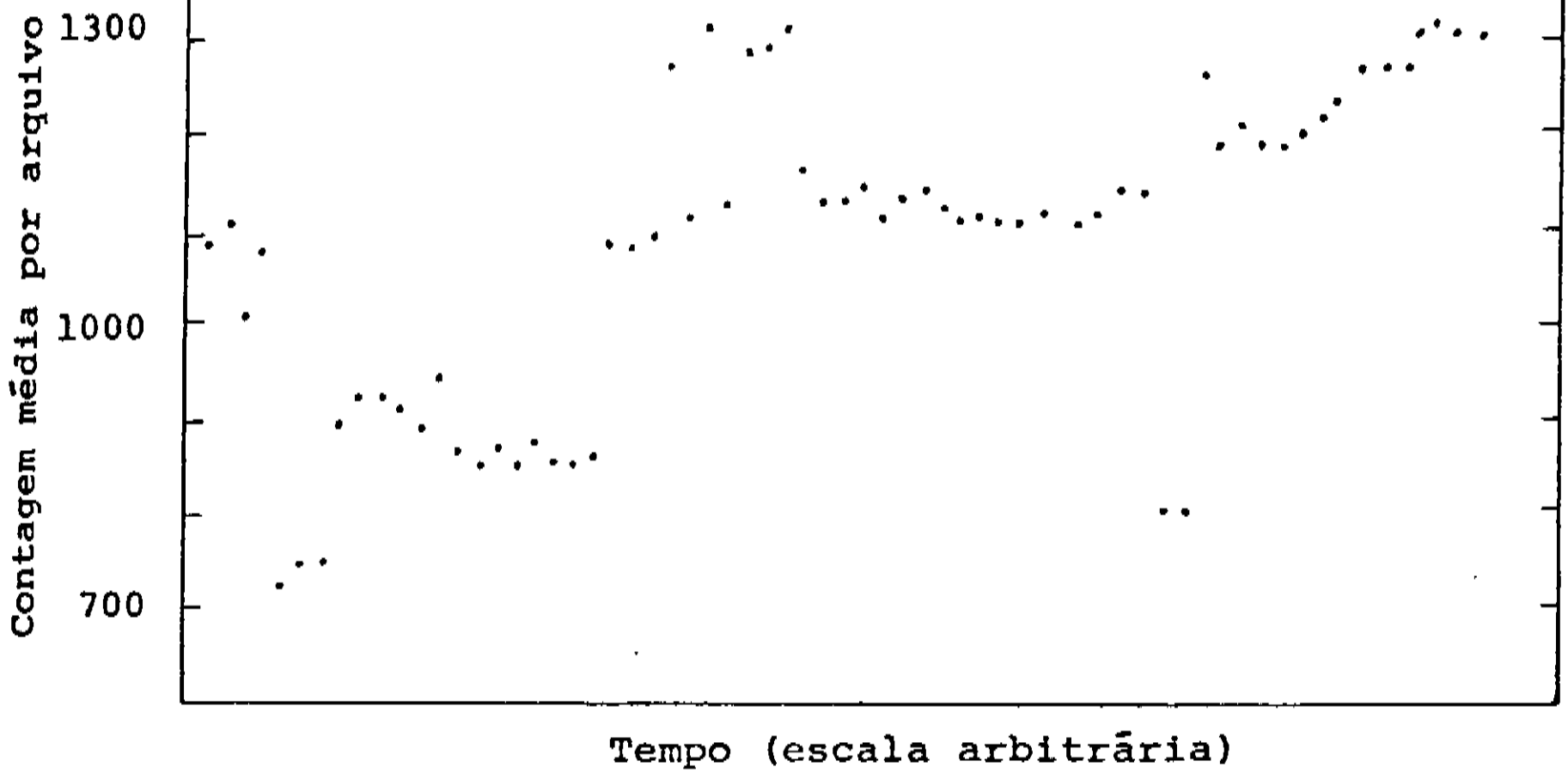


Figura 3.2 : Contagem média dos arquivos ao longo do tempo

3.2 Correção pelos parâmetros atmosféricos

Como já comentamos, as variações diárias da pressão atmosférica e da temperatura do ar podem introduzir modulações, as quais podem continuar significativas até em tempo sideral. Como os dados foram normalizados, torna-se difícil tratar os efeitos de segunda ordem, as variações anuais. Sendo assim, os efeitos tratados neste trabalho serão apenas os de primeira ordem, ou seja as variações diárias.

Os dados de temperatura e pressão utilizados eram coletados em um outro experimento instalado próximo ao nosso detector. Usando cerca de 7 meses de dados registrados hora a hora. Foi criado um dia médio de pressão e temperatura, o qual foi correlacionado através de regressão linear simples. Os coeficientes de correção obtidos foram

$$\beta = (-0.68 \pm 0.15)\%/\text{mbar}$$

e

$$\alpha = (-0.08 \pm 0.02)\%/{^\circ}\text{C}$$

Como podemos ver da tabela 3.1 os resultados concordam com os obtidos por outros grupos. Para verificarmos se os dados ainda possuem alguma modulação após terem sido efetuadas as correções de primeira ordem, utilizamos o método da análise harmônica em tempo antisideral. Este método foi originalmente desenvolvido por Farley e Storey^[2] e é amplamente utilizado. O tempo antisideral não possui significado físico, mas se houver alguma modulação presente nos dados ela aparecerá na forma de harmônicas significativas quando desta análise. Os resultados obtidos foram

$$A_1 = (0.03 \pm 0.01)\% \quad \phi_1 = (11 \pm 2)\text{horas}$$

$$A_2 = (0.03 \pm 0.01)\% \quad \phi_2 = (6 \pm 2)\text{horas}$$

A análise antisideral apresentou harmônicas de baixa significância; o que nos garante que os dados não estão sujeitos a

Estação	En. Primária (eV)	$\beta (C_{\text{ZAMS}})$	$\alpha C_{\text{ZAMS}}^2 (C)$
Norikura 2770m, 36N	2×10^{13}	-0.70 \pm 0.02	-0.09 \pm 0.03
Musala 2925m, 42N	6×10^{13}	-0.68 \pm 0.04	-0.21 \pm 0.04
Pic-du-Midi 2860m, 41N	3×10^{14}	-0.76 \pm 0.01	-0.11 \pm ?
Yakutsky nível do mar	1×10^{14}	-0.75 \pm 0.02	-0.21 \pm ?
Chacaltaya 5220m, 18S	5×10^{12}	-0.68 \pm 0.15	-0.08 \pm 0.02

Tabela 3.1 : Coeficientes obtidos para os parâmetros atmosféricos

fortes modulações.

Em seguida foi efetuada a análise em tempo solar, obtendo-se

$$A_1 = (0.085 \pm 0.014)\% \quad \phi_1 = (8.6 \pm 0.6)\text{horas}$$

$$A_2 = (0.065 \pm 0.014)\% \quad \phi_2 = (8.1 \pm 0.8)\text{horas}$$

Tanto a primeira como a segunda harmônica são significativas. É esperado que um efeito tipo Compton-Getting apareça em primeira harmônica, todavia como já mencionado no capítulo 1 a amplitude esperada seria duas vezes menor. Em segunda harmônica a hipótese mais provável é de que as correções pelos parâmetros atmosféricos não estejam sendo suficientes. Campos magnéticos interplanetários e possíveis assimetrias na cavidade solar^[3], poderiam introduzir anisotropias solares, além do efeito Compton-Getting, causado pelo movimento da Terra .

3.3 Análise sideral e discussão dos resultados

Os resultados para primeira e segunda harmônicas em tempo sideral são

$$A_1 = (0.11 \pm 0.01)\% \quad \phi_1 = (1 \pm 1) \text{ horas}$$

$$A_2 = (0.04 \pm 0.01)\% \quad \phi_2 = (11 \pm 2) \text{ horas}$$

Na tabela 3.2 são colocados esses resultados e os obtidos por outros grupos . Existe uma boa concordância em primeira harmônica, todavia quanto a segunda harmônica nada podemos afirmar por ela não ser estatisticamente significativa ($A_2 < 3\sigma_{A_2}$). Os grupos de Norikura, Musala e Baksan apresentam uma segunda harmônica significativa com fase entre 5 e 6 horas. Os resultados do grupo de Poatina não possuem uma segunda harmônica significativa, o que pode ser devido a uma estatística insuficiente, mas também pode indicar uma diferença real norte-sul.

Análise Harmônica	Poatina 42° S	Norikura 36° N	Musala 42° N	Baksan 43° N	Chacaltaya 18° S
En. média	10^{12} eV	$2 \cdot 10^{13}$ eV	$6 \cdot 10^{13}$ eV	10^{13} eV	10^{13} eV
Primeira Harmônica	$(0.05 \pm 0.02)\%$ (1.3 ± 1.9) h	$(0.051 \pm 0.004)\%$ (1.0 ± 0.3) h	$(0.07 \pm 0.02)\%$ (1.7 ± 1.1) h	$(0.057 \pm 0.004)\%$ (1.4 ± 0.3) h	$(0.105 \pm 0.014)\%$ (0.9 ± 0.5) h
Segunda Harmônica	----	$(0.026 \pm 0.004)\%$ (5.5 ± 0.3) h	$(0.06 \pm 0.02)\%$ (5.0 ± 0.7) h	$(0.019 \pm 0.004)\%$ (6.2 ± 0.4) h	$(0.036 \pm 0.014)\%$ (10.6 ± 1.5) h

Tabela 3.2 : Comparação dos resultados com os obtidos anteriormente por outros grupos

3.4 Comentários

Quando assumimos uma origem galáctica, a tendência das partículas fluirem de regiões densas para as de menor densidade seguindo as linhas do campo magnético, faz com que a direção do braço espiral para dentro (SP in, ver figura 1.1) da galáxia torne-se a mais provável. Se houvesse uma fonte intensa de partículas naquela direção poderíamos ter um deslocamento de 180° na fase, devido a este gradiente. No caso de uma origem extragaláctica, se os chuveiros são produzidos por prótons chegando das regiões centrais (SGC) do aglomerado local de galáxias, deveríamos observar um máximo nesta direção. De fato, recentemente, o grupo de Yakutsk observou um excesso^[5] nessa direção, para a faixa de energia acima de 10^{19} eV. A distribuição de fontes gama na galáxia fornece^[6] possibilidades interessantes, na figura 3.3 mostramos a superposição dos dados coletados pelo grupo de Baksan com os coletados (extrapolação) pelo satélite COS-B.

Uma parte dessa anisotropia pode aparecer devido à distribuição das partículas com relação às linhas do campo magnético local juntamente com um efeito tipo Compton-Getting, superposto, devido ao movimento do sistema solar com respeito ao meio interestelar local^[7]. Uma difusão desse tipo se fosse anisotrópica^[8], produziria uma distribuição na qual as harmônicas ímpares seriam idênticas nos hemisférios norte e sul enquanto as pares seriam opostas (em fase). Até o momento não existem evidências suficientes para provar ou não este modelo. O pouco conhecimento da estrutura do campo magnético local dificulta o cálculo das anisotropias esperadas, todavia, o aparecimento de anisotropias que não se correlacionam com aquelas prováveis fortalece este modelo.

Finalizando, os nossos resultados estão em boa concordância com os já obtidos por outros grupos. Todavia, existe ainda a presença de modulações em tempo solar que não puderam ser retiradas. A análise antisideral mostrou que as modulações presentes não são fortes, contudo a anisotropia observada em tempo

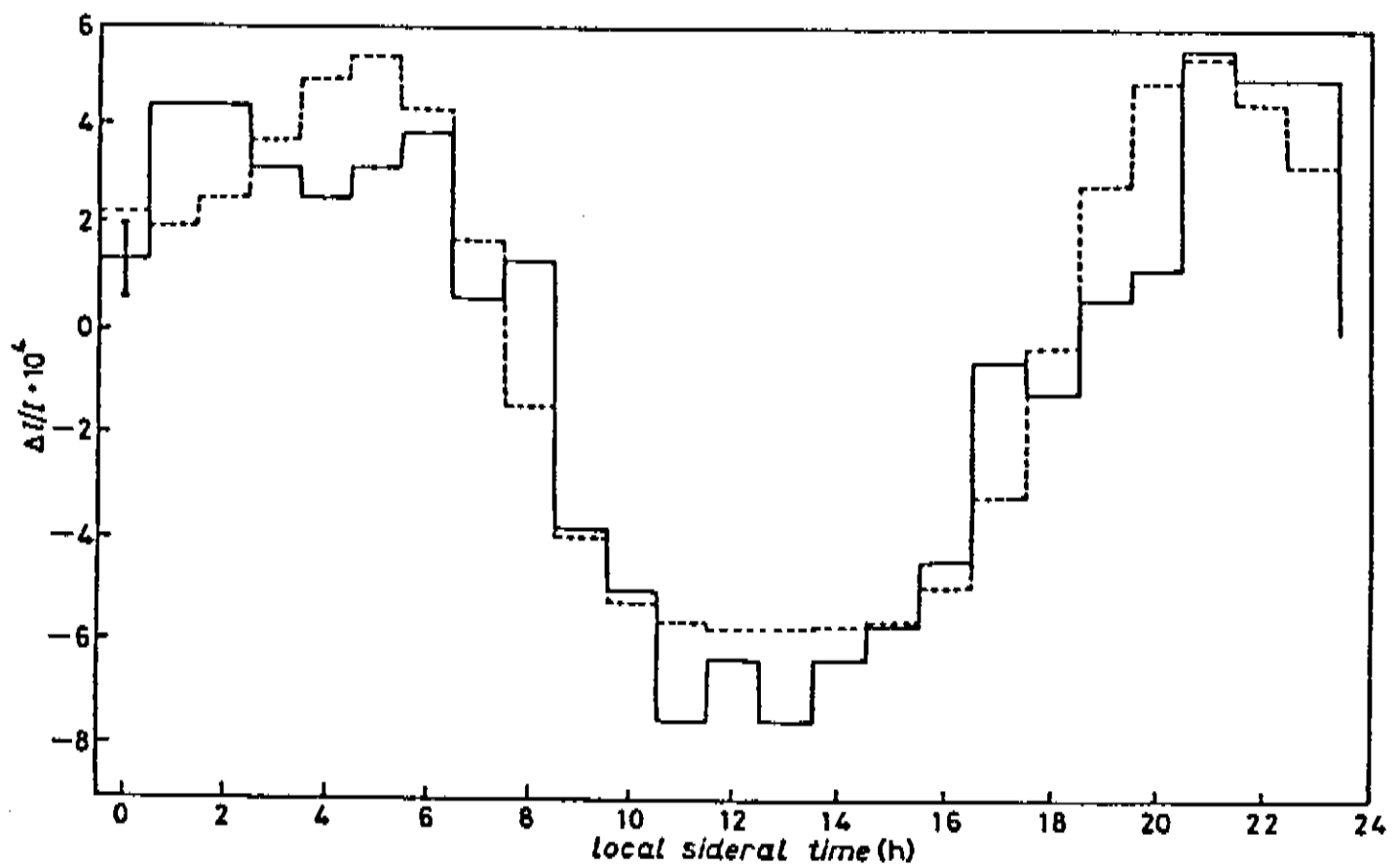


Figura 3.3 : Superposição dos dados de Baksan com os coletados (extrapolação) pelo satélite COS-B^[6]

solar não pode ser desprezada. Comparando-se as amplitudes nos 3 tipos de análise podemos ver que a amplitude em tempo sideral é a mais significativa, o que indica a presença de um efeito genuino. Entretanto, a existência de uma ulterior modulação pode estar aumentando a amplitude da primeira harmônica, como se vê da comparação com os dados de outros grupos.

3.5 Referências

- [1] E. J. T. Manganote, Tese de Mestrado, UNICAMP (1987)
- [2] F. J. M. Farley e J. R. Storey, Proc. Phys. Soc., A67, 996 (1954)
- [3] J. Kota, Proc. XIX ICRC, 9, 275, La Jolla (1985)
- [4] V. V. Alexeenko et al., Proc. XVII ICRC, 2, 146, Paris (1981)
- [5] N. N. Efimov et al., Proc. XXI ICRC, 3, 205, Adelaide (1990)
- [6] V. V. Alexeenko e G. Navarra, Lett. Nuov. Cimento, 42, 1 (1985)
- [7] K. Nagashima et al., Proc XV ICRC, 2, 154, Plovdiv (1977)
- [8] J. Kota e A. J. Somogyi, Proc. XV ICRC, Late Papers (1977)

Astronomia Gama de altas energias

4.1 Um breve histórico

A procura de um fluxo de gamas primários na radiação cósmica se iniciou nos anos 50^[1].

S. Hayakawa e G. Hutchinson em 1962^[2,3] e P. Morrison^[4] em 1957 previram que interações entre a componente nuclear e eletrônica da radiação cósmica com a matéria interestelar produziriam radiação gama no intervalo de MeV-GeV e estimaram que a intensidade da emissão de radiação gama galáctica seria mensurável. Ginzburg e Syrovatsky^[5] também estimaram o fluxo como sendo da ordem de 10^{-5} fo/cm²ssr para energias maiores que 100 MeV. Problemas técnicos, relacionados com o background e com os baixos fluxos esperados adiaram até 1967 a primeira observação efetiva de uma componente em gamas identificada como sendo de origem galáctica. Esses dados foram coletados pelo satélite OSO-III^[6]. Com a missão SAS-II, em 1972, conseguiram-se evidências acerca de 3 fontes discretas (Crab, Vela e Geminga). De 1975 a 1982 o satélite COS-B registrou mais de 200000 eventos com energias superiores a 50 MeV. Com esses dados foi possível construir um mapa do céu em gamas e identificar 25 fontes discretas (o catálogo 3CG^[7]).

A energias menores que 10 GeV os fluxos de gamas ainda são altos o suficiente para que as observações possam ser feitas com satélites. Já na região de energia muito alta (VHE) - 10^{10} a 10^{14} eV, e na região de energia ultra alta (UHE) - 10^{14} a 10^{17} eV, os fluxos tornam-se muito pequenos em comparação ao background de raios cósmicos de forma que são necessárias grandes áreas de deteção. A observação da radiação Cerenkov associada a chuveiros atmosféricos^[8] tornou possível a realização de medidas na região VHE com detectores baseados na superfície da Terra. A primeira estimativa de fluxo de gamas de VHE foi feita para a nebulosa do Carangueijo (Crab)^[9]. Se os elétrons, que preenchiam a nebulosa e

avam na faixa de rádio e sincrotron, fossem produzidos o descaimento de mésons, as colisões próton-próton que os produzem e também gerariam pions neutros que decairiam em gamas. O fluxo previsto foi da ordem de 10^{-9} fo/cm²s para energias maiores que 1 TeV. As primeiras observações sistemáticas nesta faixa de energia foram feitas pelo grupo do Instituto Lebedev em 1960^[10].

Gamas de UHE que chegam ao topo da atmosfera produzem cascatas eletromagnéticas que podem ser observadas por detectores de chuveiros atmosféricos extensos. Na década de 60 dois experimentos foram construídos para esse fim, um esteve operando no Monte Chacaltaya^[11] (Bolívia) e o outro em Lodz (Polônia). Sendo que nenhum fluxo foi observado. Contudo, outros experimentos foram construídos, motivados em parte pela simplicidade das técnicas utilizadas e pelas descobertas de emissões em outros comprimentos de onda, o que aumentava o número de possíveis candidatos a fontes (quasars, pulsares, buracos negros, etc.).

A confirmação de um fluxo de gamas de VHE de Cisne-X3 por três grupos independentes em 1980-82^[13-15] forneceu o ponto de partida para o reconhecimento da importância da área e o incentivo que faltava para uma busca sistemática de emissões em objetos do mesmo tipo de Cisne-X3 (binárias) e em outras faixas de energia mais alta. Hoje, a chamada astronomia gama, tanto em VHE como UHE, tornou-se um canal legítimo de informação astronômica. Novas observações, novos candidatos a fontes e novos experimentos tem surgido muito rapidamente. Na tabela 4.1 podemos ver um apanhado das observações mais confiáveis feitas até o presente momento.

Fonte	Publicações	Período Hem.	E (TeV)	Fluxo [cm ⁻² s ⁻¹]	D [Kpc]	L [erg/cm ² s]
Pulsars						
Crab	6	33ms	N	1	4×10^{-12}	2.0×10^{33}
Vela	2	89.2ms	S	1	3×10^{-12}	0.5×10^{32}
PSR1937+21	(1)	1.56ms	N	1	2×10^{-14}	5×10^{35}
PSR1953+29	1	6.13ms	N	1	1.2×10^{-12}	3.5×10^{35}
PSR1801-23	1	112ms	S	1	2.3×10^{-10}	2.7×10^{35}
Binary X-ray sources						
Cygnus X-3	9	4.8h	N	1	5×10^{-14}	3×10^{30}
				100	10^{-13}	.
	3			1000	2×10^{-14}	.
Her X-1	3	1.24s	N	1	3×10^{-11}	5×10^{33}
	1			500	3×10^{-12}	.
4U0115+63	2	3.61s	N	1	7×10^{-11}	5×10^{35}
Vela X-1	2	8.96d	S	1	2×10^{-11}	1.4×10^{34}
	2			3000	9×10^{-15}	.
Cen X-3	(1)	2.09d	S	1000	?	?
LMC X-4	1	1.41	S	10000	5×10^{-15}	50×10^{35}
Supernova remnants						
Crab Nebula	2	steady	N	1	1×10^{-11}	2×10^{34}
	1	variable		1000	1×10^{-10}	2×10^{35}
Radio galaxies						
Cen A	1	steady	S	1	4×10^{-12}	4400×10^{40}

Tabela 4.1 : Fontes gama de alta energia

Atualmente, entre as fontes mais prováveis nesse intervalo de energia, podemos colocar as binárias compactas, pulsares isolados, buracos negros, etc. A explicação convencional para a produção de energia na faixa UHE em objetos compactos é a existência de mecanismos aceleradores que poderiam gerar feixes de partículas com UHE, elétrons ou nêutrons. No caso dos elétrons gama de UHE seriam produzidos por efeito Compton inverso ou Bremsstrahlung^[16]. Já os feixes de nêutrons produziriam radiação gama através do decaimento dos π^0 's gerados quando de sua interação com o material que circunda o objeto. Esses gamas poderiam ser observados da Terra^[17-19].

O fluxo esperado é muito pequeno em comparação com o *background* de raios cósmicos. De forma que uma deteção estatisticamente significativa é demorada. Mais ainda, porque o critério principal é a direcionalidade do sinal. São previstas diferenças substanciais entre chuveiros originados por gamas e por nêutrons primários; todavia a falta de detectores capazes de distingui-los torna as observações ambíguas. Na tabela 4.2 apresentamos um panorama geral dos principais experimentos que estão funcionando na atualidade.

Detetor	Localização	Elev. (g/cm ²)	Área (10 ⁻⁴ m ²)	Δθ (deg)	E _{th} (TeV)	μ	h área (m ²)	h área (m ²)
AKENO	35N,138E	920	1	3	1	225	--	
NORIKURA	36N,137E	738	< 1	2	0.2	--	8	
JANZOS	41S,170E	930	> 0.23	2	1	--	--	
BUCKLAND	35S,138E	1030	1	2.5	1	--	--	
KGF	13N,78E	915	1.66	1.5	0.5	210	--	
OOTY	11N,77E	785	0.5	3	0.1	--	--	
BAKSAN	43N,43E	840	0.5	1.5	0.3	--	--	
TIEN SHAN	42N,75E	690	0.5	3	0.1	35	160	
ANI	40N,44E	695	0.3	2.5	0.1	220	1500	
GRAN SASSO	42N,14E	800	?	1.0	0.01	?	--	
PLATEAU	46N,8E	675	?	5.5	0.01	--	--	
GREX	54N,1W	1030	> 1	1	0.5	40	--	
LA PALMA	29N,18W	800	4	1	0.1	?	--	
BASJE	16S,68W	530	> 0.5	3	0.2	60	60	
CYGNUS	36N,106W	800	> 4	1	0.05	244	--	
MT.HOPKINS	32N,111W	780	0.5	1	0.1	--	--	
FLY'S EYE	40N,112W	850	2	0.5	0.1	1000	--	
CASA	40N,112W	850	25	1	0.1	1000	--	
SOUTH POLE	90S,0	760	1	1	0.1	--	--	
GRANDE	34N,93W	1000	6.2	0.3	0.01	62500	62500	

Tabela 4.2 : Principais experimentos em funcionamento na atualidade

4.3 Algunas fontes de interessa

Neste item discutiremos o estudo da arte no estudo de algumas fontes visíveis no hemisfério sul, as quais serão estudadas por nós quando da análise dos dados da segunda fase do detector de Chacaltaya.

4.3.1 A supernova SN1987A

Este recente evento^[20] nos deu, pela primeira vez, a possibilidade de examinar experimentalmente a hipótese de que supernovas (SN) são as principais fonte de radiação cósmica na galáxia^[21]. Envoltórias jovens de SN foram primeiramente sugeridas como fontes de radiação gama de alta energia e neutrinos^[22] e posteriormente foram estudadas por Silberberg e Shapiro^[23]. Gamas provenientes de SN1987A foram considerados por diversos autores^[24-26], aqui focalizaremos nossa atenção para aqueles gamas com energia $E_\gamma \geq 50$ TeV, como sugerido por Berezinsky e Ginzburg^[27] e Castagnoli et al.^[28], os quais seriam produzidos por prótons com energia $E_p \geq 500$ TeV através de interações nucleares na envoltória ($p + p \rightarrow \pi^0 + x$).

É usualmente aceito^[29-31] que partículas não podem ser aceleradas até tais energias através de uma onda de choque. Desta forma, a aceleração por um pulsar ou um buraco negro dentro da envoltória torna-se a alternativa mais natural. Muitos modelos de aceleração por objetos compactos foram apresentados^[32-36]. A maioria sugere a existência de grandes potenciais elétricos que se desenvolvem na superfície do pulsar devido a uma indução unipolar.

Outra possibilidade seria a aceleração por um dipolo magnético^[37]. Assim, como até o presente nenhum outro mecanismo foi apresentado podemos supor que a existência de gamas com energias $E_\gamma \geq 100$ TeV seria uma prova da aceleração por um objeto compacto. Observações de gamas de energias maiores são menos eficientes, pois para a distância de SN1987A ($d \geq 52$ Kpc) a maioria desses fôtons seria absorvida pela radiação de SK (via produção de pares).

Gamas com energias da ordem de 100 TeV podem ser detectadas através das ressonâncias eletromagnéticas que elas induzem na atmosfera. Para energias da ordem de 50 TeV, pequenos detectores montados em montanhas têm sensibilidade suficiente, após um ano de medidas, para observar fluxos de 10^{-12} a 10^{-11} fotons/cm²s. Como descreveremos mais tarde, esta é a sensibilidade do detector da colaboração Torino-Chacaltaya-Campinas.

O fluxo de gamas produzidos através da reação ($p+p \rightarrow \pi+x$) pode ser calculado para o intervalo de tempo entre t_γ (instante no qual a envoltória torna-se transparente a gamas) e t_m (instante no qual a expressura da envoltória torna-se menor do que o comprimento de interação dos prótons). Para um espectro tipo lei de potência dos prótons acelerados,

$$J_\gamma(E_\gamma) = \frac{1}{4\pi d^2} \phi_\gamma \frac{\gamma-1}{\gamma} L_p E_\gamma^{-\gamma} \quad (1)$$

onde $d = 52$ Kpc é a distância até SN1987A, γ é o expoente do espectro integral, L_p (GeV/s) é a luminosidade em prótons da pulsar e E_γ (GeV) é a energia dos gamas. Se a fonte em questão tiver propriedades tais que possa reproduzir o espectro de raios cósmicos em nossa galaxia, então γ estará limitado ao intervalo $1.1 < \gamma < 1.4$, sendo o valor mais provável $\gamma = 1.3$.

Na tabela 4.3 podemos ver os valores de ϕ_γ e J_γ calculados para diferentes valores de γ , supondo-se uma luminosidade em prótons $L_p = 10^{41}$ erg/s.

Para a luminosidade considerada $L_p = 10^{41}$ erg/s, a pressão desenvolvida pelos raios cósmicos excede consideravelmente a pressão das camadas internas da envoltória da SN. No estágio inicial da expansão, a radiação cósmica e o campo magnético formam uma bolha que se expande a uma velocidade $v = 10^{10}$ cm/s, até que a pressão do gás comprimido interrompa a expansão. Neste estágio a envoltória se encontra num estado de instabilidade tipo Rayleigh-Taylor, do qual resulta a formação de nuvens de gás, entre as quais formam-se túneis de baixa densidade, cheios de raios cósmicos e com campo magnético. Assume-se, portanto, que a radiação cósmica preenche de maneira praticamente uniforme todos

γ	1.1	1.2	1.3	1.4	1.5	1.6
ϕ_γ	0.11	0.09	0.07	0.06	0.05	0.04
$j_\gamma (> 1 \text{ TeV})$ $\times 10^{-10}$	9.7	7.4	4.0	1.9	0.62	0.36
$j_\gamma (> 50 \text{ TeV})$ $\times 10^{-12}$	1.3	0.8	0.5	0.3	0.18	0.105

Tabela 4.3 : Valores de ϕ_γ e j_γ calculados para diferentes valores de γ (potência do espectro fonte), supondo-se luminosidade $L_p = 10^{41} \text{ erg/s}$

os túneis dentro da envoltória. As partículas com energia muito alta $E_p > 1000$ TeV são supostas propagando-se retilíneamente através da envoltória. Esta hipótese é válida para campos magnéticos relativamente fracos. Para a situação oposta, ou seja campos muito fortes, as partículas com energias de até 10 TeV podem ficar confinadas dentro da envoltória.

Dois limites superiores podem ser colocados para a luminosidade L_p de prótons. O primeiro é obtido do trabalho de Eichler e Letaw^[38] para evitar a superprodução de elementos leves na camada C-O ejetada pela SN. Assim, mostra-se que todos os prótons acelerados são absorvidos por esta camada, de modo que a energia total absorvida esteja limitada em :

$$W_p < 3.6 \times 10^{46} \text{ erg} \quad (2)$$

Desde que para supernovas do tipo II na nossa galáxia o estágio nuclear tem uma duração (estimada) de $t_a \approx 10^7$ s, a equação (2) fornece como limite superior para L_p ,

$$L_p < 4 \times 10^{39} \text{ erg/s} \quad (3)$$

Contudo, se considerarmos que, devido à instabilidades do tipo Rayleigh-Taylor, os raios cósmicos preenchem de maneira razoavelmente uniforme todo o volume da envoltória, sómente uma fração $\epsilon = V_c / V_{TOT}$ dos prótons será confinada dentro da camada C (V_c é o volume da camada C e V_{TOT} é o volume total da envoltória). Valores típicos desta razão estão entre 10^{-4} - 10^{-3} , dependendo da massa da envoltória. Desta forma o limite superior em (3) aumenta para $L_p \approx 10^{43}$ erg/s.

Um segundo limite superior para L_p pode ser obtido através da curva de luz da SN^[25]. A idéia está baseada no fato de que a um tempo t , da ordem de 100 dias, após a explosão da SN a luminosidade ótica decresce exponencialmente com o tempo enquanto que a luminosidade de prótons decresce muito mais lentamente. Dessa maneira, Berezinsky e Ginzburg^[25] obtiveram um limite superior para L_p da ordem de 5×10^{43} erg/s.

Quanto ao estágio de transparéncia da envoltória nos gama produzidos, existem dois processos que estão em jogo : i) absorção gama pela matéria e ii) absorção gama devido a choques com fôtons óticos.

Considerando o primeiro processo, assumimos que os prótons com energia em torno de 1000 TeV, responsáveis pela radiação gama de 100 TeV, propagam-se retilinarmente dentro da envoltória. O estágio de transparéncia inicia-se quando a espessura da envoltória torna-se menor do que $\lambda_p + X_{RAD} \approx 100 \text{ g/cm}^2$; onde λ_p é o comprimento de radiação do próton e X_{RAD} é o comprimento de radiação. Usando para a expressura da camada a expressão :

$$x(t) = 8.3 \times 10^2 / t_{100}^2 \text{ (gr/cm}^2\text{)} \quad (4)$$

derivada por Litvinova et al.^[40] encontra-se (supondo $M=16M_\odot$) que o estágio de transparéncia inicia-se a um determinado tempo t_γ da ordem de 10 meses. Contudo, o desenvolvimento da estabilidade de Rayleigh-Taylor reduz t_γ por um fator de η .

Quanto ao segundo processo, a absorção por produção de par, o problema já foi considerado por Berezinsky e Prelutsky^[41] em 1978 e especificamente para SN1987A por Protheroe^[42] em 1987. Se prótons de alta energia propagam-se para fora da envoltória radialmente em relação ao objeto compacto central, este efeito torna-se insignificante para observações após um determinado tempo t da ordem de 200 a 300 dias após a explosão. O ponto fundamental está em que os gamas produzidos dentro da fotosfera são absorvidos, para tempos maiores que 300 dias menos 15% dos fôtons serão produzidos dentro da fotosfera e portanto absorvidos; desta forma, a absorção $\gamma-\gamma$ torna-se desprezível.

Finalizando, pelo que foi discutido, SN1987A oferece a oportunidade de uma procura direta dos processos de aceleração nas vizinhanças de um objeto compacto. O fluxo esperado de gamas para energias da ordem de 50 TeV pode ser observado por detectores de chuveiros atmosféricos extensos, se a luminosidade de prótons da fonte for da ordem de $L_p \geq 10^{44} \text{ erg/s}$. Sendo que esses gamas seriam visíveis a partir de 10 meses (ou um pouco menos) após a explosão,

quando teríamos o início do estágio de transparência.

4.3.2 Centaurus A

A controvérsia ainda existente acerca da origem da radiação cósmica ser galáctica ou extragaláctica está intimamente ligada com as possibilidades da astronomia gama. A descoberta de várias fontes gama (mesmo a baixas energias) extragalácticas coloca interessantes questões quanto àquele problema. Uma dessas fontes é Centaurus A.

Esta é uma das rádio-galáxias mais luminosas e também uma das mais próximas. Sua emissão em rádio é complexa, apresentando peculiaridades quando comparada com outras rádio-galáxias. Em raio-X sua emissão é intermitente, nenhum padrão foi identificado até agora. Em gamas o que se tem é uma emissão a energias até 20 MeV que foi observada através de experimentos com balões (usando um telescópio Compton)^[43]. Sendo uma fonte que é sómente visível do hemisfério sul, sua observação tem sido muito esporádica devido à pequena quantidade de detectores. Todavia, dados provenientes da colaboração entre o Observatório Smithsonian e a Universidade de Sidney resultaram na observação de um sinal bem significativo (4.6σ)^[44]. Com um fluxo de 4.4×10^{-11} fotons/cm²s para energias $E_\gamma > 0.3$ TeV.

Até o presente momento nenhuma observação conclusiva foi feita para energias mais altas. Uma análise de 3 anos de medidas coletadas pelo experimento de Buckland Park (Adelaide, Austrália) forneceu como limite superior 10^{-14} fotons/cm²s para energias $E > 1000$ TeV^[45]. Devido à sua grande distância fluxos de gamas a essas energias não são esperados, já que a absorção pela radiação de 3k atenuaria o sinal por um fator de 10⁴.

4.3.3 Plano Galáctico

Para energias da ordem de 100 MeV, a região mais interessante do céu em gamas é, sem dúvida, o plano galáctico. A existência de mais de 25 fontes nessa região tem sido sugerida^[46]. Sendo que o crescimento da emissão caminha em direção do centro galáctico.

Acredita-se que essa emissão de gamas origina-se na colisão de raios cósmicos com a matéria interestelar e o subsequente decaimento de π^0 s. A energias mais altas (> 1 GeV) os gamas produzidos através das interações dos elétrons da radiação cósmica (através de efeito Compton inverso e bremsstrahlung) também contribuem.. Nenhum cálculo preciso foi feito em relação ao fluxo esperado desta região, para energias maiores que 1 TeV, todavia por analogia com a emissão em energias mais baixas não seria surpreendente se observações na região dos TeV fossem observadas. O Centro Galáctico e Sagitarius A foram as primeiras fontes estudadas mas sem resultados positivos. Para o plano galáctico foi estimado um limite superior da ordem de 2×10^{-12} fotons/cm²s para energias maiores que 1.8 TeV^[47]. Das observações do experimento de Narrabri (Austrália) foi colocado um limite superior para a emissão do Centro Galáctico como sendo 7.9×10^{-11} fotons/cm²s para energias maiores que 0.3 TeV.

E interessante notar que existe um número razoável de grupos que pretende a identificação de um fluxo negativo de radiação gama da direção do plano galáctico. De qualquer forma a incerteza é muito grande ainda e faltam informações acerca do Centro Galáctico, o qual é principalmente visível do hemisfério sul. Esta é uma das medidas potencialmente mais importantes que ainda está por ser feita.

4.3.4 O pulsar de Vela (PSR0833-45)

Os primeiros pulsares foram descobertos em 1967^[48]. A descoberta de um pulsar na Nebulosa do Caranguejo confirmou a conexão entre explosões de supernovas e pulsares e reforçou a idéia de que os pulsares seriam estrelas de neutrons com alta frequência de giro.. Um objeto em rotação com diâmetro menor que 10Km e um campo magnético superficial da ordem de 10^{12} G é um objeto ideal para a aceleração de partículas de alta energia. Com uma frequência de rotação da ordem de 600Hz, a perda de energia poderia facilmente chegar a 10^{38} erg/s .

Para energias da ordem de 100 MeV, o pulsar de Vela é o

objeto discreto mais brilhante no céu. Ele foi o primeiro alvo de observações no hemisfério sul. Os fluxos, limites e limiares de energia associados com observações na região de TeV feitas por diversos grupos para PSR0833-45 podem ser vistos na tabela 4.4.

Os resultados são confusos, mas algumas conclusões de ordem geral podem ser inferidas :

i) Os fluxos na faixa de energia de TeV estão 3 ordens de magnitude abaixo do espectro extrapolado das medidas feitas pelo experimento do satélite COS-B.

ii) A emissão, se real, está confinada a pequenos pulsos (3 a 6 ms), cuja escala de ocorrência está em torno de meses.

iii) O espectro de energia na região de TeV não é uma continuação do espectro das energias mais baixas, sendo provavelmente de uma origem diferente.

4.3.5 Binárias de Raio-X

São os objetos de maior interesse para a astronomia gama. Nestes objetos a fonte de energia vem da queda de matéria dentro do forte campo gravitacional do objeto compacto. Um sistema binário constitui-se, em geral, de uma estrela normal cuja companheira é um objeto compacto, como uma estrela de neutrons ou um buraco negro. Os mecanismos de aceleração que podem estar em jogo nesses objetos são extremamente complexos^[49] e não cabe aqui uma discussão detalhada do assunto, vale mencionar apenas que estão relacionados com os mesmos processos que podem estar ocorrendo nos pulsares.

Vela X-1

Este é um sistema binário originalmente descoberto pelo satélite UHURU. Acredita-se que constitua-se de uma estrela de neutrons e de uma companheira (Supergigante tipo B) de $24M_{\odot}$. Está razoavelmente próximo do sistema solar, sua distância sendo estimada em 1.9 Kpc.

As primeiras observações vieram dos dados coletados pelo

experimento de Buckland Park^[50]. O fluxo de gamas estimado para energias maiores que 0.3 PeV foi de 1.0×10^{-14} fotons/cm²s, o que para uma distância de 1.9Kpc implica numa luminosidade de 4×10^{34} erg/s o que é um fator de 10^{-2} menor do que o fluxo proveniente de Cisne X-3^[51] para a mesma faixa de energia. Para energias mais baixas, na faixa dos TeV, as medidas são controversas.

LMC X-4

Consiste de uma estrela de neutrons de $1.6M_{\odot}$ com uma companheira de $17M_{\odot}$. A estrela de neutrons tem um período de rotação de 13.5s e o período orbital do sistema é de 1.4 dias.

Observações desta fonte foram feitas pelo grupo da Universidade de Adelaide (Buckland Park), utilizando o mesmo conjunto de dados já analisados no caso de Vela X-1. O fluxo estimado de gamas provenientes de LMC X-4 é de 4.6×10^{-15} f/cm²s para energias maiores que 8 PeV. O fato de o fluxo estimado ser tão pequeno se deve principalmente à absorção pela radiação de 3K no espaço intergaláctico, a distância desta fonte é 50Kpc. A luminosidade derivada desse fluxo é 10^{38} erg/s.

Entre os muitos problemas em aberto da astronomia gama está a questão da variabilidade das fontes, ou seja da presença muitas vezes aperiódica de emissões em gamas. Neste caso o problema maior consiste em se encontrar mecanismos físicos razoáveis que possam explicar esse comportamento.

Outra questão interessante é que todas as observações estão dentro de uma significância de 5σ. Poder-se-ia tentar explicar esse fato através da variabilidade das fontes; todavia, os mesmos argumentos que podem ser usados para justificar a ausência de sinais mais definidos também podem servir para a argumentação contrária.

Os métodos de análise também geram problemas. Na tentativa constante de se retirar sinais muito ténues do background muitos grupos tem gerado novos métodos de análise; contudo, não há uniformidade no tratamento dos dados. Ou seja, não pode ser feita uma comparação direta entre os resultados de grupos diferentes. O mesmo pode ser dito quanto aos processos de seleção dos dados.

Outro ponto é que mesmo que uma fonte seja dada como genuina nada nos garante que o que está sendo observado são realmente gamas. Os detetores atualmente em funcionamento não possuem a capacidade de identificar univocamente o primário como sendo um gama. Os métodos de diferenciação hoje utilizados baseiam-se em : i) para a região de TeV nas diferenças angulares e laterais da luz Cerenkov produzida por chuveiros de primários diferentes e ii) para energias mais altas na quantidade de muons e idade dos chuveiros.

A possibilidade mais interessante no momento para se melhorar os experimentos está na introdução de novos tipos de detetores, que possibilitem uma melhor definição da direção de chegada dos chuveiros. Várias possibilidades tem sido colocadas como, por exemplo : *streamer tubes*, *drift chambers*, *multiwire proportional chambers*, *resistive plate counters*, etc.

Além de uma melhoria substancial na determinação da direção de chegada dos chuveiros, tais detetores possibilitam um estudo

aprofundado da componente hadrônica, fornecendo informações mais precisas acerca da natureza do primário.

4.5 Referências :

- [1] S. Hayakawa, Progr. Theor. Phys., 8, 571 (1952)
- [2] R. Giacconi et al., Phys. Rev. Lett., 9, 439 (1962)
- [3] G. W. Hutchinson, Phil. Mag., 43, 487 (1952)
- [4] P. Morrison, Nuovo Cimento, 7, 858 (1956)
- [5] V. L. Ginzburg e S. I. Syrovatskii, *The Origin of Cosmic Rays*, Pergamon Press, Oxford (1964)
- [6] W. L. Kraushaar et al., Astrophys. J., 177, 341 (1972)
- [7] B. N. Swanenburg et al., Astrophys. J., 198, 163 (1975)
- [8] W. Galbraith e J. V. Jelley, Nature, 171, 106 (1962)
- [9] G. Cocconi, Proc. Moscow Conf. on Cosmic Rays, 2, 309 (1959)
- [10] A. E. Chudakov et al., Transl. Cons. Bureau, P. N. Lebedev Inst., 26, 99 (1965)
- [11] Y. Toyoda et al., Proc. IX ICRC, Londres, 2, 708 (1965)
- [12] R. Firkowski et al., Proc. IX ICRC, Londres, 2, 696 (1965)
- [13] S. Danaher et al., Nature, 289, 568 (1981)
- [14] R. C. Lamb et al., Nature, 296, 568 (1982)
- [15] J. C. Dowthwaite et al., Astron. Astrophys., 126, 1 (1983)
- [16] G. B. Yodh, Proc. 6th Erice School on Cosmic Gamma Rays, Erice, Italia, 183 (1988)
- [17] W. T. Vestrand e D. Eichler, Astrophys. J., 261, 251 (1982)
- [18] A. M. Hillas, Nature, 312, 50 (1984)
- [19] T. K. Gaisser et al., Astrophys. J., 309, 674 (1986)
- [20] I. Shelton, IAU Circ. 4316 (1987)
- [21] V. L. Ginzburg, Sov. Phys. Usp., 21, 155 (1978)
- [22] V. S. Berezinsky, Proc. DUMMAND Summer Workshop, 229 (1976)
- [23] V. S. Berezinsky e O. F. Prilutsky, Sov. Astr. Lett., 3, 79 (1977)
R. Silberberg e M. M. Shapiro, Proc. XIV ICRC, 2, 26 (1977)
- [24] T. K. Gaisser et al., Nature, 329, 314 (1987)
- [25] V. S. Berezinsky e O. F. Prilutsky, Astron. Astrop., 66, 325 (1978)
- [26] T. Nakamura et al., Proc. ESO Workshop on the SN1987A, 585 (1987)
- [27] C. Castagnoli et al., Proc. ESO Work. SN1987A, 577 (1987)
- [28] A. R. Bell, Mont. Not. RAS, 182, 443 (1978)
- [29] R. D. Blandford e J. P. Ostriker, Astrophys. J., 237, 793 (1980)
- [30] C. J. Cesarsky e P. O Lagege, Proc. XVII ICRC, 9, 250 (1981)

Métodos de Análise Estatística em Astronomia Gama

5.1 Introdução

Dificilmente pode-se identificar fontes pontuais de partículas carregadas, devido à presença de campos magnéticos na Galáxia. Já a radiação gama guarda consigo a informação direcional. Entretanto, como o fluxo de radiação gama é muito menor do que o de partículas carregadas (background de raios cósmicos), são necessárias ferramentas estatísticas apropriadas para a identificação deste fluxo.

Podemos escrever esse fato em termos de H_0 e H_A da seguinte forma :

H_0 : A população em consideração consiste, apenas, de um fluxo isotrópico de raios cósmicos (hipótese nula)

H_A : Existe um sinal genuíno de radiação gama entre o fluxo de raios cósmicos (hipótese alternativa)

Utilizando-se a estatística apropriada pode-se estimar o nível de confiança ρ , para se rejeitar H_0 .

Neste capítulo a atenção será focalizada nos procedimentos para teste das hipóteses propostas. Usualmente estima-se a magnitude do sinal e no caso de fontes periódicas também o ciclo útil de radiação, a forma da curva de luz e a(s) fase(s) do(s) pico(s) de emissão.

- [31] P.G. Sutherland, *Fundamental of Cosmic Physics*, 4, 95 (1979)
- [32] G. Chanmugam e K. Brecher, *Nature*, 313, 767 (1985)
- [33] R.V.E. Lovelace, *Nature*, 262, 649 (1976)
- [34] R.D. Blandford, *Mont. Not. RAS*, 176, 465 (1976)
- [35] P. Goldreich e W. Julian, *Astrophys. J.*, 157, 869 (1969)
- [36] J.E. Gunn e J.P. Ostriker, *P.R.L.*, 22, 728 (1969)
- [37] D. Eichler e J.R. Letaw, *Nature*, 328, 783 (1987)
- [38] O.C. de Jagger, PHD Tesis, Univ. Potchefstroom, Potchefstroom, Africa do Sul (1987)
- [39] V.S. Berezinsky e V.L. Ginzburg, *Nature*, 329, 807 (1987)
- [40] I.Y. Litvinova e D.K. Nadyozhin, *Sov. Astr. Lett.*, 11, 351 (1985)
- [41] V.S. Berezinsky e O.F. Prilutsky, *Astron. Astrop.*, 66, 325 (1978)
- [42] R.J. Protheroe, *Nature*, 320, 135 (1987)
- [43] P.V. Ballmos et al., *Proc. XIX ICRC*, 1, 273, La Jolla (1985)
- [44] J. Grindlay et al., *Astrophys. J. Lett.*, L19, 197 (1975)
- [45] R.W. Clay et al., *Aust. J. Phys.*, 37, 91 (1984)
- [46] T.C. Weekes, *Phys. Reports*, 160 (1988)
- [47] G.G. Fazio et al., *Proc. XI ICRC*, 1, 115 (1969)
- [48] G. Broke et al., *Proc. Work. Tech. UHE Gam. Ray Astron.*, 13 (1985)
- [49] K. Brecher, *Physics Today*, S-11 (1985)
- [50] R.J. Protheroe et al., *Astrophys. J. Lett.*, L47, 280 (1984)
- [51] J-M. Bonnet-Bidaud e G. Chardin, *Physics Reports*, 170, 325 (1988)

5.2 Amostragem aleatória

Inicialmente deve-se verificar se foram eliminados os erros sistemáticos ou instrumentais presentes. Efeitos meteorológicos podem introduzir estruturas temporais periódicas, simulando uma anisotropia. Em termos gerais, estes efeitos estariam violando uma condição de contorno básica, ou seja, que a amostra coletada seja aleatória. Sem essa condição respeitada os dados não podem ser tratados numa maneira direta.

Assim, o ponto de partida na análise dos dados coletados será definida como :

Assumamos que x_1, x_2, \dots, x_n é uma amostra gerada a partir de uma função densidade $f(x)$. Tal amostra será aleatória se e somente se :

1. x_i é independente de x_j para todo $i \neq j$ e $i, j = 1, \dots, n$.
2. E se a função densidade de probabilidade para cada x for a mesma. O que significa que x é identicamente distribuído.

Note-se, que uma amostra randômica não significa que as observações sejam uniformemente distribuídas. Um exemplo onde a condição 1 não é respeitada está quando as amostras se sobrepõem; ou seja, elas não podem ser tratadas independentemente. Violações da condição 2 causam a maioria dos problemas, por exemplo : no caso de comparações de regiões ON-OFF, quando a taxa de contagens pode não diferir na ausência de uma fonte gama; ou no caso de dados periódicos quando da procura por pulsares de período longo, se a escala de tempo das mudanças meteorológicas for menor que o período de teste.

5.3 Análise de dados DC (fontes contínuas)

No caso das fontes DC, é necessário termos dados da fonte em OFF extremamente confiáveis. Danaher et al.^[1] propôs os seguintes critérios para se escolher as regiões OFF :

- i) As regiões supostas OFF devem obedecer a um teste de homogeneidade Poissoniana a um nível de confiança de 99%
- ii) O número de contagens em duas regiões OFF não pode diferir em mais do que 2 sigmas de Poisson
- iii) A intervalos de tempo pequenos (menores que a resolução angular do experimento) a taxa de contagens não pode diferir em mais de 40 da taxa de contagens média

Esses critérios são fortes, e observa-se que uma quantidade muito maior do que a esperada de regiões é rejeitada. Dowthwaite et al.^[2] observou que, definindo as regiões OFF como acima, a distribuição das contagens era essencialmente Poissoniana. Eles, também, desenvolveram um teste baseado na razão de verossemelhança (likelihood test) para comparar duas regiões no céu. Seu método, revisto por Li e Ma^[3], tem tido larga aplicação na astronomia gama.

O teste Gini (Gail e Gastwirth^[4]) pode ser usado para se verificar se as diferenças de tempo de chegada em cada região OFF são distribuídas exponencialmente. A grande vantagem deste teste é que ele é distribuído normalmente para amostras tão pequenas quanto 10. A estatística de Gini é usada para se testar se os dados da região OFF são distribuídos segundo uma estatística de Poisson. O teste proposto por Dowthwaite et al.^[2] poderia ser usado para comparar as taxas de contagem entre duas regiões OFF. Se as contagens dentro de cada uma das regiões OFF puderem ser consideradas identicamente distribuídas, através dos testes propostos, elas poderão ser usados para se testar a presença de um sinal em gamas através do método de Dowthwaite et al.^[2]. Estes dois testes serão discutidos a seguir.

5.3.1 O teste Gini

O teste Gini é usado para se testar a exponencialidade de uma determinada amostra^[4]. Para uma discussão rigorosa sugerimos consultar o artigo original (ref. 4).

Sejam $v_i = t_{i+1} - t_i$ as diferenças de tempo e $v_{(1)}$ a correspondente amostra ordenada, ou seja, $v_{(1)} < v_{(2)} < \dots < v_{(n)}$. Se v_i for distribuída de forma exponencial então a seguinte estatística (Gini) será válida,

$$G = \frac{1}{\sqrt{g_n}} [12(n-1)]^{1/2} \quad (5.1)$$

a qual é distribuída normalmente.

Sendo que a expressão para os coeficientes será dada por,

$$g_n = \left[\sum_{i=1}^{n-1} i(n-i) (v_{(i+1)} - v_{(i)}) \right] / \left[(n-1) \sum_{i=1}^n v_i \right] \quad (5.2)$$

O ponto importante é que a distribuição G continua válida para amostras tão pequenas^[4] quanto 10. O valor de G nos fornece o número de desvios padrão em que a amostra sob análise difere de uma distribuição exponencial. De forma que a exponencialidade pode ser rejeitada para grandes valores de G. Por exemplo, para $|G| \geq 1.96$, a rejeição seria dada com um nível de significância de 5%. Outro ponto importante está em que com esse teste não há a necessidade de se agrupar os dados em intervalos, o que é extremamente útil pois não se sabe a priori em que escala temporal algum desvio da exponencialidade pode ocorrer.

5.3.2 O teste de Dowthwaite^[2,5]

Consideremos, agora, um conjunto típico de medidas; onde um determinado conjunto t_1, \dots, t_n de tempos de chegada foi observado da direção em que a fonte está ON. No caso de uma amostra verdadeiramente aleatória pode-se assumir que as diferenças de tempo :

$$v_i = t_{i+1} - t_i$$

são distribuídas exponencialmente, ou seja, $v_i = \lambda e^{-\lambda v}$.

As hipóteses a serem testadas no caso de um excesso de contagens λ , se o nível de background λ_0 for conhecido, são

$$\begin{aligned} H_0 &: \lambda = \lambda_0 \\ H_A &: \lambda > \lambda_0 \end{aligned}$$

Como (5.3) pertence à classe das funções exponenciais pode-se mostrar, pelo Lema de Neyman Pearson^[6], que o estimador mais correto para se testar a validade de H_0 ou H_A é a taxa λ_{on} de contagens da fonte em ON, a qual satisfaz,

$$\lambda_{on} = n/t_{on} > C \quad (5.4)$$

onde n é o número de observações dentro do intervalo de tempo t_{on} em que a fonte está ON. A probabilidade de se rejeitar H_0 sendo H_0 verdadeira, é um dado α :

$$\Pr(\lambda_{on} > C | H_0) = \alpha$$

α é chamado nível de significância, geralmente entre 1 e 5%. Se H_A for verdadeira, então $(1-\alpha)$ que é a probabilidade de identificação da fonte se ela estiver realmente presente, será

$$\Pr(\lambda_{on} > C | H_A) = 1 - \alpha$$

Após decidir-se qual o valor de α que será adotado calcula-se o valor de C . Como v é distribuída de forma exponencial com parâmetro λ_0 (sob H_0), então: $n = \lambda_{on} t_{on}$ será distribuída seguindo Poisson com parâmetro $n_0 = \lambda_0 t_{on}$. Ou seja, a probabilidade de se obter n contagens durante o intervalo de tempo t_{on} será,

$$\Pr(n; n_0) = n_0^n \exp(-n_0) / n!$$

de modo que a probabilidade de se rejeitar H_0 erroneamente será,

$$\Pr(\lambda_{on} > C/H_0) = \Pr(n > n_c/H_0) = \sum_{n=n_c+1}^{\infty} n_0^n \exp(-n_0) / n! = \alpha$$

Os valores críticos n_c e $C = n_c/t_{on}$ podem ser determinados da equação acima. Se $n_0 > 100$, temos que n será distribuído de forma aproximadamente normal.

$$n \approx N(n_0, \sqrt{n_0})$$

e o número de desvios padrão de n sobre o nível de background n_0 será,

$$S_0 = (n - n_0) / \sqrt{n_0} \quad (5.5)$$

que também seguirá uma distribuição normal $N(0,1)$.

Contudo, (5.5) não pode ser utilizada pois n_0 (ou λ_0) não é conhecido efetivamente. O melhor que se pode fazer é estimar n_0 usando $\lambda_{off} = n_0/t_{off}$. A menos que o erro em λ_{off} seja muito pequeno ou que $n_0 > 100$, é errado calcular S_0 através de (5.5). Dowthwaite et al.^[2] desenvolveram uma estatística para calcular a significância de um sinal se λ_0 puder ser estimado. Li e Ma^[5] deram um tratamento teórico extenso a esse trabalho mostrando sua validade por intermédio de simulações. O procedimento pode ser resumido como segue.

Seja $a = t_{on}/t_{off}$ a fração do tempo da fonte em ON em relação ao tempo da fonte em OFF. Sejam, ainda, n_{on} e n_{off} o número de eventos para a fonte em ON e OFF, respectivamente. De modo que o número total de eventos é $n = n_{on} + n_{off}$.

Sendo n_γ o excesso de contagens na região ON as hipóteses a serem testadas são : i) $H_0: n_\gamma = 0$ e ii) $H_A: n_\gamma > 0$.

A máxima verossemelhança estimada de n_γ e o número esperado

de contagens da fonte em ON n_b , sob H_0 e H_A , serão.

$$H_0 : n_\gamma = 0 \quad n_b = an/(1+a)$$

$$H_A : n_\gamma = n_{on} + an_{off} > 0 \quad n_b = an_{off}$$

Li e Ma^[5], então, formaram uma estatística de razão de verossimilhança, qual seja

$$S_1^2 = -2 \left\{ n_{on} \ln \left[\frac{an}{n_{on}(1+a)} \right] + n_{off} \ln \left[\frac{n}{n_{off}(1+a)} \right] \right\}$$

que é distribuída segundo χ^2 com um grau de liberdade sob H_0 . Para $n_\gamma > 0$ tem-se que S_1 é distribuída de acordo o lado positivo de uma distribuição normal $N(0,1)$. Esse método é válido na comparação de regiões ON com OFF, não podendo ser aplicado na comparação de duas regiões OFF para se estabelecer a alcateciedade das mesmas, o que pode ser feito através do teste Gini discutido anteriormente.

5.4 Procura de fontes pulsadas

A necessidade básica para uma análise de periodicidade é se ter no experimento cujos dados estão sob análise um sistema de medidas de tempo confiável, de forma que os erros possíveis sejam menores do que os períodos que se deseja analisar. Se a fonte é observada na região de energia acima de TeV é fundamental analisar se existem medidas na região de energias mais baixas, onde a fonte teria *a priori* uma luminosidade maior de forma que os parâmetros periódicos pudessem ser melhor avaliados. Com isso em mãos, pode-se construir a curva de luz da fonte para a região de energias altas e analisar-se a sua uniformidade.

Infelizmente, não há nenhum conjunto de procedimentos bem estabelecido para a análise desses dados de alta energia, devido às incertezas nas curvas de luz nas regiões de energias mais baixas e à baixa razão sinal/ruído associada.

Um dos métodos clássicos que já vem há vários anos sendo utilizado pelos astrônomos foi desenvolvido por Scargle^[6], posteriormente revisto por Horne e Baliunas^[7], que desenvolveu uma técnica para detecção da presença e significância de um período qualquer dentro de um conjunto de dados temporais cujo intervalo de amostragem não esteja definido. Este método será descrito a seguir.

5.4.1 Método de análise para uma série temporal espaçada de maneira não uniforme

A maioria dos processos astronômicos são periódicos e até o presente a melhor maneira de se descrever tais periodicidades é através da análise de Fourier. Por questões basicamente experimentais, os dados analisados estão espaçados de maneira não uniforme no tempo e contém uma grande quantidade de ruído aleatório e, em alguns casos, também não aleatório. Para uma série temporal $X(t_i)$, onde $i = 1, 2, \dots, N_o$, o periodograma que indicará a frequência característica como uma função da frequência ω é definido por Scargle^[6] como

$$P_x(\omega) = (1/2) \left[\frac{\left(\sum_j^N X(t_j) \cos\omega(t_j - \tau) \right)^2}{\sum_j^N \cos^2\omega(t_j - \tau)} + \frac{\left(\sum_j^N X(t_j) \sin\omega(t_j - \tau) \right)^2}{\sum_j^N \sin^2\omega(t_j - \tau)} \right] \quad (5.6)$$

onde τ é definido pela equação

$$\tan(2\omega\tau) = \left(\sum_i^N \sin 2\omega t_i \right) / \left(\sum_i^N \cos 2\omega t_i \right) \quad (5.7)$$

Quando $P_x(\omega)$ é definido desta maneira ele possui várias propriedades que a análise de Fourier usual não tem. Primeiramente, a inclusão dos termos τ faz com que o periodograma seja invariante a um deslocamento na origem dos tempos. Em segundo lugar, esta forma torna a análise por periodograma exatamente equivalente a um ajuste por mínimos quadrados de senóides ao conjunto de dados. E, o mais importante, $P_x(\omega)$ é definido de forma que caso $X(t_j)$ seja puramente ruído então $P_x(\omega)$ seguirá uma distribuição de probabilidades exponencial. Esta distribuição exponencial fornece uma estimativa conveniente da probabilidade que um dado sinal seja verdadeiro ou resultado de um ruído distribuído aleatoriamente.

O fator de normalização para $P_x(\omega)$ é a variância total dos dados. Seja a função $P_x(\omega)$ reescrita na forma

$$P_x(\omega) = (1/2) [C^2(\omega) + S^2(\omega)] \quad (5.8)$$

onde

$$C(\omega) = A \sum_j X(t_j) \cos\omega(t_j - \tau) \quad (5.9)$$

$$S(\omega) = B \sum_j X(t_j) \sin\omega(t_j - \tau) \quad (5.10)$$

$$A(\omega) = [\sum_j \cos^2\omega(t_j - \tau)]^{-1/2} \quad (5.11)$$

$$B(\omega) = [\sum_j \sin^2\omega(t_j - \tau)]^{-1/2} \quad (5.12)$$

Agora, se assumirmos que $X(t)$ é um ruído que segue uma distribuição Gaussiana com média zero e variância σ_0^2 , poderemos escrever a função distribuição como sendo

$$n(X, 0, \sigma_0^2) = \frac{1}{\sigma_0 \sqrt{2\pi}} e^{-X^2/2\sigma_0^2}$$

A função $C(\omega)$ é uma combinação linear de variáveis aleatórias distribuídas normalmente, ou seja ela também é uma variável aleatória distribuída normalmente. A média de C é zero, $\langle C(\omega) \rangle = 0$, e

$$\langle C(\omega) \rangle = \sigma_C^2 = A^2 \sigma_0^2 \sum_j \cos^2 \omega(t_j - \tau) = \sigma_0^2 \quad (5.13)$$

De maneira similar, $S(\omega)$ é uma função aleatória distribuída normalmente com média zero, $\langle S \rangle = 0$, assim

$$\sigma_S^2 = \langle S^2 \rangle = B^2 \sigma_0^2 \sum_j \sin^2 \omega(t_j - \tau) = \sigma_0^2 = \sigma_C^2$$

$C(\omega)$ e $S(\omega)$ serão distribuições normais sómente se $X(t)$ for normalmente distribuída.

Com essas hipóteses pode-se mostrar que as funções distribuição para $C^2(\omega)$ e $S^2(\omega)$ tem funções gama de densidades idênticas da forma

$$\Gamma(X; \alpha=1/2, \sigma) = \frac{1}{\sigma \sqrt{2\pi} X} e^{-X/2\sigma^2} \quad (2.14)$$

$P_x(\omega)$ é a soma dessas duas funções com as distribuições gama divididas por 2), de modo que ela terá uma função distribuição⁽⁸⁾ do tipo

$$\Gamma(z; \alpha_C + \alpha_S = 1, \sigma) = \frac{1}{\sigma^2} e^{-z/\sigma^2} \quad (2.15)$$

Assim, sómente quando o periodograma for normalizado pela variância total,

$$P_N(\omega) = P_x(\omega)/\sigma^2 \quad (2.16)$$

ele terá uma distribuição de probabilidades exponencial. Somente a normalização pela variância total dos dados resultará no comportamento estatístico correto. Qualquer outra normalização não produzirá a distribuição exponencial desejada.

A distribuição e^{-x} significa que para qualquer frequência ω_0 a probabilidade de que $P_N(\omega_0)$ seja um dado valor z ou maior é $\Pr(P_N(\omega_0) > z) = e^{-z}$. Suponhamos que z seja o pico mais alto num periodograma que vasculhou N_i frequências independentes. A probabilidade de que cada frequência independente seja menor do que z é $1-e^{-z}$, de modo que a probabilidade de que todas as frequências sejam menores do que z é $(1-e^{-z})^{N_i}$. Assim, a probabilidade de que algum pico seja de altura z ou maior é a probabilidade de alarme falso $F=1-(1-e^{-z})^{N_i}$, segundo Scargle^[6]. A probabilidade de alarme falso nos diz qual a chance de que um pico de altura z ou maior ocorra, assumindo-se que os dados são puramente ruído. Ou seja, $1-F$ é a probabilidade de que os dados contenham um sinal. Note-se, contudo, que qualquer outra normalização que não a pela variância total destruirá a definição de probabilidade de alarme falso dada acima.

Ocasionalmente mais do que um pico com altura significante pode aparecer num periodograma. Eles podem ser causados pela presença de mais do que um sinal periódico nos dados. Por outro lado, um sinal verdadeiro a uma frequência é ω_0 pode causar picos no periodograma em outras frequências que não ω_0 por causa do tamanho finito da janela espectral e pelas irregularidades no espaçamento dos dados. Um método para se determinar quantos picos com alturas significativas na distribuição de probabilidade de alarme falso são reais fisicamente é subtrair dos dados uma senóide com frequência ω_0 , correspondendo ao pico mais significativo, e então recalcular o periodograma^[9].

5.5 Referências do capítulo 5

- [1] S. Danaher et al., Proc. XVII ICRC, 1, 34 (1981)
- [2] J. C. Dowthwaite et al., Nature, 309, 691 (1984)
- [3] T. P. Li e Y. Q. Ma, Astrophys. J., 272, 317 (1983)
- [4] M. H. Gail e J. L. Gastwirth, J. Roy. Sta. B, 40(3), 350 (1978)
- [5] P. G. Hoel, *Introduction to Mathematical Statistics*, N.Y. (1948)
- [6] J. D. Scargle, Astrophys. J., 263, 835 (1982)
- [7] J. H. Horne e S. L. Baliunas, Astrophys. J. (1986)
- [8] G. Kovacs, Astr. Space Sci., 78, 175 (1981)
- [9] S. Ferraz-Mello, Astron. J., 86, 619 (1981)

Capítulo 6

Análise dos dados com direção de chegada

6.1 Introdução

Neste capítulo serão analisados os dados coletados pelo detetor de Chacaltaya entre agosto de 1987 e agosto de 1988; período em que, após modificações na eletrônica, o detetor registrou as direções de chegada dos eventos individuais.

Essas informações foram obtidas através do uso da técnica de tempo de vôo. A precisão nas medidas de tempo é determinada pela comparação dos atrasos medidos em dois lados paralelos do detector; ou seja,

$$\Delta = (t_a - t_b) - (t_c - t_d)$$

O desvio quadrático médio obtido é da ordem de 7ns, o qual é essencialmente devido à espessura da frente do chuveiro. O erro instrumental está em torno de 1ns. Desta forma, temos uma incerteza angular da ordem de $\delta\Omega = 0.1\text{sr}$, sempre supondo a frente do chuveiro plana, na direção vertical e $\delta\Omega = 0.38\text{sr}$, por exemplo, em $\theta = 54^\circ$ (o ângulo médio de observação de SN1987A, de Chacaltaya).

Entre outros, serão analisados aqui os dados das direções de SN1987A, da rádio-galáxia Centaurus A, de PSR0833-45 (pulsar de Vela) e do Centro Galáctico; objetos que comprovadamente possuem uma contrapartida em gamas para energias mais baixas, como discutido no capítulo 4.

6.2 Procura de fontes gama no hemisfério sul

6.2.1 A supernova SN1987A

Devido à sua distância (52Kpc), as medidas estão limitadas às energias mais altas, devido à absorção de gamas pela radiação de 3K de corpo negro no espaço intergaláctico. Para um espectro fonte tipo E_γ^{-2} esse efeito significaria uma redução no fluxo de gamas para 60% a uma energia limiar de $E_\gamma = 100\text{TeV}$ e para 30% para uma energia em torno de 200TeV, para energias mais altas a absorção tornar-se-ia muito significativa impedindo possíveis observações.

Os dados analisados foram coletados entre 22 de agosto de 1987 e 29 de maio de 1988. O número de dias totais de observação é 95, o que corresponde a 302 horas de medidas.

A distribuição dos excessos $(\text{ON}-\langle\text{OFF}\rangle)/\sigma$, sendo $\sigma=\sqrt{\text{ON}}$ o desvio Poissoniano, para os dias individuais é mostrada na figura 6.1 e concorda com uma distribuição de origem puramente estatística. Isto confirma a estabilidade do experimento e a ausência de excessos diários a um nível de $J_\gamma(\geq 100\text{TeV}) < 4.7 \times 10^{-10}$ fotons/cm²s. Para o conjunto total de medidas, o número total de contagens da fonte em ON é 77854 enquanto que a média das contagens da fonte em OFF é 77793, o que (através do que foi discutido no capítulo anterior) nos fornece um excesso absoluto de $\epsilon = \text{ON} - \langle\text{OFF}\rangle = 61 \pm 342$. Utilizando-se a expressão 2.19 podemos calcular o limite superior para o fluxo observado como sendo

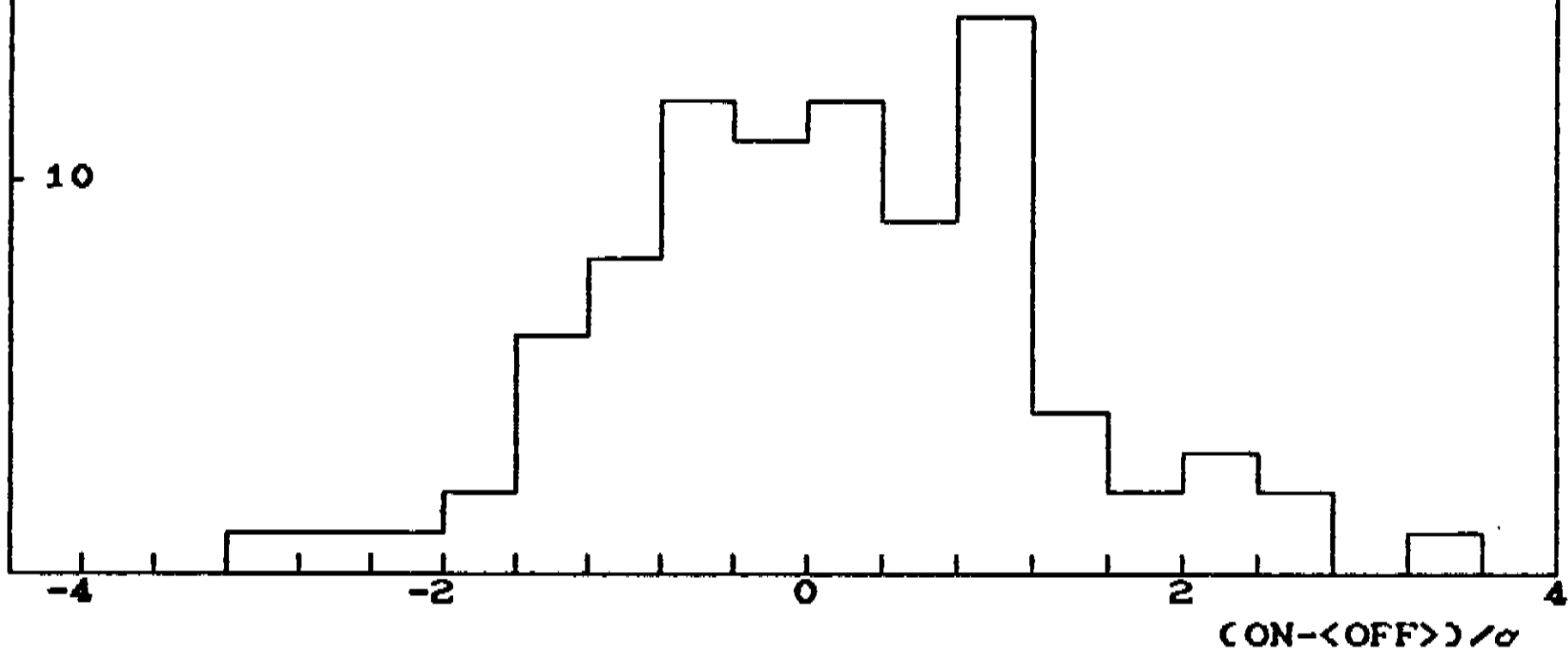
$$J_\gamma(\geq E_\gamma) < 4 \times 10^{-11} \text{ fotons/cm}^2\text{s}$$

onde assumimos $E_\gamma = 100\text{TeV}$. Os excessos mensais podem ser vistos na figura 6.2. O maior excesso ocorre em janeiro de 1988, o que corresponde ao atraso esperado como discutido no capítulo 4; todavia a significância do efeito é 1.4σ o que não representa um sinal estatisticamente significativo.

N (DIAS)

20

SN1987A



(ON-OFF)/ON

SN1987A

$\alpha = 84$

$\delta = -69$

50

0

-50

08 09 10 11 12 01 02 03 04 05 06 07 08
1987 1988

Figura 6.2 : Distribuição dos excessos mensais

6.2.2 LMC X-4

Novamente, devido à sua grande distância, os dados estão limitados para as energias mais altas (ao redor de 100 TeV). O número total de dias de observação é 91, sendo que a fonte foi vista 4 h/dia o que significa um total de 364 horas, com uma incerteza angular de 0.36sr. Para o conjunto total de medidas foi observado um excesso de

$$e = \text{ON} - \langle \text{OFF} \rangle = 29 \pm 364$$

Desta forma, utilizando a expressão 2.19

$$\phi_{\min} = \Omega K \sigma_{\bullet} / \epsilon A_{\text{eff}} T$$

teremos que

$$\phi_{\min} (\gamma) < 1.44 \sigma_{\bullet} / \epsilon A_{\text{eff}} T$$

onde utilizamos $k=4$. Desta forma o limite superior para o fluxo de gama será de 3.2×10^{-10} fotons/cm²s. Na figura 6.3 podemos ver a distribuição dos excessos ($\text{ON}-\langle \text{OFF} \rangle \rangle / \text{ON}$) mensais. É interessante notar que o maior excesso também verifica-se no mês de janeiro de 1988.

6.2.3 Centro Galáctico

O conjunto total de medidas cobre 94 dias. A fonte foi observada em média 10 horas/dia, o que significa um total de 940 horas de observação. Foi verificado um excesso de

$$e = 329 \pm 736$$

sendo o limite superior para o fluxo de gama

$$\phi_{\min} (\gamma) < 1.5 \times 10^{-10} \text{ fotons/cm}^2 \text{s}$$

(CON-OFF)/ON

LMC-X4

$\alpha = 83$

$\delta = -66$

50

0

-50

08 09 10 11 12 01 02 03 04 05 06 07 08
1987 | 1988

Figura 6.3 : Distribuição dos excessos mensais

que foi calculado utilizando a expressão 2.19, só que com $\Omega = 0.17$. Na figura 6.4 pode ser vista a distribuição dos excessos (ON - $\langle \text{OFF} \rangle \rangle / \text{ON}$ mensais.

6.2.4 Vela SNR (PSR0833-45)

Neste caso o número total de horas de observação foi 883, em um total de 92 dias de medidas, sendo a fonte observada 9.6 h/dia. Verifica-se um excesso de

$$e = 331 \pm 388$$

Da mesma forma que nos itens anteriores o limite superior para o fluxo de gamas foi calculado utilizando-se a expressão 2.19, de onde obtemos

$$\phi_{\min}(\gamma) < 1.9 \times 10^{-10} \text{ fotons/cm}^2\text{s}$$

onde consideramos $\Omega = 0.25$, como a resolução angular do detector na direção de PSR0833-45. Na figuras 6.5 podemos ver a distribuição dos excessos mensais.

6.2.5 Centaurus A

Os dados cobrem 93 dias de medidas, nos quais a fonte foi observada 6.9 h/dia, num total de 642 horas de medidas. A resolução angular do experimento na direção da fonte é de 0.24sr. Verificou-se um excesso de

$$e = 357 \pm 500$$

que não é estatisticamente significativo. Calculando-se o fluxo de gamas obtemos

$$\phi(\gamma) < 2.2 \times 10^{-10} \text{ fotons/cm}^2\text{s}$$

(ON-OFF)/ON

Centro Galáctico

$\alpha = 265$

$\delta = -29$

50

0

-50

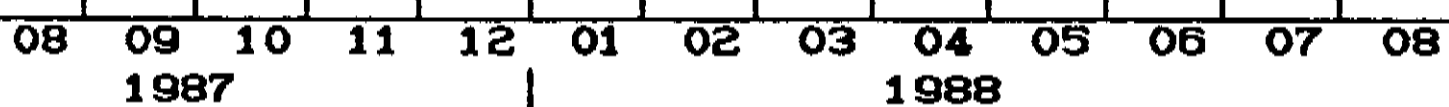


Figura 6.4 : Distribuição dos excessos mensais

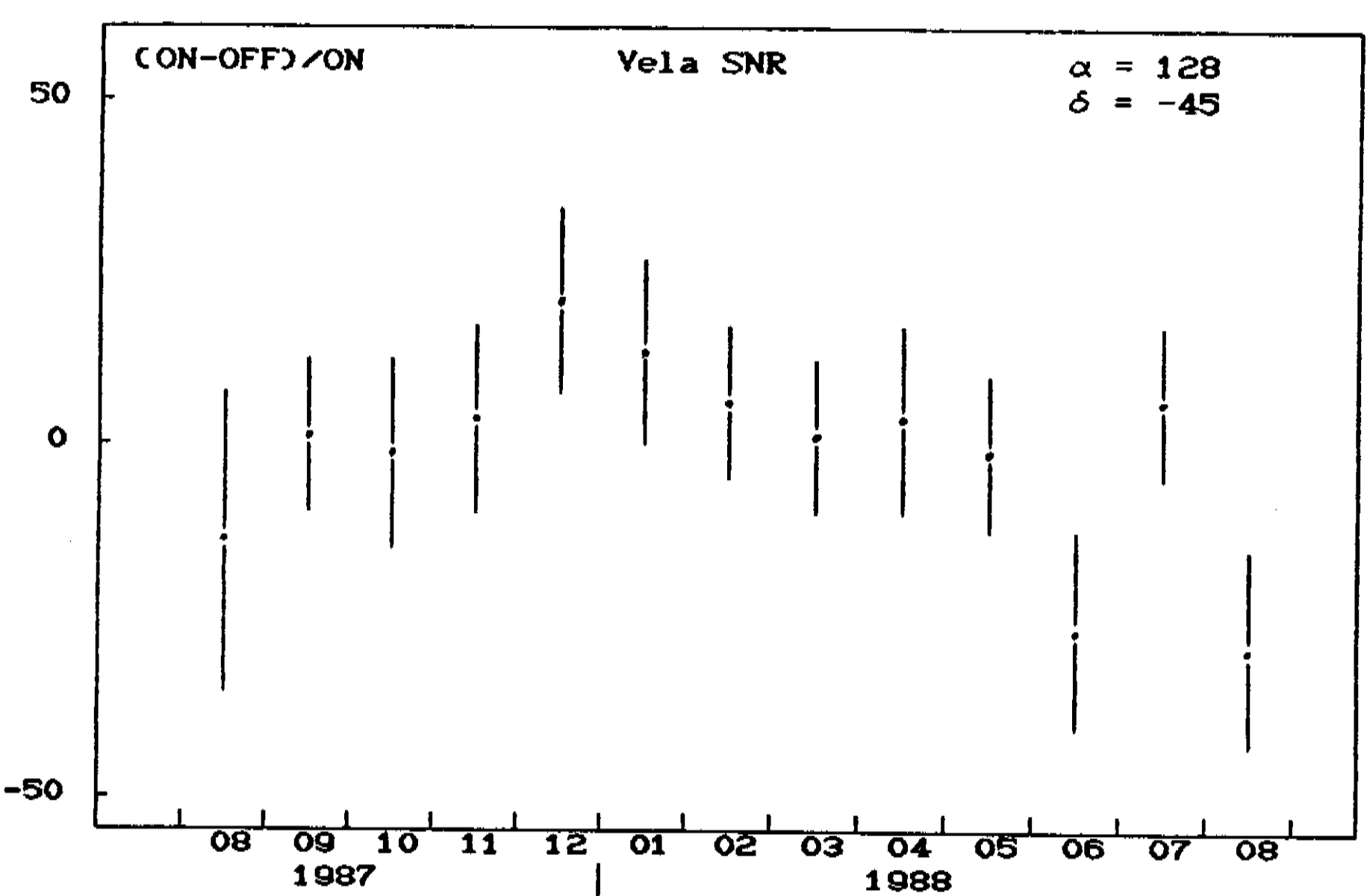


Figura 6.5 : Distribuição dos excessos mensais

a um nível de confiança de 95%. Na figura 6.6 temos a distribuição dos excessos mensais.

6.2.6 Vela X-1

A fonte foi observada durante 880 horas, num total de 92 dias de medidas. A resolução angular do experimento na sua direção é de 0.25sr. Considerando-se o conjunto total de medidas observamos um excesso de

$$e = 1655 \pm 566$$

o que nos dá um sinal estatisticamente significativo (2.9 σ). Calculando-se o fluxo de gamas obtemos

$$\phi \langle E \rangle \approx 2.0 \times 10^{-10} \text{ fotons/cm}^2\text{s}$$

a um nível de 95% de confiança. Na figura 6.7 podemos ver a distribuição dos excessos mensais.

6.2.7 Scorpio X-1

Esta fonte, cuja direção identifica-se com a do centro galáctico, foi observada em média 10h/dia, num total de 940 horas em 94 dias completos de medidas. O excesso observado foi

$$e = -942 \pm 753$$

que não é estatisticamente significativo. O limite superior para o fluxo de gamas foi estimado, através do mesmo procedimento utilizado para as fontes já estudadas, em

$$\phi \langle E \rangle < 3.1 \times 10^{-10} \text{ fotons/cm}^2\text{s}$$

com $E = 100 \text{ TeV}$. Na figura 6.8 é mostrada a distribuição dos excessos mensais. Note-se que o perfil da distribuição está de

CON-OFF) / ON

Centauro A

$\alpha = 201$
 $\delta = -43$

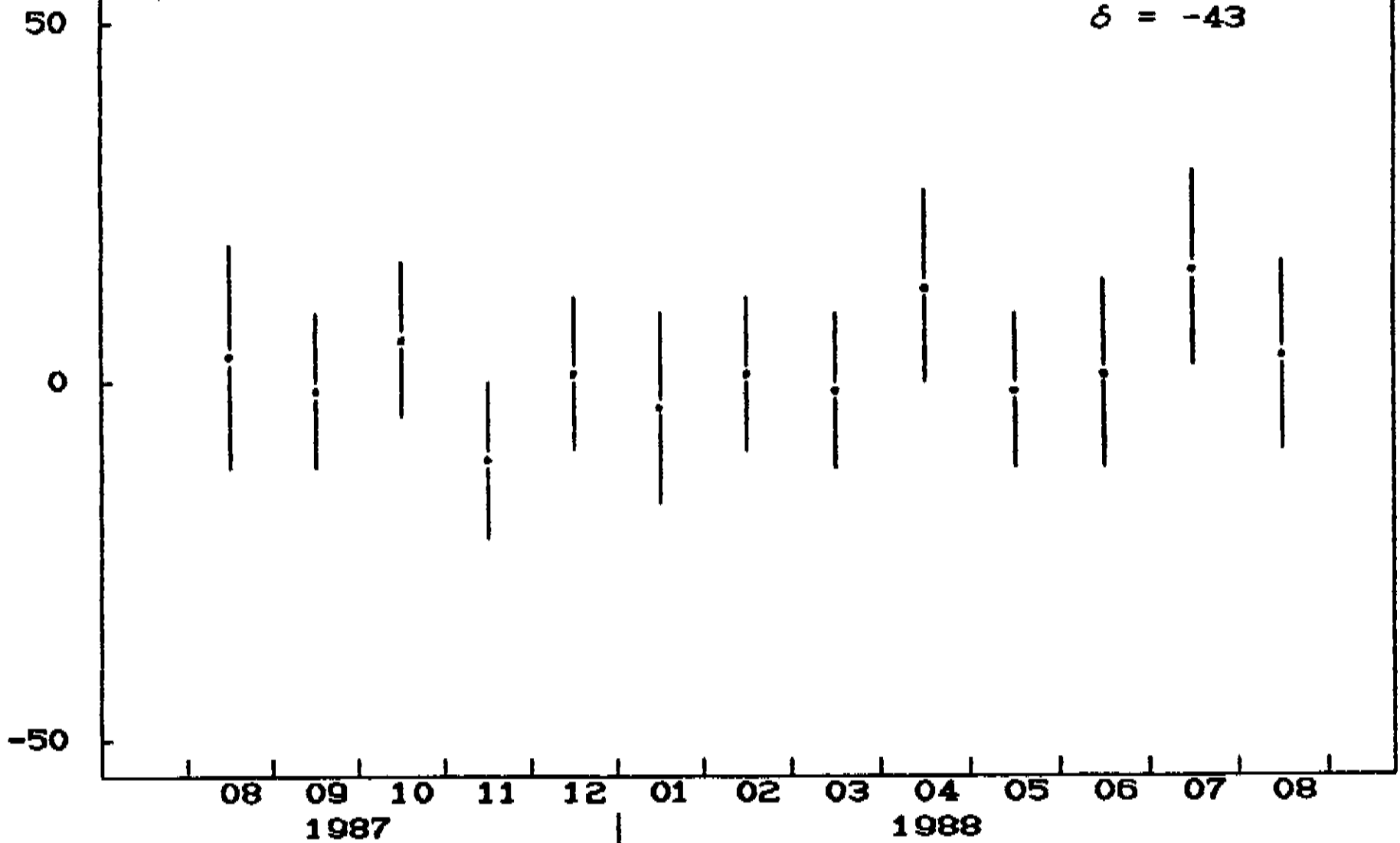


Figura 6.6 : Distribuição dos excessos mensais

CON-OFF/ON

Vela X-1

$\alpha = 135$
 $\delta = -40$

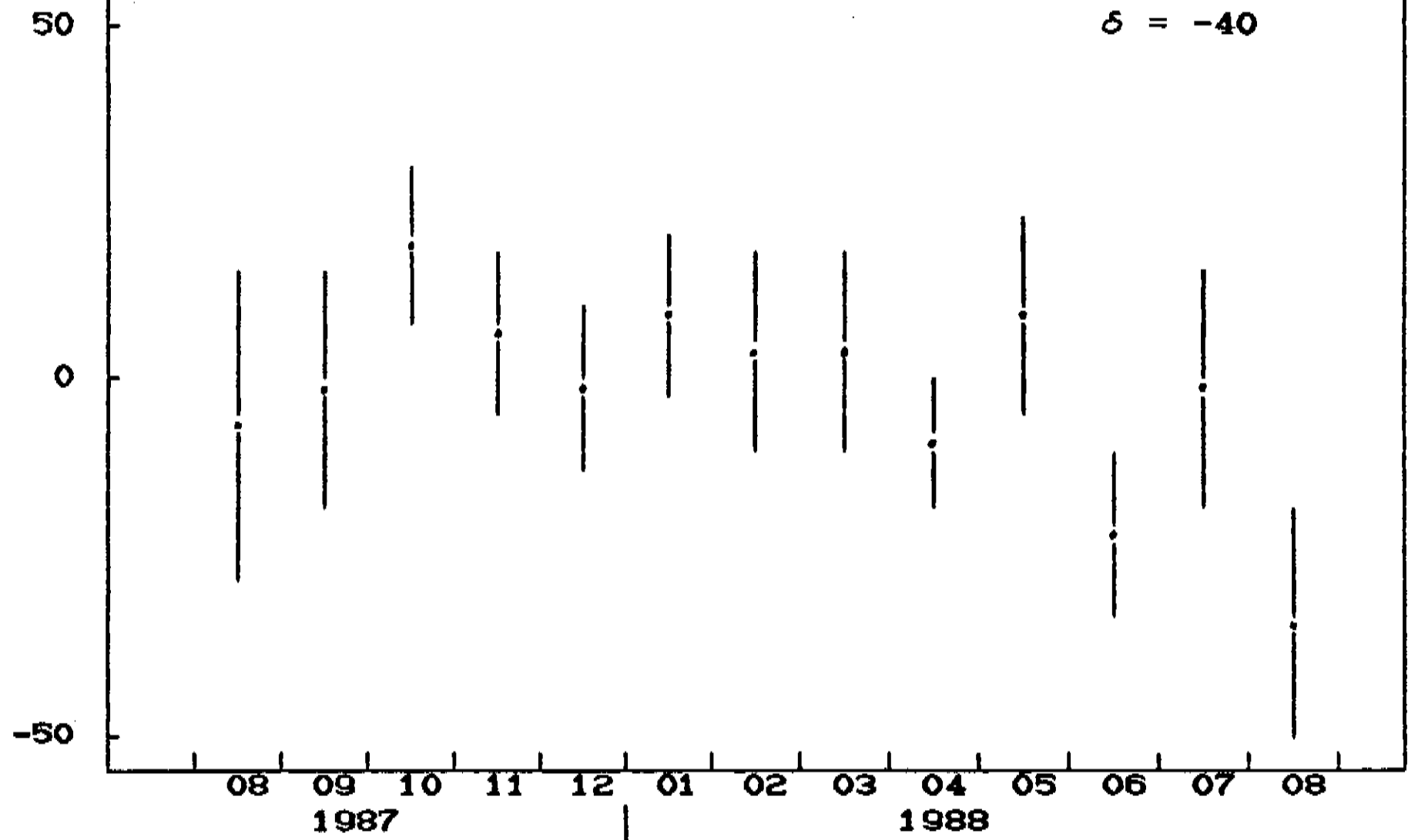


Figura 6.7 : Distribuição dos excessos mensais

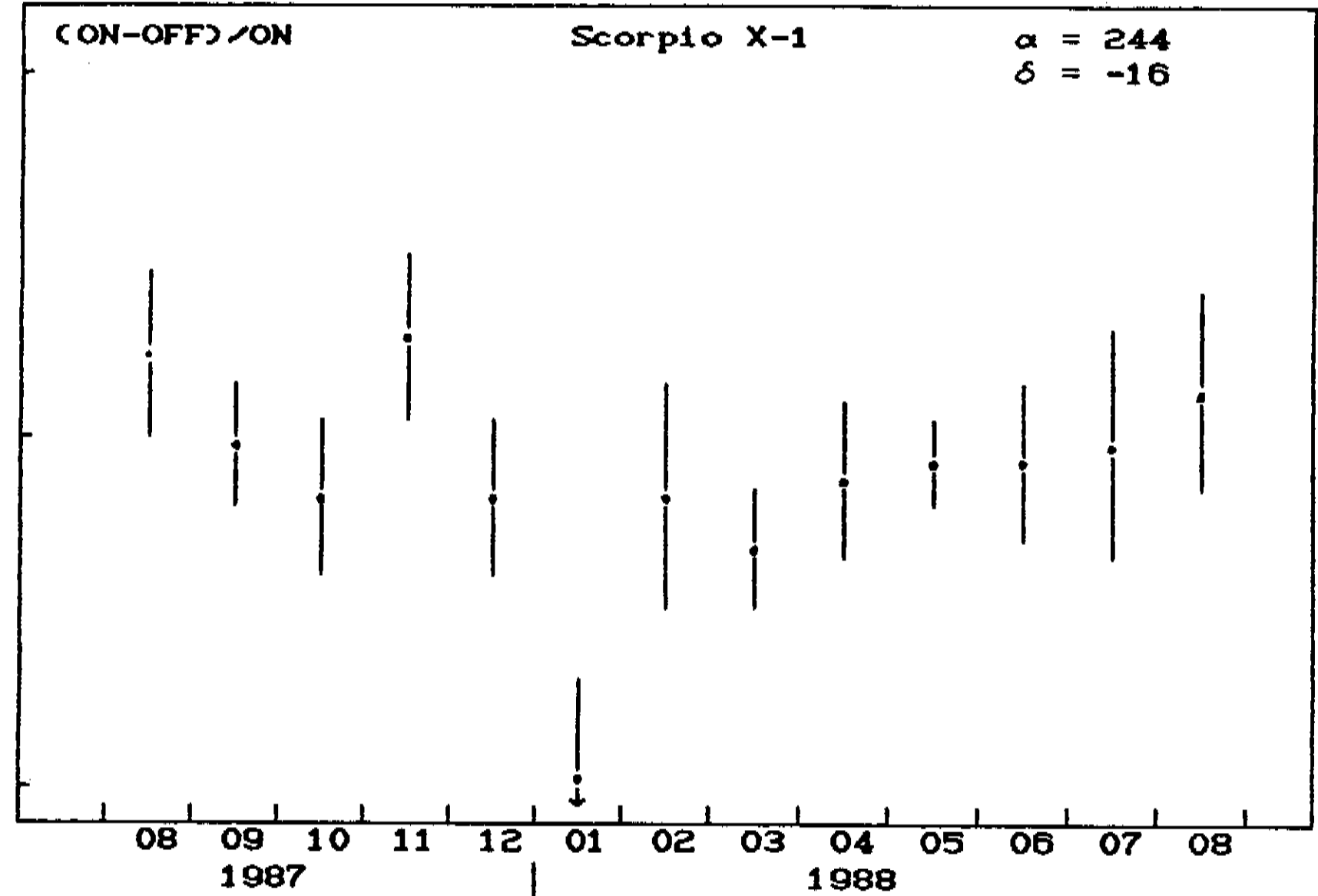


Figura 6.8 : Distribuição dos excessos mensais

acordo com o obtido para o Centro Galáctico, como era esperado.

6.2.8 SS433

Este sistema foi observado durante aproximadamente 830 horas, num total de 92 dias completos de medidas. Considerando-se o conjunto completo de medidas observamos um excesso de

$$e = 194 \pm 707$$

que não é estatisticamente significativo. O limite superior para o fluxo de gamas foi estimado em

$$\phi(E) < 5.8 \times 10^{-10} \text{ fotons/cm}^2\text{s}$$

através da expressão (2.9), onde supomos $E = 100\text{TeV}$ e $k = 4$. Na figura 6.9 podemos ver a distribuição dos excessos mensais.

CON-OFF/ON

SS433

$\alpha = -5$
 $\delta = 288$

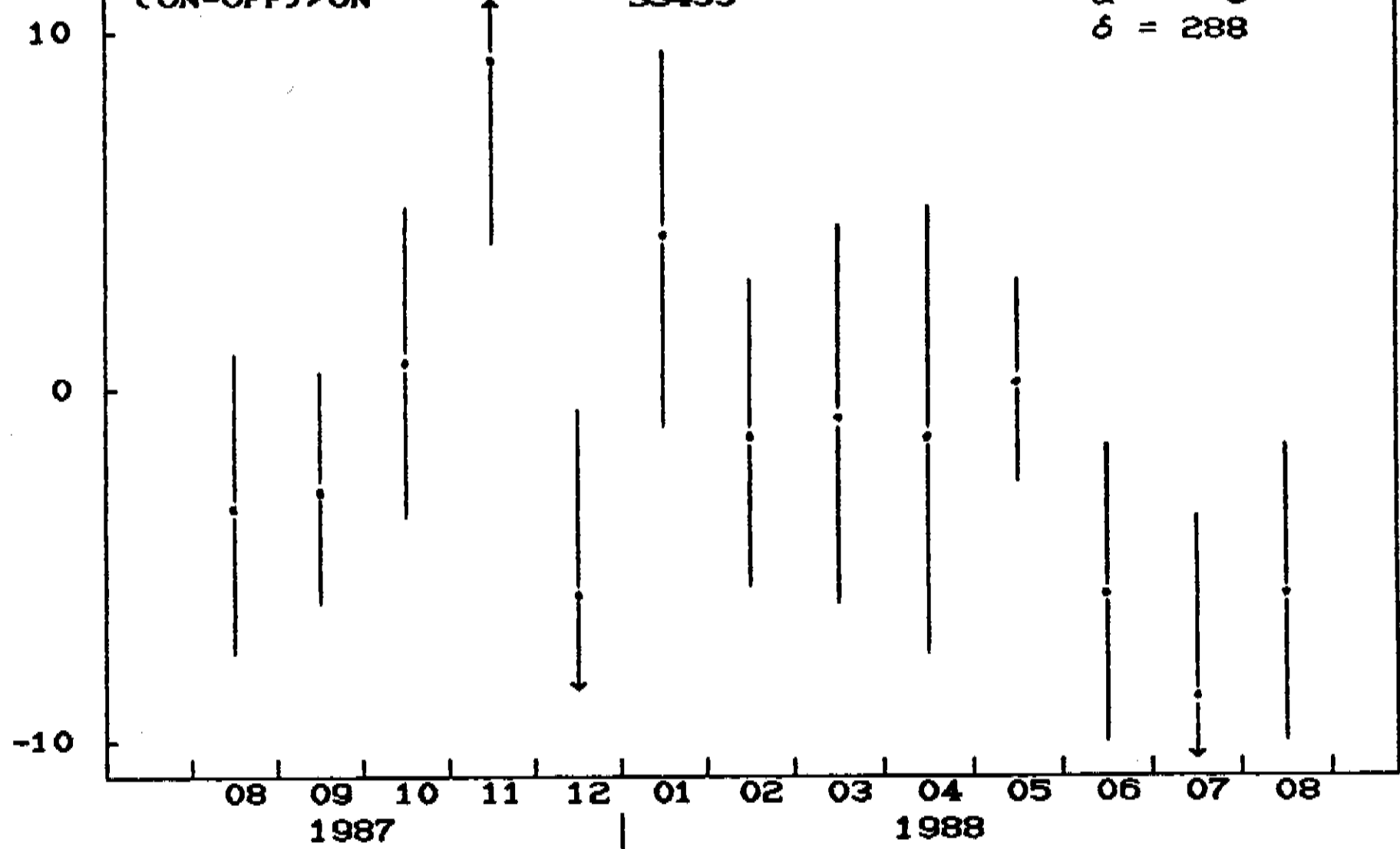


Figura 6.9 : Distribuição dos excessos mensais

6.3 Comentários

Em nenhum dos casos estudados encontrou-se um sinal estatisticamente significativo, a exceção de Vela X-1 com um sinal de 2.9 σ . Os resultados são consistentes entre si. S1987A e LMC X-4 apresentam o mesmo perfil nos excessos mensais, o mesmo acontecendo entre Scorpio X-1 e o Centro Galáctico e entre Vela X-1 e Vela SNR (PSR0833-45); já que suas direções são coincidentes tendo em vista a resolução angular do detector ($\geq 5^\circ$). A principal causa de anomalias, como os excessos negativos que se verificaram em alguns meses (para todas as fontes) deve estar relacionado com a pequena quantidade de eventos. A eficiência de funcionamento do detector foi baixa, da ordem de 25%, e a quantidade de dias de medidas por mês é muito variável, como podemos ver na figura 6.10.

NO. DIAS INTEIROS DE MEDIDAS

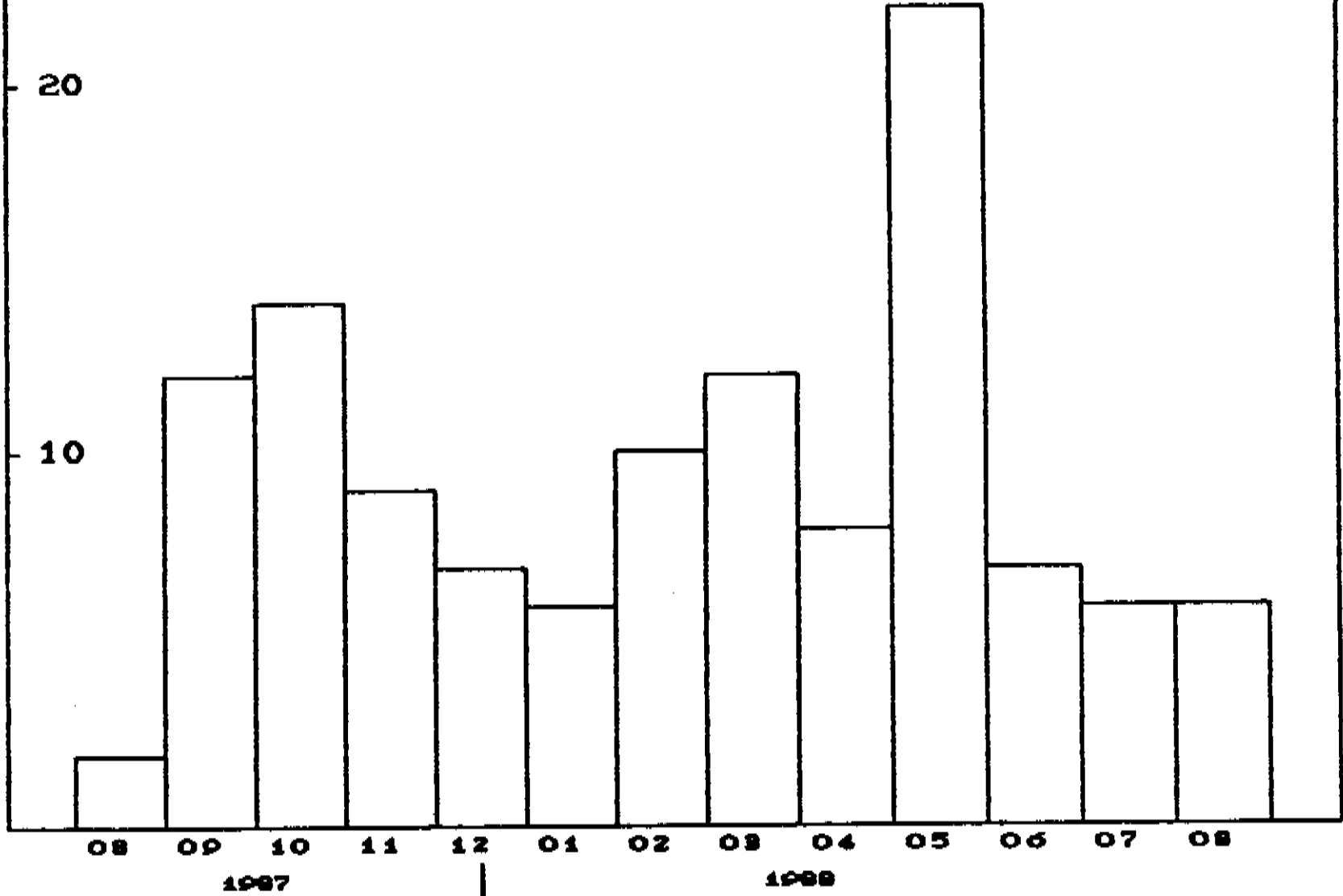


Figura 6.10 : Eficiência mensal de funcionamento do detetor

Conclusões

Os principais objetivos deste trabalho eram o estudo das variações siderais da radiação cósmica e a procura de fontes e de energia acima de 100TeV no hemisferio sul. A primeira parte foi feita utilizando-se dados coletados pelo detetor de Chacaltaya no período compreendido entre 1982/1984 e a segunda parte com dados do mesmo detetor coletados entre agosto de 1987 e agosto de 1988.

1) Estudo das variações siderais da radiação cósmica

Foi identificada uma primeira harmônica em tempo sideral com amplitude de $(0.11 \pm 0.01)\%$ e fase em (0.9 ± 0.5) horas, o que está em concordância com os resultados obtidos por outros grupos. Contudo, existe ainda a presença de modulações em tempo solar que não puderam ser retiradas. A amplitude da primeira harmônica em tempo sideral é um pouco maior que as obtidas pelos outros grupos, o que pode estar relacionado com alguma modulação espúria. Todavia, a amplitude em tempo sideral é mais significativa do que aquelas em tempos solar e antisideral, indicando a presença de um efeito verdadeiro. Na tabela 7.1 podemos ver a comparação entre os nossos resultados e os obtidos pelos outros grupos.

A segunda harmônica medida tem significância comparável com as medidas por outros grupos. Não temos explicação para a fase observada.

2) Procura de fontes gama de alta energia no hemisferio sul

Foram analisadas 8 possíveis fontes : SN1987, LMC X-4, Vela X-1, Vela SNR (PSR0833-45), SS433, Centaurus A, Centro Galáctico e Scorpio X-1. À exceção de Vela X-1, nenhum excesso foi observado quando consideramos o conjunto total dos dados. Os limites superiores para o fluxo de gamas foram calculados para todas as fontes e estão em razoável concordância com os já obtidos por outros grupos. Na tabela 7.2 são apresentados os fluxos

Análise Harmônica	Poatina 42° S	Norikura 36° N	Musala 42° N	Baksan 43° N	Chacaltaya 18° S
n. média	10^{12} eV	$2 \cdot 10^{13}$ eV	$6 \cdot 10^{13}$ eV	10^{13} eV	10^{13} eV
primeira harmônica	(0.05 ± 0.02) t (1.3 ± 1.9) h	(0.051 ± 0.004) t (1.0 ± 0.3) h	(0.07 ± 0.02) t (1.7 ± 1.1) h	(0.057 ± 0.004) t (1.4 ± 0.3) h	(0.105 ± 0.014) t (0.9 ± 0.5) h
segunda harmônica	----- -----	(0.026 ± 0.004) t (5.5 ± 0.3) h	(0.06 ± 0.02) t (5.0 ± 0.7) h	(0.019 ± 0.004) t (6.2 ± 0.4) h	(0.036 ± 0.014) t (10.6 ± 1.5) h

Tabela 7.1 : Comparação dos resultados de análise sideral com os obtidos anteriormente por outros grupos

calculados, juntamente com resultados já obtidos anteriormente por outros grupos.

Dois resultados interessantes devem ser ressaltados : i) na direção de SN1987A foi observado um ligeiro excesso, não significativo, no mês de janeiro de 1988, em concordância com o atraso esperado para a observação de gamas provenientes de uma supernova e ii) a presença de um excesso significativo (2.9 σ) quando da análise do conjunto total de dados da direção Vela X-1. Entretanto, não podem ser excluídos bias instrumentais.

A eficiência de funcionamento do detetor foi muito baixa ($< 25\%$). Isso pode dificultar a detecção de sinais genuinos pois acredita-se que a variabilidade na emissão de gamas dessas fontes é muito grande, oscilando entre períodos de grande e de nenhuma atividade. Além disso, a baixa eficiência do detetor pode introduzir modulações espúrias de origem atmosférica, gerando falsos sinais.

A conclusão mais importante deste trabalho se refere às chamadas fontes pontuais. De fato, pelo que foi exposto, vê-se que dentro da sensibilidade do detetor, não há um sinal contínuo dessas fontes nessa região de energia. A esperada emissão de γ 's pela SN1987A também não foi verificada. Uma eventual extensão da presente análise deve ser a análise da estrutura fina da distribuição temporal dos eventos da direção da fonte, na tentativa de identificar sinais periódicos e correlacioná-los com emissões periódicas observadas em outros comprimentos de onda. Entretanto, a baixa eficiência do detetor introduz bias muito grandes, uma vez que diminui o tempo de observação da fonte.

Os dados analisados aqui serão comparados com os que estão sendo coletados atualmente pelo detetor EASCAMP, em funcionamento no Departamento de Raios Cósmicos e Cronologia. Esse detetor usa técnica semelhante ao de Chacaltaya, mas com uma resolução angular muito superior e uma eficiência acima de 90% .

Fonte	Fluxo($\text{cm}^{-2}\text{s}^{-1}$) (outros)	Energia	Fluxo($\text{cm}^{-2}\text{s}^{-1}$)
			(Chacaltaya) $E = 100\text{TeV}$
SN1987A	4.0×10^{-11}	100TeV	3.6×10^{-11}
LMC X-4	5.0×10^{-15}	10PeV	1.8×10^{-11}
Vela X-1	2.0×10^{-11}	1TeV	1.5×10^{-10}
Vela SNR	7.0×10^{-13}	5TeV	7.8×10^{-11}
Cent. Galác.	7.9×10^{-11}	300GeV	5.3×10^{-11}
Scorpio X-1	2.0×10^{-12}	2TeV	8.5×10^{-11}
Centaurus A	1.0×10^{-14}	1PeV	8.1×10^{-11}
SS433	—	—	3.1×10^{-11}

Tabela 7.2 : Comparação entre os fluxos calculados para as fontes analisadas, com os obtidos anteriormente por outros grupos

Apêndice I : Programas de análise utilizados na primeira fase do experimento

C
C PROGRAMA ANALISE. FOR
C PARA ANALISE HARMONICA INDIVIDUAL OU
C DE MUITOS ARQUIVOS.
C UTILIZA ROTINAS DE SUBANAL. FOR

DIMENSION NK(200, 200)
REAL*B DADO(3500), SK(200, 200), SIK2N(200, 200), AB(200),
IAN(24), ANI(24), FATNOR, BN(24), BNI(24), SIGAN(24), SIGANI(24)
REAL*B LONGIT, HORA, SIGBN(24), SIGBNI(24), HORAS(3500), CG,
ALFZEN, SONDA(3500), AM(200), ALFA(3500)
INTEGER OPCAO, OPCAI, OPCAZ, OPCAS
REAL*B DINT, AI, BI, AO, XME(200), VAR(200)
INTEGER DIA, ANO
BYTE BUFFER, FIL(30)
TYPE *, ' QUAL O TIPO DE ANALISE ? (0/1/2)'
ACCEPT 75, OPCAO
75 FORMAT(I3)
TYPE *, ' QUER LIMPEZA DOS DADOS ? (1/0)'
ACCEPT 75, OPCAI
TYPE *, ' QUER CORRECAO POR P E T ? (1/0)'
ACCEPT 75, OPCAZ
TYPE *, ' QUER ANALISE INDIVIDUAL ? (1/0)'
ACCEPT 75, OPCAS
FATNOR=1100. DO
LONGIT=47. 08DO
CG=11299. 2DO
OPEN(UNIT=7, FILE='ANLTOT. DAT', STATUS='NEW')
OPEN(UNIT=8, FILE='ANLPAR. DAT', STATUS='NEW')
OPEN(UNIT=1, FILE='FONTENF. DAT', STATUS='OLD')
READ(1, 50)NA
50 FORMAT(I5)
DO I=1, NA
 READ(1, 100, END=1)ISIZ, (FIL(K), K=1, ISIZ)
100 FORMAT(0, (ISIZ)A1)
 FIL(ISIZ+1)=0.
 OPEN(UNIT=2, FILE=FIL, STATUS='OLD')
 READ(2, 150)DIA, MES, ANO, HORAI, NTL
150 FORMAT(1X, 3I2, F9. 0, 2X, I5)
READ(2, 200)(HORAS(K1), DADO(K1), SONDA(K1), K1=1, NTL)
200 FORMAT(5(1X, F7. 0, F6. 0, F6. 0))
 DO K1=1, NTL
 HORAS(K1)=HORAS(K1)-1950. DO
 IF(HORAS(K1). LT. 0. DO)THEN
 HORAS(K1)=HORAS(K1)+86400. DO
 ENDIF
 END DO
 IF((OPCAO. EQ. 1), OR, (OPCAO. EQ. 2))THEN
 DO K1=1, NTL
 IF(K1. EQ. 1)GO TO 2
 IF(HORAS(K1). LT. HORAS(K1-1))THEN
 CALL DAY(DIA, MES, ANO, N1, N2, N3)
 DIA=N1
 MES=N2
 ANO=N3
 ENDIF
 HORA=HORAS(K1)
 CALL AR(DIA, MES, ANO, HORA, LONGIT, ALFZEN, CG)

```
        ALFA(K1)=ALFZEN
      END DO
    ENDIF
    IF(OPCAO.EQ.2)CALL ANTI(HORAS,ALFA,NTL)
    CALL DATABS(DADO,NTL)
    IF(OPCA1.EQ.1)CALL LIMP(DADO,NTL)
    CALL NORMA(DADO,FATNDR,NTL)
    IF(OPCA2.EQ.1)CALL CTP(DADO,HORAS,NTL,MES)
    IF(OPCA0.EQ.0)THEN
      DO K1=1,NTL
        ALFA(K1)=HORAS(K1)
      END DO
    ENDIF
    CALL HAR0(ALFA,DADO,1,NTL,24,NK,SK,SIKZN,AB,NEA,AI,DINT)
    IF(OPCA3.EQ.1)THEN
    CALL HAR2(24,NK,SK,SIKZN,NTL,VAR,NEA,TI,AB,FIL,ISIZ,AO,
    IANI,BNI,SIGANI,SIGBNI,XME)
    ENDIF
  END DO
  CALL HAR1(24,NK,SK,SIKZN,NTL,AN,BN,SIGAN,SIGBN,XME,VAR,NA,
  ITI,AB,NEA,AO)
STOP
END
```

C
C AQUI ESTAO CONTIDAS TODAS AS SUBROTINAS
C NECESSARIAS PARA A ANALISE HARMONICA ,
C UTILIZANDO O PROGRAMA ANALISE. FOR

C
C SUBROTINA PARA CALCULO DE TEMPO ANTISIDERAL

C
C SUBROUTINE ANTI(HORAS, ALFA, NTL)

REAL*8 HORAS(3500), DELTA, ALFA(3500)

DO J=1, NTL

DELTA=ALFA(J)-HORAS(J)

IF(DELTA .LT. 0. DO)DELTA=DELTA+86400. DO

ALFA(J)=HORAS(J)-DELTA

IF(ALFA(J) .LT. 0. DO)ALFA(J)=ALFA(J)+86400. DO

END DO

RETURN

END

C
C SUBROTINA PARA CORRECAO POR P E T

C
C SUBROUTINE CTP(AG, ALFA, NTL, MES)

REAL*8 AG(3500), TPT(26), AML(3500), AML1(3500), HPT(26), PRE(26),
1TEMP(26), BT, AP, ALFA1(3500), PRES, TEM, AT, BP

C
IF(MES. EQ. 1)OPEN(UNIT=20, FILE='JAN. CPT', STATUS='OLD')
IF(MES. EQ. 2)OPEN(UNIT=20, FILE='FEV. CPT', STATUS='OLD')
IF(MES. EQ. 3)OPEN(UNIT=20, FILE='MAR. CPT', STATUS='OLD')
IF(MES. EQ. 4)OPEN(UNIT=20, FILE='ABR. CPT', STATUS='OLD')
IF(MES. EQ. 5)OPEN(UNIT=20, FILE='MAI. CPT', STATUS='OLD')
IF(MES. EQ. 6)OPEN(UNIT=20, FILE='JUN. CPT', STATUS='OLD')
IF(MES. EQ. 7)OPEN(UNIT=20, FILE='JUL. CPT', STATUS='OLD')
IF(MES. EQ. 8)OPEN(UNIT=20, FILE='AGO. CPT', STATUS='OLD')
IF(MES. EQ. 9)OPEN(UNIT=20, FILE='SET. CPT', STATUS='OLD')
IF(MES. EQ. 10)OPEN(UNIT=20, FILE='OUT. CPT', STATUS='OLD')
IF(MES. EQ. 11)OPEN(UNIT=20, FILE='NOV. CPT', STATUS='OLD')
IF(MES. EQ. 12)OPEN(UNIT=20, FILE='DEZ. CPT', STATUS='OLD')

C
READ(20, 201)(TPT(L), PRE(L), TEMP(L), L=1, 25)

201 FORMAT(F4. 1, 1X, F6. 2, F6. 2)

C
DO L=1, 25

HPT(L)=TPT(L)*3600. DO

END DO

C
IF(MES. EQ. 1)THEN

MEDIAP=1099. 96DO

MEDIAT=1099. 96DO

AP=3800. 206DO

BP=-6. 608DO

AT=1149. 743DO

BT=-0. 092DO

ENDIF

C
IF(MES. EQ. 2)THEN

MEDIAP=1100. 01DO

MEDIAT=0. DO

AP=2555. 18DO

BP=-3. 561DO

AT=1149. 743DO

BT=0 DO
ENDIF

IF (MES. EQ. 3) THEN
MEDIAP=1099. 63DO
MEDIAT=1099. 63DO
AP=5553. 757DO
BP=-10. 882DO
AT=1115. 617DO
BT=-0. 031DO

ENDIF

IF (MES. EQ. 4) THEN
MEDIAP=1100. 05DO
MEDIAT=1100. 05DO
AP=4284. 189DO
BP=-7. 78DO
AT=1126. 12DO
BT=-0. 05DO

ENDIF

IF (MES. EQ. 5) THEN
MEDIAP=1099. 98DO
MEDIAT=1099. 98DO
AP=5322. 929DO
BP=-10. 33DO
AT=1123. 435DO
BT=-0. 045DO

ENDIF

IF (MES. EQ. 6) THEN
MEDIAP=1100. 08DO
MEDIAT=1100. 08DO
AP=4159. 888DO
BP=-7. 489DO
AT=1135. 038DO
BT=-0. 067DO

ENDIF

IF (MES. EQ. 7) THEN
MEDIAP=1099. 96DO
MEDIAT=1099. 96DO
AP=4549. 135DO
BP=-8. 447DO
AT=1142. 01DO
BT=-0. 081DO

ENDIF

IF (MES. EQ. 8) THEN
MEDIAP=1099. 97DO
MEDIAT=1099. 97DO
AP=5132. 2DO
BP=-9. 858DO
AT=1136. 345DO
BT=-0. 069DO

ENDIF

IF (MES. EQ. 9) THEN
MEDIAP=1100. 05DO
MEDIAT=1100. 05DO
AT=1129. 046DO
BT=-0. 054DO
AP=4787. 887DO
BP=-9. 027DO

ENDIF

```

IF(MES.EQ.10)THEN
    MEDIAP=1099.94D0
    MEDIAT=1099.94D0
    AP=4387.974D0
    BP=-8.053D0
    AT=1159.067D0
    BT=-0.106D0
ENDIF
C
IF(MES.EQ.11)THEN
    MEDIAP=1100.04D0
    MEDIAT=1100.04D0
    AP=5227.338D0
    BP=-10.103D0
    AT=1159.391D0
    BT=-0.112D0
ENDIF
C
IF(MES.EQ.12)THEN
    MEDIAP=1099.99D0
    MEDIAT=0.D0
    AP=5894.503D0
    BP=-11.729D0
    AT=0.D0
    BT=0.D0
ENDIF
C
DO L=1,25
    TI=HPT(L)
    TS=HPT(L+1)
    DO J=1,NTL
        HD=ALFA(J)
        IF(AG(J).EQ.0.D0)GO TO 444
        IF((HD.GT.TI).AND.(HD.LE.TS))THEN
            DELT=HPT(L+1)-HPT(L)
            BETAP=(PRE(L+1)-PRE(L))/DELT
            BETAT=(TEMP(L+1)-TEMP(L))/DELT
            PRES=PRE(L)+BETAP*(ALFA(J)-HPT(L))
            TEM=TEMP(L)+BETAT*(ALFA(J)-HPT(L))
            AG(J)=AG(J)-(AP+BP*PRES-MEDIAP)
            AG(J)=AG(J)-(AT+BT*TEM-MEDIAT)
        ENDIF
    END DO
444
    END DO
    REWIND 20
    CLOSE(20)
    RETURN
    END
C
SUBROUTINE NORMA(AG,FNORM,NL)
REAL*8 AG(3500),FNORM,MEDIA,DIF
MEDIA=0.D0
IO=0
DO 20 I=1,NL
    IF(AG(I).EQ.0.D0)IO=IO+1
    MEDIA=MEDIA+AG(I)
20
CONTINUE
MEDIA=MEDIA/(NL-IO)
DIF=FNORM/MEDIA
DO 30 II=1,NL
    IF(AG(II).EQ.0.D0)GO TO 30
    AG(II)=AG(II)*DIF
30
CONTINUE
RETURN
END

```

SUBROUTINE DAY(DIA, MES, AND, NDIA, NMES, NANO)

INTEGER DIA, MES, AND

IF(MES.LT.7)THEN

 IF((MES.EQ.1).OR.(MES.EQ.3).OR.(MES.EQ.5))THEN

 IF(DIA.EQ.31)THEN

 NDIA=1

 NMES=MES+1

 NANO=AND

 GO TO 2000

 ENDIF

 IF(DIA.EQ.30)THEN

 NDIA=DIA+1

 NMES=MES

 NANO=AND

 GO TO 2000

 ENDIF

 ENDIF

 IF((MES.EQ.2).AND.(DIA.EQ.28))THEN

 AC=AND*.25

 RE=AC-INT(AC)

 IF(RE.EQ.0)THEN

 NDIA=DIA+1

 NMES=MES

 NANO=AND

 GO TO 2000

 ENDIF

 NDIA=1

 NMES=MES+1

 NANO=AND

 GO TO 2000

 ENDIF

 IF((MES.EQ.2).AND.(DIA.EQ.29))THEN

 NDIA=1

 NMES=MES+1

 NANO=AND

 GO TO 2000

 ENDIF

 IF(DIA.EQ.30)THEN

 NDIA=1

 NMES=MES+1

 NANO=AND

 GO TO 2000

 ENDIF

ENDIF

IF((MES.EQ.9).OR.(MES.EQ.11))THEN

 IF(DIA.EQ.30)THEN

 NDIA=1

 NMES=MES+1

 NANO=AND

 GO TO 2000

 ENDIF

ENDIF

IF((MES.EQ.12).AND.(DIA.EQ.31))THEN

 NDIA=1

 NMES=1

 NANO=AND+1

 GO TO 2000

ENDIF

IF((MES.EQ.7).OR.(MES.EQ.8).OR.(MES.EQ.10))THEN

 IF(DIA.EQ.31)THEN

 NDIA=1

 NMES=MES+1

 NANO=AND

 GO TO 2000

 ENDIF

```

      I=NEA
      NOTA=NOTA+1
      NANO=AN0
      NNES=NES
      RETURN
      END

C
      SUBROUTINE HARO(ALFA, AG, NLI, NLS, NI, NK, SK, SIK2N
#, AB, NEA, AI, DINT)
      TOMA A ABCISSA E ORDENADA A SEREM ANALISADOS E ORDENA
      DADOS NOS INTERVALOS , PARA ANALISE
      DIMENSION NK(200, 200)
      REAL*8 TK(24), AG(3500), SK(200, 200)
#, AM(200), SIK2N(200, 200), AB(200), PP(200, 200)
      REAL*8 ALFA(3500), DINT, SV, ALFA1(3500), AI, BI
      PI=3.1415927D0
      DO 813 IQ=NLI, NLS
      ALFA(IQ)=(ALFA(IQ)*15. DO)/3600. DO
813
      CONTINUE
      TI=15. DO
      NEA=NEA+1
      AI=0. DO
      BI=AI+TI
444
      DO 1000 IBIN=1, NI
      DO 1001 IP=NLI, NLS
      IF((ALFA(IP). GE. AI). AND. (ALFA(IP). LT. BI))THEN
          IF(AG(IP). EQ. 0. DO)GO TO 1001
          SK(NEA, IBIN)=SK(NEA, IBIN)+AG(IP)
          NK(NEA, IBIN)=NK(NEA, IBIN)+1
          PP(NK(NEA, IBIN), IBIN)=AG(IP)
      ENDIF
1001
      CONTINUE
      AB(IBIN)=(BI-AI)/2. DO+AI
      AB(IBIN)=AB(IBIN)*(2. DO*PI)/360. DO
      AI=AI+TI
      BI=BI+TI
1000
      CONTINUE
      DO 402 IBIN=1, NI
      IF(NK(NEA, IBIN). EQ. 0)THEN
          AM(IBIN)=0. DO
          GO TO 402
      ENDIF
      AM(IBIN)=SK(NEA, IBIN)/NK(NEA, IBIN)
402
      CONTINUE
      DO 403 IBIN=1, NI
      SV=0. DO
      DO 404 KL=1, NK(NEA, IBIN)
      IF(NK(NEA, IBIN). EQ. 0)THEN
          SIK2N(NEA, IBIN)=0. DO
          GO TO 403
      ENDIF
      SV=SV+(PP(KL, IBIN)-AM(IBIN))*(PP(KL, IBIN)-AM(IBIN))
404
      CONTINUE
      SIK2N(NEA, IBIN)=SV
403
      CONTINUE
      RETURN
      END

C
      SUBROUTINE HARI(NI, NK, SK, SIK2N, NL, AN, BN, SIGAN, SIGBN, XME
1, VAR, NA, TI, AB, NEA, AD)
      ANALISE HARMONICA DE NEA ARQUIVOS
      DIMENSION NK(200, 200), NTOT(200)
      REAL*8 AG(3500), SK(200, 200), SIK2N(200, 200), XM, VMI, SXME,
      ISVAR0, DEL, AND, BND, SIGANO, SIGBNO, ANC, X1, X2, Y1, Y2, F11
      F12, AN(24), BN(24), SIGAN(24), SIGBN(24), XME(200), AI,
      ISIGA1, A2, SIGA2, AM1, AM2, AO, SIGTA1, SIGTA2, SA1, SB1,
      ISA2, PI, SB2, DES1, DES2, SIGF11, SIGF12, VAR(200), TEM(24),

```

```

1000 PRINT *, 'PROGRAMA'
1010 TYPE PI, DA
ANC=FLOAT(NI)
PI=3.1415927DD0
DO 1010 IBIN=1, NI
DO 1020 IAR=1, NEA
XM=XM+SK(IAR, IBIN)
NTOT(IBIN)=NTOT(IBIN)+NK(IAR, IBIN)
VM1=VM1+SIK2N(IAR, IBIN)
CONTINUE
IF(NTOT(IBIN).EQ.0)THEN
  XME(IBIN)=0. DO
  VAR(IBIN)=0. DO
  VM=0. DO
  VM1=0. DO
  SVARO=0. DO
  GO TO 1010
ENDIF
XME(IBIN)=XM/NTOT(IBIN)
SXME=SXME+XME(IBIN)
DO 1030 IED=1, NEA
IF(NK(IED, IBIN).EQ.0)GO TO 1030
DEL=SK(IED, IBIN)/NK(IED, IBIN)-XME(IBIN)
SVARO=SVARO+DEL*DEL*NK(IED, IBIN)
1030 CONTINUE
VAR(IBIN)=(VM1+SVARO)/(NTOT(IBIN)+NTOT(IBIN))
XM=0. DO
VM1=0. DO
SVARO=0. DO
CONTINUE
1040 DO 1080 IS2=1, 24
DO 1050 IBIN=1, NI
ANO=ANO+DCOS(IS2*AB(IBIN))*XME(IBIN)
BNO=BNO+DSIN(IS2*AB(IBIN))*XME(IBIN)
SIGANO=SIGANO+DCOS(IS2*AB(IBIN))+DCOS(IS2*AB(IBIN))*IVAR(IBIN)
SIGBNO=SIGBNO+DSIN(IS2*AB(IBIN))+DSIN(IS2*AB(IBIN))*IVAR(IBIN)
1050 CONTINUE
AN(IS2)=(ANO*2. DO)/ANC
BN(IS2)=(BNO*2. DO)/ANC
SIGAN(IS2)=(2. DO/ANC)*DSQRT(SIGANO)
SIGBN(IS2)=(2. DO/ANC)*DSQRT(SIGANO)
ANO=0. DO
BNO=0. DO
SIGANO=0. DO
SIGBNO=0. DO
CONTINUE
1080 WRITE(7, 41)
41 FORMAT(//, 6X, 'DADOS REFERENTES A ANALISE POR INTERVALO', //,
1BX, 'NTOT', 5X, 'AB', 7X, 'XME', 8X, 'VAR', /)
DO 666 HI=1, NI
AB(HI)=(AB(HI)*360. DO)/(2. DO*PI)
666 CONTINUE
WRITE(7, 42)(NTOT(IS), AB(IS), XME(IS), VAR(IS), IS=1, NI)
42 FORMAT(8X, 15, 3F10. 2)
AO=SXME/NI
WRITE(7, 200)AO
200 FORMAT(//, 3X, 'ANALISE HARMONICA POR INTERVALO', //,
13X, 'AO=', F15. 3, //, 3X, 'N',
117X, 'AN', 10X, 'SIGMA AN', 10X, 'BN', 10X, 'SIGMA BN')
WRITE(7, 201)(I, AN(I), SIGAN(I), BN(I), SIGBN(I), I=1, 10)
201 FORMAT(2X, 12, 9X, F11. 2, 4X, F11. 2, 4X, F11. 2, 4X, F11. 2)
SIGAO=DSQRT(AO)
X1=AN(1)
Y1=BN(1)

```

```

      DO 100 I=1,2
      DO 100 J=1,2
      IF(Y1.LT.0.0)DO1=24, DO+DO1
      IF(Y2.LT.0.0)DO2=24, DO+DO2
      A1=DSQRT(AN(1)*AN(1)+BN(1)*BN(1))
      SIGA1=DSQRT(AN(1)*AN(1)+BN(1)*BN(1)+BN(1)*BN(1)*SIGBN(1)*SIGBN(1))
      SIGA1=SIGA1/A1
      A2=DSQRT(AN(2)*AN(2)+BN(2)*BN(2))
      SIGA2=DSQRT(AN(2)*AN(2)+BN(2)*BN(2)+BN(2)*BN(2)*SIGBN(2)*SIGBN(2))
      SIGA2=SIGA2/A2
      AM1=(A1/A0)*100, DO
      AM2=(A2/A0)*100, DO
      SIGTA1=(A1/A0)*DSQRT((SIGA1/A1)*(SIGA1/A1)+1*(SIGAO/A0)*(SIGAO/A0))
      SIGTA2=(A2/A0)*DSQRT((SIGA2/A2)*(SIGA2/A2)+1*(SIGAO/A0)*(SIGAO/A0))
      SIGTA1=SIGTA1*100, DO
      SIGTA2=SIGTA2*100, DO
      SA1=SIGAN(1)*SIGAN(1)
      SB1=SIGBN(1)*SIGBN(1)
      SA2=SIGAN(2)*SIGAN(2)
      SB2=SIGBN(2)*SIGBN(2)
      DES1=(1, DO/(1, DO+(BN(1)/AN(1))*(BN(1)/AN(1))))**2
      DES2=(1, DO/(1, DO+(BN(2)/AN(2))*(BN(2)/AN(2))))**2
      SIGFI1=(DES1*(-BN(1)/(AN(1)*AN(1))**2)*SA1+1*(DES1*((1, DO/AN(1))**2))*SB1
      SIGFI1=DSQRT(SIGFI1)*3, BDO
      SIGFI2=(DES2*(-BN(2)/(AN(2)*AN(2))**2)*SA2+1*(DES2*((1, DO/AN(2))**2))*SB2
      SIGFI2=DSQRT(SIGFI2)*3, BDO
      WRITE(7, 5000)
5000  FORMAT(//, 3X, 'AMPLITUDES E FASES', //)
      WRITE(7, 5100)AM1, SIGTA1, FI1, SIGFI1
      FORMAT(3X, 'A1=( ', F14.6, 1X, '+-', 1X, F6.4, ')%', 15X, 'FI1=( ', F5.2, 1X, '+-', 1X, F5.2, ')HORAS', //)
      WRITE(7, 5200)AM2, SIGTA2, FI2, SIGFI2
      FORMAT(3X, 'A2=( ', F14.6, 1X, '+-', 1X, F6.4, ')%', 15X, 'FI2=( ', F5.2, 1X, '+-', 1X, F5.2, ')HORAS', //)
      RETURN
      END

      SUBROUTINE HAR2(NI, NK, SK, SIK2N, NL, VAR, NEA, TI, AB, FIL,
#ISIZ, AO, ANI, BNI, SIGANI, SIGBNI, XME)
      BYTE BUFFER, FIL(30)
      DIMENSION NN(200, 200)
      REAL*B SK(200, 200), SIGANO, SIK2N(200, 200), ANI(24), BNI(24),
#SIGANI(24), SXME, ANO, BNO, SIGBNI(24), VAR(200), AB(200), XME(200)
#, AD, SIGBNO, SUM

C
      BNC=FLOAT(NI)
      DO 2010 IBIN=1, NI
      XME(IBIN)=SK(NEA, IBIN)/NN(NEA, IBIN)
      SXME=SXME+XME(IBIN)
2010  VAR(IBIN)=(SIK2N(NEA, IBIN)/NN(NEA, IBIN))/NN(NEA, IBIN)
      DO 2040 ICH=1, 24
      DO 2050 IBIN=1, NI
      AND=AND+COS(ICH*AB(IBIN))*XME(IBIN)
      BNO=BNO+SIN(ICH*AB(IBIN))*XME(IBIN)
      SIGANO=SIGANO+COS(ICH*AB(IBIN))*COS(ICH*AB(IBIN))*VAR(IBIN)
      SIGBNO=SIGBNO+SIN(ICH*AB(IBIN))*SIN(ICH*AB(IBIN))*VAR(IBIN)
      CONTINUE
      ANI(ICH)=AND*(2, DO/BNC)
      BNI(ICH)=BNO*(2, DO/BNC)

```

```

      ANO=0. DO
      BNO=0. DO
      SIGANO=0. DO
      SIGBNO=0. DO
      CONTINUE
      WRITE(30, 2500)(FIL(IT), IT=1, ISIZ)
      WRITE(30, 51)
      FORMAT(/, 6X, 'DADOS REFERENTES A ANALISE PDR ARQUIVO', //,
     19X, 'NTDT', 7X, 'XME', 7X, 'VAR')
      WRITE(30, 52)(NK(NEA, IS), XME(IS), VAR(IS), IS=1, 24)
      FORMAT(3X, IS, 2F10. 2)
      AO=SXME/N1
      WRITE(8, 2500)(FIL(I), I=1, ISIZ)
      FORMAT(//, 3X, 'ARQUIVO : ', 3X, 0, <ISIZ>A1, //)
      WRITE(8, 2643)AO
      FORMAT(1, 5X, 'AO = ', F9. 2)
      WRITE(8, 2601)(1, 10*I1, SIGANI(I1), BNI(I1), SIGBNI(I1), I=1, 10)
      FORMAT(3X, 'N', 19X, 'AN', 10X, 'SIGMA AN', 10X, 'BN', 10X, 'SIGMA
     # BN', /, (2X, 12, 9X, F11. 2, 4X, F11. 2, 4X, F11. 2, 4X, F11. 2))
      SXME=0. DO
      BNC=0. DO
      SUM=0. DO
      RETURN
      END

C
C   SUBROTINA PARA RETIRAR DADOS ABSURDOS
C
      SUBROUTINE DATA8S(AG, NL)
      REAL*8 AG(3500)
      DO J=1, NL
         IF((AG(J). LT. 500. DO). OR. (AG(J). GT. 1500. DO))AG(J)=0. DO
      END DO
      RETURN
      END

C
C   SUBROTINA PARA LIMPEZA DOS DADOS: Y-3S < Y < Y+3S
C
      SUBROUTINE LIMP(AG, NL)
      REAL*8 AG(3500), MEDIA, SIGM, PESCE
      SIGM=0. DO
      MEDIA=0. DO
      IO=0
      DO 40 IZ=1, NL
         IF(AG(IZ). EQ. 0. DO)IO=IO+1
         MEDIA=MEDIA+AG(IZ)
40   CONTINUE
      MEDIA=MEDIA/(NL-IO)
      DO 50 IZ=1, NL
         IF(AG(IZ). EQ. 0. DO)GO TO 50
         SIGM=SIGM+(AG(IZ)-MEDIA)*(AG(IZ)-MEDIA)
50   CONTINUE
      SIGM=DSQRT(SIGM/(NL-IO-1))
      PESCE=3. DO*SIGM
      DO 60 IZ=1, NL
         IF(AG(IZ). LT. (MEDIA-PESCE))AG(IZ)=0. DO
         IF(AG(IZ). GT. (MEDIA+PESCE))AG(IZ)=0. DO
60   CONTINUE
      RETURN
      END

C
C   SUBROUTINE AR(DIA, MES, ANO, HORA, LONGIT, ALFREN, SG)
C
      SUBROTINA PARA DETERMINAR A ASCENSAO RETA DO ZENITE
      DO OBSERVADOR NUM DADO INSTANTE

```

REAL ALFZEN, C1, L07, T00, T1, T2, T3, T4, T5, T6, T7, T8, T9, T10, T11, T12, T13, T14, T15
INTEGER DIA, MES, ANO
IDIA=DIA
IMES=MES
IANO=ANO
IF (IMES. GT. 2) IMES=IMES+1
IF (IMES. LE. 2) THEN
 IMES=IMES+13
 IANO=IANO-1
ENDIF
DIAJULIANO=DINT (IMES*30. 801D0)+DINT (IANO*365. 25D0)+
11720931. 5D0+IDIA
T=(DIAJULIANO-2415020. DO)/36525. DO
TS=8640184. 542D0*T+0. 0929*T*T
TS=(TS/3600. DO+6. 64605556D0)/24. DO
TO=(TS-DINT (TS))*24. DO*3600. DO
FMR=1. 0027379
ST=HORA+C0
LON=(LONGIT/15. DO)*3600. DO
ALFZEN=TO+FMR*ST-LON
IF (ALFZEN. LT. 0. DO) ALFZEN=ALFZEN+86400. DO
RETURN
END

**Apêndice II : Programas de análise utilizados na segunda
fase do experimento**

```

PROGRAM ANACHAC
IMPLICIT REAL*8 (A-H, O-Z)
INTEGER*2 AM(1001000), IDAT(6), IDATN(6), ICG(20)
REAL*8 AMS, AMSN, DNCR, PRS(48), TMP(24), HRS(200), T01(200), T02(200)
integer*4 isend(8)
INTEGER*4 NBAN, IA, I256, NBD
DIMENSION NS(20), A(20), D(20), S(20), ID(20), IR(20), TSINIZ(20),
XLAT(3), RIT(800, 20), NCAN(20), ICA(3, 20), ISC(3, 20),
ICAV(3, 20), ICON(3, 20), INDIC(60, 2), ISOV(6, 20, 20), IMIS(20),
ITIN(20), TI0R(20), IGIDR(20), NTTA(3, 20), NTOT(30, 3, 20), NTTT(3, 20),
NTA(30, 3, 20), ISOVF(6, 20, 20), IFI(20), IGAL(20), IC(16), ICC(20, 20)
REAL*8 HIZ(30, 3, 20), HFZ(30, 3, 20), PRM(30, 3, 20), ZMIN(20)
REAL*8 DR1(20), DR2(20)
CHARACTER*11 HRL

CHARACTER*15 NOME(20), TOL, ST01
CHARACTER*5 TI0R(6), TIVER(6)
LOGICAL*1 NAMFIL(20), ST(10), AR(128), NMF(13)
INTEGER*2 AP(20)
INTEGER*4 NIM, NEV3M, NEV, NST, ITIM, ITIMP, ITIF, IIG
DATA ST /'0', '1', '2', '3', '4', '5', '6', '7', '8', '9'/
DATA NAMFIL/'R', 'U', 'N', 4*. FALSE., ' ', 12*'/', 1256/256/
DATA NMF/4*. FALSE., ' ', 'T', 'O', '1', ' ', 'D', 'A', 'T', . FALSE., /
DATA PI/3. 141592654D0/, XLAT/-16., -20., -50. /
DATA DMAG, DMIN/10. 72, 10. 88/
DATA TSINIZ/20*0. /, RIT/16000*0. /, ISOVF, IFI/2420*0/
DATA ICA, ICAV, ICON, INDIC, ISOV/2700*0/, IMIS/20*1/, IGIDR/20*0/,
NTTA, NTOT, NTTT, NTA/3720*0/, IGAL/20*0/, ICC/400*0/, ISC/60*0/
DATA TI0R/' ant.', ' vera', 'post.', ' vera', 'post.', 'post.'/
DATA TIVER/' ant.', ' ant.', ' ant.', ' vera', ' vera', 'post.'/
DATA 1256/256/
EQUIVALENCE(NBAN, NAMFIL(4))
EQUIVALENCE(NBD, NMF(1))
C=PI/180.
XL=(XLAT(1)+XLAT(2)/60. +XLAT(3)/3600. )*C

DO 1 I=1, 20
READ(1, 104) NS(I), D(I), A(I), ZMIN(I), S(I), DR1(I), ID(I), IR(I), NOME(I)
DR2(I)=DR1(I)

A(I)=A(I)*C
D(I)=D(I)*C
S(I)=S(I)*24*60/360

CONTINUE
CLOSE(UNIT=1)
FORMAT(12, 4F12. 5, F6. 2, 2X, 11, 2X, 11, 2X, A15)
READ(10, 156) IDAT
FORMAT(1X, 6I2)
READ(10, 101) NBAN, TM
FORMAT(1X, A4, FB. 5)
DECODE(4, 444, NBAN) ITY
FORMAT(14)
IF(ITY.GE. 24) IDAT(3)=88
AMSN=0.
ANNO=IDAT(3)+IDAT(2)/12. +IDAT(1)/365. -50.

```

```

IF(10>I) GO TO 40
IF(D(I)) EQ 0. GO TO 70
DALF=(46.07305+20.04255*SIN(A(I))+TAN(D(I)))*A(I)-14.07305
DDEL=20.04255*COS(A(I))+ANNO+C/3600.
A(I)=A(I)+DALF
D(I)=D(I)+DDEL

COSH=(COS(ZMIN(I)*C)-SIN(XL)*SIN(D(I)))/(COS(D(I))+COS(XL))
HSOR=ACOS(COSH)
NC=HSOR*12*60/PI-0.5
TSINIZ(I)=A(I)-(NC+0.5)*PI/(60*12)
IF(TSINIZ(I).LT.0.) TSINIZ(I)=TSINIZ(I)+2*PI
NCAN(I)=NC*2+1
IF(2*NCAN(I).GT.800) THEN
  WRITE(6,150) I,2*NCAN(I)
  FORMAT('A matriz de atraso e' muito pequena : 2*NCAN (',
  I2,') = ',I4)
  STOP
END IF
TSID=TSINIZ(I)+0.5*PI/(60*12)
TSINIZ(I)=TSINIZ(I)+12*60/PI

DO 4 J=1,NCAN(I)
H=TSID-A(I)
CALL DIREZ(D(I),H,R1,R2,0)
II=2*J-1
RIT(II,I)=R1
RIT(II+1,I)=R2
PRINT *,J,R1,R2
TSID=TSID+PI/(60*12)
CONTINUE
CONTINUE

READ(10,102) T1,T2,CONV1,CONV2
FORMAT(1X,2F7.4,2F6.4)
FORMAT(F12.10)
CLOSE(UNIT=10)
NBD=NBN
WRITE(6,131) NBN
WRITE(6,130) (IDAT(I),I=1,6)
FORMAT(50X,'***** RUN ',A4,' *****')
WRITE(6,137) T1,T2,CONV1,CONV2
FORMAT(' Fator de conversao - CAN-MS : ',F15.10)
FORMAT('// TEMPO ZERO',2F10.4// ' FATOR DE CONVERSAO C
#AN-MS : ',2F9.4)
FORMAT(' DATA INICIO MEDIDAS : ',6I3)

OPEN(UNIT=7,NAME='TEMPREC.DAT',TYPE='OLD',
> FORM='FORMATTED',ERR=719,READONLY)
READ(7,333)
DO I=1,24
  READ(7,333) ST1,ST2,PRS(I),TMP(I)
  FORMAT(F4.1,4X,F7.2,4X,F8.2,4X,F4.1)
  PRS(24+1)=PRS(I)
END DO
PRINT 383,PRS
FORMAT(1X,10FB.2)
CLOSE(UNIT=7)
OPEN(UNIT=8,NAME=NMF,TYPE='OLD',
> FORM='FORMATTED',ERR=718,READONLY)
DO I=1,5
  READ(8,337)
END DO
I=0

```

```

14-A-01
READ(8, 337) HRL, TOL, STO1
IF(HRL(:4).NE. 'PLOT') THEN
    DECODE(11, 428, HRL) HRS(I)
    DECODE(15, 429, TOL) TO1(I)
    GO TO 643
END IF
NTP=I-1
DO I=1,NTP
    PRINT 430, I, HRS(I), TO1(I)
END DO
FORMAT(F11.4)
FORMAT(F15.4)
FORMAT(1X, I3, F11.4, F15.4)
FORMAT(A11, 2A15)
FORMAT(1X, I3, A11, A15)
CLOSE(UNIT=8)
NMF(8)='2'
OPEN(UNIT=9, NAME=NMF, TYPE='OLD',
> FORM='FORMATTED', ERR=718, READONLY)
DO I=1,5
    READ(9, 337)
END DO
I=0
I=I+1
READ(9, 337) HRL, TOL, STO1
IF(HRL(:4).NE. 'PLOT') THEN
    DECODE(15, 429, TOL) TO2(I)
    GO TO 644
END IF
NTP=I-1
DO I=1,NTP
    PRINT 430, I, HRS(I), TO2(I)
END DO
CLOSE(UNIT=9)

C
PEND=366.2422/365.2422
IAN=IDAT(3)+1900
IF(IDAT(2).LE.2) THEN
    IM=IDAT(2)+13
    IAN=IAN-1
ELSE
    IM=IDAT(2)+1
END IF
DIM=DINT(365.25D0*IAN)+DINT(30.6001D0*IM)+IDAT(1)+1720981.5D0
SGIUL=(DIM-2415020.00)/36525
TS00=23925.836D0+8640184.542D0*SGIUL+0.0929*SGIUL*SGIUL
TIM=IDAT(4)*3600.+IDAT(5)*60.+IDAT(6)
TS=(TIM+4*3600.)*PEND+TS00-16350.8
I=TS/86400
TS=TS-I*86400
AMM=TS/60.

C
DO 8 I=1,20
IF(NS(I).EQ.0) GO TO 7
IF(ID(I).EQ.0) GO TO 8
IF(IR(I).EQ.1) THEN
    NUNIT=30+I
    OPEN(UNIT=NUNIT, TYPE='NEW', FORM='UNFORMATTED')
    WRITE(NUNIT) NONE(I), NBAN, IDAT, DIM, TIM, TS
    WRITE(NUNIT) T1, T2, CONV1, CONV2
END IF
CONTINUE
DO 80 I=1,20
IF(NS(I).EQ.0) GO TO 81

```

```

      TIN(1)=TSINITZ(1)
      IF(ID(1).EQ.3) THEN
        TIN(1)=TSINITZ(1)
      ELSE
        TIN(1)=TSINITZ(1)-S(1)
        IF(TIN(1).LT.0) TIN(1)=TIN(1)+1440
      END IF
      IF(ID(1).EQ.1) THEN
        TFI(1)=TSINITZ(1)+NCAN(1)
      ELSE
        TFI(1)=TSINITZ(1)+S(1)+NCAN(1)
      END IF
      IF(TFI(1).GE.1440) THEN
        TFI(1)=TFI(1)-1440
        IF(ANN.GT.TIN(1).OR.ANN.LE.TFI(1)) INIS(1)=0
      ELSE
        IF(ANN.GT.TIN(1).AND.ANN.LE.TFI(1)) INIS(1)=0
      END IF
      CONTINUE
      DGIM=DIM+TIM/86400.
      C
      IFN=0
      TAP=0.
      NEO=0
      IAZ=0
      TP=ANN
      ISS=0
      DO 20 I=1,20
20    IGIDR(I)=0
      NSE=0
      NEV3M=0
      tap3m=180
      NEV=0
      NST=0
      NFL=0
      IFR=0
      NTO=0
      NBS=0
      ITZ=1
      IFQ=0
      IAS=9
      NEVN=0
      IAP=0
      IFS=0
      IBU=0
      NFIL=NFL
      DO I=2,0,-1
        L=10**I
        J=NFIL/L
        NAMFIL(IAS)=ST(J+1)
        IAS=IAS+1
        NFIL=NFIL-J*10**I
      END DO
      NAMFIL(IAS)=.FALSE.
      IF(IFR.EQ.0) PRINT 234,(NAMFIL(I),I=1,11)
234    FORMAT(1X,11A1)
      OPEN(UNIT=21,NAME=NAMFIL,TYPE='OLD',
>           FORM='FORMATTED',ERR=666,READONLY)
      IF(IFR.EQ.1) THEN
        GO TO 422
      END IF
      NIM=0
      READ(21,100,END=1111) AR
      FORMAT(12BA1)
      DO I=1,128
        NIM=NIM+1

```

```

      AM(11)=AM(1)
      IF(AM(11) LT 0) PRINT 201,11,AM(11),11,11
END DO
GO TO 157
CONTINUE
IO=NIM
DO WHILE (AM(IO). EQ. 0)
  IO=IO-1
END DO
IF(AM(IO). NE. 26) THEN
  IEND=IO
  GO TO 419
END IF
IF(AM(IO-1). EQ. 10. AND. AM(IO-2). EQ. 13. AND. AM(IO-5). EQ. 53.
! AND. AM(IO-8). EQ. 53. AND. AM(IO-15). EQ. 45. AND. AM(IO-18). EQ. 45) THEN
  IEND=IO-21
  GO TO 420
END IF
IEND=IO-1
IFR=1
IF(NTD. NE. 0) THEN
  DO I=1,NTD
    AM(46-NTD+I)=AP(I)
  END DO
END IF
IA=47-NTD
IFL=0
IFF=0
IF(AM(IA). EQ. 213. AND. NEV. EQ. 0) AM(IA)=85
IF(AM(IA). NE. 85. AND. AM(IA). NE. 170) GO TO 414
IF(AM(IA). EQ. 85) GO TO 416
IFL=17
IF(AM(IA+17). EQ. 85. OR. AM(IA+17). EQ. 170) GO TO 417
IF(IEND-IA. LT. IFL) GO TO 421
IF(IAP. NE. 0) PRINT 207,IAP,NEV,(AM(I),I=IAP,IAP+5),ITIM
IIG=ITIM
DNCR=ITIM/1000.
CALL DADD(IDAT,ANS,1DATN,ANSN,DNCR)
IBU=1
IFS=1
DO WHILE (IA. LE. IEND)
  PRINT 354,IA,AM(IA)
  FORMAT(' Scartato AM(',17,',') = ',13)
  IA=IA+1
  NBS=NBS+1
  IF(AM(IA). EQ. 85. OR. AM(IA). EQ. 170) GO TO 300
END DO
354
PRINT 207,IAP,NEV,(AM(I),I=IAP,IAP+5),ITIM
IF(IFR. NE. 1) THEN
  NTD=IEND-IA+1
  DO I=1,NTD
    AP(I)=AM(IA+I-1)
  END DO
  PRINT 205,(AM(IEND+I),I=1,10)
  PRINT 206,(AM(IEND+I),I=11,18)
  PRINT 220,NTD,(AP(I),I=1,NTD)
  FORMAT(1X,13,(NTD)>(1X,13))
END IF
NFL=NFL+1
GO TO 1007
416
IF(AM(IA+6). NE. 85. AND. AM(IA+5). NE. 170) GO TO 418
C
C
NEV3M=NEV3M+1
NEV=NEV+1

```

```

NST=NST+1
GO TO 18
CONTINUE

C
NST=NST+1
PRINT 208,NST, (AM(I), I=IA, IA+15)

ifcont=0
isd=0
do 5002 i=ia+1, ia+15, 2
isond(isd)=am(i)+am(i+1)*255
isd=isd+1
5002 continue
IFC=0
DO 295 I=1, 15
IC(I)=AM(IA+I)
DO 282 I=1, 20
IF(NB(I). EQ. 0) GO TO 283
IF(INIS(I). EQ. 0. OR. ID(I). EQ. 0. OR. IR(I). EQ. 0) GO TO 282
IF(ID(I). EQ. 3) GO TO 284
TT=TSINIZ(I)-S(I)
IF(TT. LT. 0.) TT=TT+1440
ITT=INT(TP-TT+1)
IF(ITT+NCAN(I). GE. 1440) THEN
    ITT=INT(TP-TP+1441)
END IF
IF(ITT. GT. 0. AND. ITT. LE. NCAN(I)) THEN

C
IND=10
NUNIT=30+I
IFC=1
A11=IC(1)*1000000000. DO
A11=A11+IC(2)*1000000. DO+IC(3)*1000. DO+IC(4)*1. DO
A12=IC(5)*1000000000. DO
A12=A12+IC(6)*1000000. DO+IC(7)*1000. DO+IC(8)*1. DO
TA=IC(9)*1000000000. DO
TA=TA+IC(10)*1000000. DO+IC(11)*1000. DO+IC(12)*1. DO
WRITE(NUNIT) IND,A11,A12,TA
ICC(10)OR(I)+1,I)=ICC(10)OR(I)+1,I)+1
TYPE 345, IC, I, A11, A12, TA
FORMAT(916/916/3X, 12, 3(3X, F13. 0))/>
FORMAT(3X, 12, 3(3X, F13. 0)/>
A11=IC(13)*1000000000. DO
A11=A11+IC(14)*1000000. DO+IC(15)*1000. DO+IC(16)*1. DO
A12=0. DO
TA=0. DO
    WRITE(NUNIT) IND,A11,A12,TA
    TYPE 345, IC, I, A11, A12, TA
END IF
345
346
284
     ITT=INT(TP-TSINIZ(I)+1)
     IF(TSINIZ(I)+NCAN(I). GE. 1440) THEN
        ITT=INT(TP-TSINIZ(I)+1441)
     END IF
     IF(ITT. GT. 0. AND. ITT. LE. NCAN(I)) THEN

C
         IF(IFC. NE. 1) THEN
             IND=10
             NUNIT=30+I
             IFC=1
             A11=IC(1)*1000000000. DO
             A11=A11+IC(2)*1000000. DO+IC(3)*1000. DO+IC(4)*1. DO
             A12=IC(5)*1000000000. DO
             A12=A12+IC(6)*1000000. DO+IC(7)*1000. DO+IC(8)*1. DO
             TA=IC(9)*1000000000. DO

```

```

      TA=IC(10)*1000000000. DO I=1,12,1
      WRITE(NUNIT) IND,A11,A12,TA
      ICC(IGIDR(I)+1,I)=ICC(IGIDR(I)+1,I)+1
      TYPE 345, IC, I, A11, A12, TA
      A11=IC(13)*1000000000. DO
      A11=A11+IC(14)*1000000. DO+IC(15)*1000. DO+IC(16)*1 DO
      A12=0. DO
      TA=0. DO
      WRITE(NUNIT) IND,A11,A12,TA
      TYPE 345, IC, I, A11, A12, TA
      END IF
END IF
IF(ID(I).EQ.1) GO TO 282
TT=TSINIZ(I)+S(I)
IF(TT.GE.1440) TT=TT-1440
ITT=INT(TP-TT+1)
IF(ITT+NCAN(I).GE.1440) THEN
  IF(TP-TT+1.LT.0.) ITT=INT(TP-TT+1441)
END IF
IF(ITT.GT.0.AND.ITT.LE.NCAN(I)) THEN
  IF(IFC.NE.1) THEN
    IND=10
    NUNIT=30+I
    A11=IC(1)*1000000000. DO
    A11=A11+IC(2)*1000000. DO+IC(3)*1000. DO+IC(4)*1. DO
    A12=IC(5)*1000000000. DO
    A12=A12+IC(6)*1000000. DO+IC(7)*1000. DO+IC(8)*1. DO
    TA=IC(9)*1000000000. DO
    TA=TA+IC(10)*1000000. DO+IC(11)*1000. DO+IC(12)*1. DO
    WRITE(NUNIT) IND,A11,A12,TA
    ICC(IGIDR(I)+1,I)=ICC(IGIDR(I)+1,I)+1
    TYPE 345, IC, I, A11, A12, TA
    A11=IC(13)*1000000000. DO
    A11=A11+IC(14)*1000000. DO+IC(15)*1000. DO+IC(16)*1. DO
    A12=0. DO
    TA=0. DO
    WRITE(NUNIT) IND,A11,A12,TA
    TYPE 345, IC, I, A11, A12, TA
    END IF
  END IF
CONTINUE
282
283
IA=IA+17
GO TO 300
C
18
J1=AM(IA+1)
J2=AM(IA+2)
C
A11=(J1-T1)*CONV1
A12=(J2-T2)*CONV2
A11=(J1-T01(ITZ))*CONV1
A12=(J2-T02(ITZ))*CONV2
IF(TA.GT.TAP3M) THEN
  TAP3M=TAP3M+180
  WRITE(25,5001) TA,NEV3M,(isond(isd),isd=0,7),ifcont
  ifcont=1
  NEV3M=0
ENDIF
5001
FORMAT(1X,F14.4,i6,B15,i2)
NSE=NSE+1
C
563
IF(NSE.LE.100) PRINT 563,J1,J2,A11,A12
FORMAT(' J1=',I4,' J2=',I4,' A11=',FB.2,' A12=',FB.2)
TA=AM(IA+5)*1256*I256+AM(IA+4)*1256+AM(IA+3)
TA=TA+IAZ*I256*I256*I256
IF(TA.LT.TAP) THEN
  IF(TA+I256*I256*I256-TAP.LT.10000) THEN

```

```

      TA=TA+PEND*(TEND-TA)/1000.
      IAZ=IAZ+1
      ELSE
        NEO=NEO+1
        IFQ=0
        DO IY=1,20
          ICO(IY)=0
        END DO
      END IF
    END IF
    TAP=TA
    ITIM=TA
    IF(NEV.EQ.1) THEN
      DNCR=ITIM/1000.
      CALL DADD(IDAT,AMS, IDATN, AMSN, DNCR)
      PRINT 688, IDATN, INT(AMSN), TO1(ITZ), TO2(ITZ)
      FORMAT(' ',I2,2,'-',I2,2,'-19',I2,2,1X,
     2(I2,2,':'),I2,2,'.',I3,3,2X,'TO1=',F9,4,2X,'TO2=',F9,4)
      ITIR=ITIM
    END IF
    IF(NEVN.EQ.1) THEN
      ITIF=ITIM
    END IF
    IF((ITIM-ITIR).GE.3600*1000.AND.IFG.EQ.2) THEN
      IFQ=0
      ITIR=ITIM
      ITZ=ITZ+1
      IF(ITZ.GT.NTP) ITZ=NTP
      DNCR=ITIM/1000.
      CALL DADD(IDAT,AMS, IDATN, AMSN, DNCR)
      PRINT 688, IDATN, INT(AMSN), TO1(ITZ), TO2(ITZ)
    ELSE IF((ITIM-ITIR).GE.3600*1000) THEN
      IFQ=IFQ+1
    END IF
    IF(NEVN.EQ.1.OR.IFS.NE.0) PRINT 207,IA,NEV,(AM(I),I=IA,IA+5),ITIM
    IFS=0
    TA=TA/1000. DO
    DM=TA/86400.
    IF(DM.GT.TM) GO TO 665
    TQ=(TA*PEND)/60.+AHM
    I=TQ/1440
    TQ=TQ-I*1440
    IF(IBU.EQ.1) THEN
      IBU=0
      DNCR=ITIM/1000.
      CALL DADD(IDAT,AMS, IDATN, AMSN, DNCR)
      DBC=(ITIM-IIQ)/1000.
      PRINT 640,DBC
      IF(DBC.LT.0.OR.DBC.GT.10.) THEN
        GO TO 665
      END IF
      DIQ=IIQ/1000. DO
      DIQ=(DIQ*PEND)/60.+AHM
      I=DIQ/1440
      DIQ=DIQ-I*1440
      IF(IFCO.EQ.0) THEN
        IF((TQ.GT.TIN(1).AND.TQ.LE.TFI(1))
R.(DIQ.GT.TIN(1).AND.DIQ.LE.TFI(1))) GO TO 741
      ELSE
        IF((TQ.GT.TIN(1).OR.TQ.LE.TFI(1))
R.(DIQ.GT.TIN(1).OR.DIQ.LE.TFI(1))) GO TO 741
      END IF
      PRINT 742
    END IF
    GO TO 888
    IF(DBC.GT.10) THEN

```

C
C
833

 JS=10000
END IF
PRINT 744
DO 82 I=1,20
IF(NS(I).EQ.0) GO TO 83
IF(INIS(I).EQ.0.OR.ID(I).EQ.0) GO TO 82
IVFR=ICA(1,I)+ICA(2,I)+ICA(3,I)
IF(ID(I).EQ.3) GO TO 84
TT=TSINIZ(I)-S(I)
IF(TT.LT.0.) TT=TT+1440
ITT=INT(TG-TT+1)
IF(ITT+NCAN(I).GE.1440) THEN
 IF(TG-ITT+1.LT.0.) ITT=INT(TG-ITT+1441)
END IF
IF(ITT.GT.0.AND.ITT.LE.NCAN(I)) GO TO 85

C
84

 ITT=INT(TG-TSINIZ(I)+1)
IF(TSINIZ(I)+NCAN(I).GE.1440) THEN
 IF(TG-TSINIZ(I)+1.LT.0.) ITT=INT(TG-TSINIZ(I)+1441)
END IF
IF(ITT.GT.0.AND.ITT.LE.NCAN(I)) GO TO 86

C
87

 IF(ID(I).EQ.1) GO TO 88
TT=TSINIZ(I)+S(I)
IF(ITT.GE.1440) TT=TT-1440
ITT=INT(TG-TT+1)
IF(ITT+NCAN(I).GE.1440) THEN
 IF(TG-ITT+1.LT.0.) ITT=INT(TG-ITT+1441)
END IF
IF(ITT.GT.0.AND.ITT.LE.NCAN(I)) GO TO 89

C
88

 IF(ICA(1,I)+ICA(2,I)+ICA(3,I)-IVFR.GT.1) WRITE(6,121) I,A11,A12,TG

82

CONTINUE

C
83

 II=1
DO 60 J=1,3
DO 61 I=1,20
IF(NS(I).EQ.0) GO TO 60
IF(ID(I).EQ.0) GO TO 61
NN=ICA(J,I)-ICAV(J,I)
IF(NN.LT.0.OR.NN.GT.1) WRITE(6,122) I,J,NN,TG
IF(NN.EQ.1) THEN
 INDIC(II,1)=I
 INDIC(II,2)=J
 II=II+1
END IF
CONTINUE

61

CONTINUE

60

 IF(II.EQ.1) GO TO 62
DO 63 III=1,II-1
DO 63 II2=III,II-1
IF(INDIC(III,2).GT.INDIC(II2,2)) THEN
 IF(INDIC(II2,2).EQ.1) THEN
 II=INDIC(III,2)
 ELSE
 II=INDIC(III,2)+INDIC(II2,2)
 END IF
 I2=INDIC(II2,1)
 I3=INDIC(III,1)
ELSE IF(INDIC(III,2).EQ.INDIC(II2,2)) THEN
 IF(INDIC(III,2).EQ.1) THEN
 II=INDIC(III,2)
 ELSE
 II=INDIC(III,2)*2
 END IF
 I2=INDIC(III,1)

```

      IF(II>1) THEN
        I1=INDIC(II2,1)
        I2=INDIC(II2,2)
        I3=INDIC(III,1)
      END IF
    ELSE
      IF(INDIC(III,2).EQ.1) THEN
        II=INDIC(II2,2)
      ELSE
        II=INDIC(III,2)+INDIC(II2,2)
      END IF
      I2=INDIC(III,1)
      I3=INDIC(II2,1)
    END IF
    ISOV(II,II2,II3)=ISOV(II,II2,II3)+1
63  CONTINUE
62  DO 64 I=1,60
64  DO 64 J=1,2
     INDIC(I,J)=0
     DO 65 I=1,20
65  DO 65 J=1,3
     ICAV(J,I)=ICA(J,I)
     IF(TQ.GT.750..AND.TP.LE.750.) THEN
       ISS=0
       DO 22 II=1,20
         IFI(II)=0
22   END IF
C
     DO 66 I=1,20
     IF(NS(I).EQ.0) GO TO 67
     IF(ID(I).EQ.0) GO TO 66
     IF(TQ.GT.TFI(I).AND.TP.LE.TFI(I)) THEN
       ICO(I)=ICO(I)+1
     ELSE IF(TQ.GT.TFI(I).AND.ICO(I).EQ.1) THEN
       ICO(I)=2
     ELSE IF(TQ.GT.TFI(I).AND.ICO(I).EQ.2) THEN
       ICO(I)=0
       DNCR=ITIM/1000.
       CALL DADD(IDAT,AMS,IDATN,AMSN,DNCR)
       DO K7=1,3
         ISC(K7,I)=0
       END DO
C
       IF(IMIS(I).EQ.0) THEN
         IMIS(I)=1
       ELSE
         IGIOR(I)=IGIOR(I)+1
         DO J=1,3
           IF(HIZ(IGIOR(I),J,I).LT.1.)
             HIZ(IGIOR(I),J,I)=HIZ(IGIOR(I),J,I)+24.
           HFZ(IGIOR(I),J,I)=HIZ(IGIOR(I),J,I)+NCAN(I)/60.
           II2=INT(HIZ(IGIOR(I),J,I)-0.5)+1
           IIIF=INT(HFZ(IGIOR(I),J,I)-0.5)+1
           PRI=PRS(II2+1)-(HIZ(IGIOR(I),J,I)-
             (II2+0.5))*(PRS(II2)-PRS(II2+1))
           PRF=PRS(IIIF)-(HFZ(IGIOR(I),J,I)-
             (IIIF-0.5))*(PRS(IIIF-1)-PRS(IIIF))
           PRM(IGIOR(I),J,I)=(PRS(II2+1)+PRI)*
             ((II2+0.5)-HIZ(IGIOR(I),J,I))/2.
           DO K1=1,IIIF-II2-1
             PRM(IGIOR(I),J,I)=PRM(IGIOR(I),J,I)+
               (PRS(II2+1+K1)+PRS(II2+K1))/2.
           END DO
           PRM(IGIOR(I),J,I)=PRM(IGIOR(I),J,I)-(PRS(IIIF)+PRF)*
             ((IIIF-0.5)-HFZ(IGIOR(I),J,I))/2.
         END IF
       END IF
     END IF
   END DO
   ISOV(II,II2,II3)=ISOV(II,II2,II3)+1

```

```

      FMT(107,0) :, J, I)=FMT(103,0) :, J, I)
      SHZ(IGIOR(I), J, I)=M2(IGIOR(I), J, I))
      PRN(IGIOR(I), J, I)=PRN(IGIOR(I), J, I)*1033./760.
END DO
IF(IR(I).EQ.1) THEN
  IND=0
  NUNIT=30+I
  WRITE(NUNIT) IND,A11,A12,TA
END IF
DO 90 J=1,3
NTOT(IGIOR(I), J, I)=ICON(J, I)
NTT( J, I)=NTT( J, I)+ICON(J, I)
NTA(IGIOR(I), J, I)=ICA(J, I)
NTTA( J, I)=NTTA( J, I)+ICA(J, I)
CONTINUE
DO 91 J=1,3
ICON( J, I)=0
ICA( J, I)=0
ICAV( J, I)=0
CONTINUE
ISS=ISS+1
IFI(ISS)=I
DO 23 J=1,ISS
DO 23 II=1,6
ISOVF(II, I, IFI(J))=ISOVF(II, I, IFI(J))+ISOV(II, I, IFI(J))
ISOV(II, I, IFI(J))=0
IF(I.NE.IFI(J)) THEN
  ISOVF(II, IFI(J), I)=ISOVF(II, IFI(J), I)+ISOV(II, IFI(J), I)
  ISOV(II, IFI(J), I)=0
END IF
WRITE(6,30) II, I, IFI(J), ISOV(II, I, IFI(J)), II, IFI(J), I,
ISOV(II, IFI(J), I)
FORMAT(' ISOV(',II,',',I2,',',I2,',')=',15,20X,'ISOV',
II,',',I2,',',I2,',')=',15)
CONTINUE
END IF
WRITE(6,31) TQ
FORMAT(' TQ=',F11.5/)
END IF
CONTINUE
TP=TQ
IA=IA+6
IAP=IA
ITIMP=ITIM
GO TO 300
C
85 ISOR=1
IF(ISC(1, I).EQ.0) THEN
  ISC(1, I)=1
  DNCR=ITIM/1000.
  CALL DADD(IDAT, ANS, IDATN, AMSN, DNCR)
  HIZ(IGIOR(I)+1, 1, I)=IDATN(4)+IDATN(5)/60.+IDATN(6)/3600.
END IF
ICON(ISOR, I)=ICON(ISOR, I)+1
LN=ITT*2-1
RI1=RIT(LN, I)
RI2=RIT(LN+1, I)
PRINT 734,A11,A12,RI1,RI2
FORMAT(' A11=',F8.2,' A12=',F8.2,' RI1=',F8.2,' RI2=',F8.2)
IF(A11.GE.RI1-DR1(I).AND.A11.LE.RI1+DR1(I).AND.A12.GE.RI2-DR2(I).AND.
(A12.LE.RI2+DR2(I))) THEN
  ICA(ISOR, I)=ICA(ISOR, I)+1
  IF(IR(I).EQ.1) THEN
    NUNIT=30+I
    IND=ISOR
    - - - - -

```

```

C          TYPE 346, I, A11, A12, TA
          WRITE(NUNIT) IMD,A11,A12,TA
          END IF
          END IF
          GO TO (84, 87, 88), ISOR
          ISOR=2
          IF(ISC(2,I).EQ.0) THEN
              ISC(2,I)=1
              DNCR=ITIM/1000.
              CALL DADD(IDAT,ANS, IDATN, ANSN, DNCR)
              HIZ(IGIOR(I)+1,2,I)=IDATN(4)+IDATN(5)/60. +IDATN(6)/3600.
          END IF
          GO TO 92
          ISOR=3
          IF(ISC(3,I).EQ.0) THEN
              ISC(3,I)=1
              DNCR=ITIM/1000.
              CALL DADD(IDAT,ANS, IDATN, ANSN, DNCR)
              HIZ(IGIOR(I)+1,3,I)=IDATN(4)+IDATN(5)/60. +IDATN(6)/3600.
          END IF
          GO TO 92
          STOP
C
665      IFR=1
666      IF(IFR.EQ.0) THEN
          STOP
        END IF
422      PRINT 451,NEV
        WRITE(6,158)
        WRITE(6,123) DM
158      FORMAT(1H1)
        WRITE(6,127) NEO
        NSO=1
68       IF(NS(NSO).EQ.0) GO TO 69
        NSO=NSO+1
        IF(NSO.LE.20) GO TO 68
69       NSO=NSO-1
        DO 70 I=1,NSO
        IF(ID(I).EQ.0) GO TO 70
        WRITE(6,133) I
        WRITE(6,172) NOME(I),(NTTA(J,I),J=1,3)
        WRITE(6,124)
        IF(ID(I).EQ.1) THEN
            WRITE(6,135)
            DO 173 II=1,IGIOR(I)
            IF(NTOT(II,2,I).EQ.0) THEN
                WRITE(6,125) II,(NTOT(II,J,I),J=1,3)
            ELSE
                WRITE(6,125) II,(NTOT(II,J,I),J=1,3),
                (NTOT(II,2,I)-NTOT(II,1,I))/SQRT(FLOAT(NTOT(II,2,I)))
            END IF
            CONTINUE
#          ELSE IF(ID(I).EQ.3) THEN
            WRITE(6,136)
            DO 174 II=1,IGIOR(I)
            IF(NTOT(II,2,I).EQ.0) THEN
                WRITE(6,125) II,(NTOT(II,J,I),J=1,3)
            ELSE
                WRITE(6,139) II,(NTOT(II,J,I),J=1,3),
                (NTOT(II,2,I)-NTOT(II,3,I))/SQRT(FLOAT(NTOT(II,2,I)))
            END IF
            CONTINUE
#          ELSE
            WRITE(6,134)
            DO 170 II=1,IGIOR(I)
            IF(NTOT(II,2,I).EQ.0) THEN

```

```

      WRITE(6,125) II, (NTOT(II,J,I), J=1,3),
      # (NTOT(II,2,I)-NTOT(II,1,I))/SQRT(FLOAT(NTOT(II,2,I))),
      # (NTOT(II,2,I)-NTOT(II,3,I))/SQRT(FLOAT(NTOT(II,2,I)))
170   END IF
      CONTINUE
END IF
WRITE(6,126)
IF(ID(I).EQ.1) THEN
  WRITE(6,135)
  DO 141 II=1,IGIOR(I)
  IF(NTA(II,2,I).EQ.0) THEN
    WRITE(6,125) II, (NTA(II,J,I), J=1,3)
  ELSE
    WRITE(6,125) II, (NTA(II,J,I), J=1,3),
    # (NTA(II,2,I)-NTA(II,1,I))/SQRT(FLOAT(NTA(II,2,I)))
  END IF
  CONTINUE
ELSE IF(ID(I).EQ.3) THEN
  WRITE(6,136)
  DO 142 II=1,IGIOR(I)
  IF(NTA(II,2,I).EQ.0) THEN
    WRITE(6,125) II, (NTA(II,J,I), J=1,3)
  ELSE
    WRITE(6,139) II, (NTA(II,J,I), J=1,3),
    # (NTA(II,2,I)-NTA(II,3,I))/SQRT(FLOAT(NTA(II,2,I)))
  END IF
  CONTINUE
ELSE
  WRITE(6,149)
  DO 143 II=1,IGIOR(I)
  IF(NTA(II,2,I).EQ.0) THEN
    WRITE(6,125) II, (NTA(II,J,I), J=1,3)
  ELSE
    NSTO=NTA(II,2,I)-NTA(II,1,I)
    WRITE(6,227) II, (NTA(II,J,I), J=1,3),NSTO/
    # SQRT(FLOAT(NTA(II,2,I))), (NTA(II,2,I)-NTA(II,3,I))/
    # SQRT(FLOAT(NTA(II,2,I))),PRM(II,1,I),PRM(II,2,I),
    # PRM(II,3,I)
  END IF
  CONTINUE
END IF
IF(IR(I).EQ.1) THEN
  DO 342 II=1,IGIOR(I)
  WRITE(6,344) II,ICC(II,I)
  FORMAT(5X,I2,8X,I4)
342
344
END IF
CONTINUE
WRITE(6,161)
IG=I
DO 50 I=1,NSO
IF(NOME(I)(:5).EQ.'PLANO') THEN
  IGAL(IG)=I
  IG=IG+1
END IF
CONTINUE
IG=IG-1
IF(IG.EQ.0) GO TO 59
DO 51 J=1,6
IF(J.EQ.1.OR.J.EQ.4.OR.J.EQ.6) THEN
  J1=J/2
  IF(J.EQ.1) J1=1
  DO 52 III=1,IG
  DO 52 II2=1,IG
  II=IGAL(III)
  # -----

```

```

12=104L+11P)
IF(J1.EQ.12) THEN
  IF(ISOVF(J, J1, J2).NE.NTTA(J1, J1)) WRITE(6, 180) J, J1, J2,
  ISOVF(J, J1, J2), J1, J1, NTTA(J1, J1)
ELSE
  IF(ISOVF(J, J1, J2).GT.NTTA(J1, J1)) WRITE(6, 181) J, J1, J2,
  ISOVF(J, J1, J2), J1, J1, NTTA(J1, J1)
  IF(ISOVF(J, J1, J2).GT.NTTA(J1, J2)) WRITE(6, 181) J, J1, J2,
  ISOVF(J, J1, J2), J1, J2, NTTA(J1, J2)
  IF(ISOVF(J, J1, J2).NE.ISOVF(J, J2, J1)) WRITE(6, 183) J, J1, J2,
  ISOVF(J, J1, J2), J, J2, J1, ISOVF(J, J2, J1)
END IF
CONTINUE
ELSE
DO 53 III=1, 18
DO 53 III2=1, 18
  IF(ISOVF(J, IGAL(III), IGAL(III2)).NE.0) WRITE(6, 184) J,
  IGAL(III), IGAL(III2), ISOVF(J, IGAL(III), IGAL(III2))
CONTINUE
END IF
CONTINUE
DO 59 J=1, 6
WRITE(6, 162) (NS(I1), I1=1, NSO), TIOR(J)
DO 77 II=1, NSO
WRITE(6, 160) NS(I1), (ISOVF(J, II, I2), I2=1, NSO)
WRITE(6, 163) TIVER(J)
73 CONTINUE
WRITE(30) NSO, IGIOR
DO 74 I=1, NSO
WRITE(30) (NTTA(J, I), J=1, 3), (NTTT(J, I), J=1, 3)
WRITE(30) ((NTOT(II, J, I), J=1, 3), II=1, IGIOR(I))
WRITE(30) ((NTA(II, J, I), J=1, 3), II=1, IGIOR(I))
WRITE(30) ((PRM(II, J, I), J=1, 3), II=1, IGIOR(I))
74 CONTINUE
WRITE(30) (((ISOVF(II, I2, I3), I3=1, NSO), I2=1, NSO), II=1, 6)
STOP
!)'')
162 FORMAT(//10X, (NSOO(12, 4X), A5)/)
160 FORMAT(2X, I2, 2X, 20I6)
163 FORMAT(/1X, A5)
END
C
C *****
SUBROUTINE DIRE2(D, H, R1, R2, IF)
IMPLICIT REAL*8(A-H, O-Z)
C *****
REAL*8 LAT(3), L
DATA PI/3. 141592654D0/, LAT/-15., -20., -50. /
DATA DMAG, DMIN/10. 72, 10. 88/, AINCL/19. 17/
C=PI/180.
L=(LAT(1)+LAT(2)/60. +LAT(3)/3600. )*C
IF(IF.EQ.1) GO TO 1
Z=ACOS(SIN(L)*SIN(D)*COS(L)*COS(D)*COS(H))
IF(H.LT. 1. D-8. AND. H.GT. -1. D-8. OR. H.GT. 2. *PI-1. D-6. AND.
!H.LT. 2. *PI+1. D-6) THEN
  A=PI
  IF(D.LT. L) A=0
ELSE
  A=ACOS((-SIN(D)*COS(L)*COS(D)*SIN(L)*COS(H))/SIN(Z))
  SENA=COS(D)*SIN(H)/SIN(Z)
  IF(SENA.LT. 0) A=2*PI-A
END IF
APL=A+AINCL*C
IF(APL.GT. 2*PI) APL=APL-2*PI
R1=-DMAG*SIN(Z)*SIN(APL)/O. 3

```

```

1      R2=DMIN+PSIN(Z)*PLUS(APL)/0.1
      RETURN
      SENZ=0.3*SEORT((R1*R1)/(DNAG*DNAG)+(R2*R2)/(DNIN*DNIN))
      COSA=(0.3*R2)/(DNIN*SENZ)
      TANA=-(DMIN*R1)/(DNAG*R2)
      IF(COSA.GT.0.0.AND.TANA.GT.0) A=ACOS(COSA)
      IF(COSA.LT.0.0.AND.TANA.LT.0) A=ACOS(COSA)
      IF(COSA.GT.0.0.AND.TANA.LT.0) A=2*PI-ACOS(COSA)
      IF(COSA.LT.0.0.AND.TANA.GT.0) A=2*PI-ACOS(COSA)
      Z=ASIN(SENZ)
      A=A-AINC1+C
      D=ASIN(SIN(L)*COS(Z)-COS(L)*SIN(Z)*COS(A))
      H=ACOS((COS(Z)*COS(L)+SIN(Z)*SIN(L)*COS(A))/COS(D))
      SENH=SIN(Z)*SIN(A)/COS(D)
      IF(SENH.LT.0) H=2*PI-H
      RETURN
      END

```

```

C
C
C

SUBROUTINE DADD(IDAT,AMS,IDATN,AMSN,DNCR)
REAL*8 AMS,AMSN,DNCR
INTEGER*2 IDAT(6),IDATN(6),IMES(12),IMESS(12)
INTEGER*4 ISEC,IMI,IOR
DATA IMESS/31,28,31,30,31,30,31,31,30,31,30,31/
DO I=1,12
    IMES(I)=IMESS(I)
END DO
IF(IDAT(3).EQ.INT(IDAT(3)/4)*4) IMES(2)=29
AMSN=AMS+(DNCR-INT(DNCR))*1000.
ISEC=IDAT(6)+INT(AMSN/1000.0)+INT(DNCR)
AMSN=AMSN-INT(AMSN/1000.0)*1000.
IMI=IDAT(5)+INT(ISEC/60)
IDATN(6)=ISEC-INT(ISEC/60)*60
IOR=IDAT(4)+INT(IMI/60)
IDATN(5)=IMI-INT(IMI/60)*60
IDATN(1)=IDAT(1)+INT(IOR/24)
IDATN(4)=IOR-INT(IOR/24)*24
IF(IDATN(1).GT.IMES(IDAT(2))) THEN
    IDATN(1)=IDATN(1)-IMES(IDAT(2))
    IDATN(2)=IDAT(2)+1
    IF(IDATN(2).GT.12) THEN
        IDATN(2)=IDATN(2)-12
        IDATN(3)=IDAT(3)+1
    ELSE
        IDATN(3)=IDAT(3)
    END IF
ELSE
    IDATN(2)=IDAT(2)
    IDATN(3)=IDAT(3)
END IF
RETURN
END

```